

### 3. Techniken der Leistungsanalyse

Modelle zur Leistungsanalyse sind Warteschlangennetze, diese bestehen zum einen aus Ressourcen

- Ressourcen umfassen einen oder mehrere identische Bediener und einen Warteraum
- Ressourcen werden auch als Stationen bezeichnet
- unterschiedliche Typen von Stationen existieren

und im System zirkulierenden Aufträge,

- die Bedienung an Stationen verlangen (und dabei evtl. auf die Verfügbarkeit der des/eines Bedieners warten müssen),
- deren Bedienwünsche i.d.R. als Zufallsvariablen spezifiziert werden, von denen meist nur der Erwartungswert zur Analyse verwendet wird,
- deren Besuchsanzahl an einer Station ebenfalls durch eine Zufallsvariable beschrieben wird, von der i.d.R. nur der Erwartungswert betrachtet wird,
- die auch als Kunden, Jobs etc. bezeichnet werden,
- die von unterschiedlichem Typ sein können.

Bisherige Betrachtung von Warteschlangennetzen unter operationalen Regeln

- Annahmen über das “typisches” Systemverhalten in endlichen Intervallen
- Herleitung von Leistungsgrößen auf Basis einfacher Gesetze
- Resultate gelten für endliche Intervalle und können z.T. auf unendliche Intervalle übertragen werden

Vorteil der operationalen Sichtweise:

Einfache Herleitung und Beweise für viele Resultate

Andere Sichtweise: stochastische Analyse

- Ankunfts- und Bedienzeiten unterliegen stochastischen Einflüssen und sind beschrieben durch Zufallsvariablen (ZVs) mit gegebener Verteilungsfunktion
- Wege durch ein Netz sind durch Verzweigungswahrscheinlichkeiten definiert
- Stochastische Analyse untersucht System über unendlichen Zeithorizont (Flussgleichgewicht wird zu stationärem Gleichgewicht)

Unterschiedliche Betrachtung:

- Operationale Analyse macht Aussagen über einen typischen Ablauf
- Stochastische Analyse macht Aussagen über alle möglichen Abläufe

Trotzdem existieren Analogien und Ergebnisse der operationalen Analyse gelten teilweise auch für stochastische Systeme!

Aber Vorsicht: Eine Übertragung der Ergebnisse für beliebige Systeme führt zu falschen Ergebnissen!!

Regeln der operationalen Analyse gelten oft für stochastische Systeme mit exponentiellen Ankunfts- und Bedienzeiten und liefern einfache Herleitungen für Ergebnisse über diese Systeme

Im Rahmen dieses Kapitels betrachten wir

3.1 Einfache Wartesysteme

3.2 Offene Warteschlangennetze

3.3 Geschlossene Warteschlangennetze

3.4 Stochastische Interpretation

3.5 Anwendungsbeispiele

3.6 Modellierung mit Markov-Prozessen

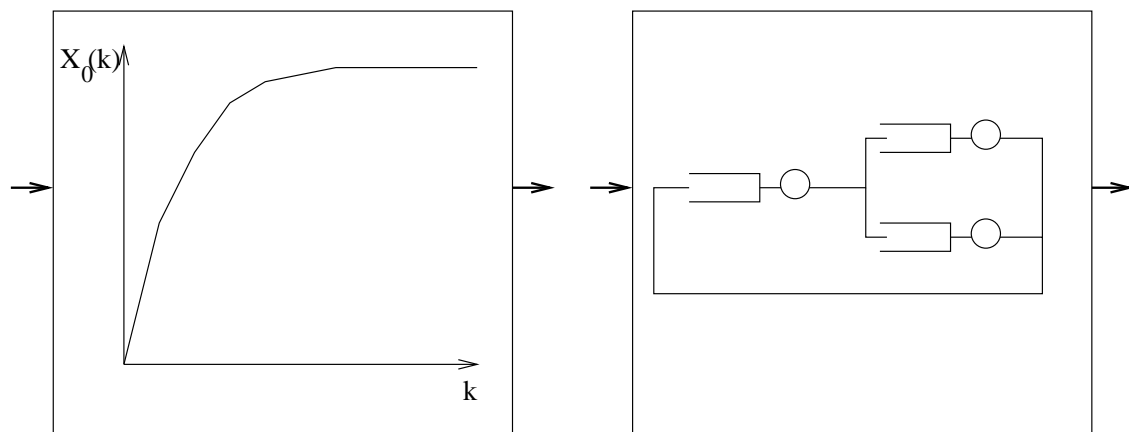
3.7 Zuverlässigkeit und Verfügbarkeit

3.8 Erweiterte Analysetechniken

## 3.1 Einfache Wartesysteme

Systeme können als sogenannte “black box” oder “white box” Modelle analysiert werden

Die “black box” Sichtweise betrachtet nur das Ein-/Ausgangsverhalten und nicht die interne Struktur



Charakterisierung des Ein-/Ausgangsverhalten durch:

- Auftragszahl  $k$  im System
- Durchsatz  $X_0(k)$  bei  $k$  Aufträgen im System

Unsere “black box” Modelle korrespondieren zu

Zustands-/Transitionssystemen,

die einfache Wartesysteme beschreiben

Bis Kap. 3.1.5 Annahme exponentieller Zeiten d.h.

Gesetze der operationalen Analyse gelten  
auch im stochastischen Fall

**Einschub:**

## Exponentialverteilung und Poisson-Prozess

Kontinuierlichen ZV  $X$  unterliegt Exponentialverteilung mit Parameter  $\lambda$ :

Dichtefunktion:  $f(x) = \lambda \cdot e^{-\lambda x}$

Verteilungsfunktion:  $F(x) = P(X < x) = 1 - e^{-\lambda x}$

Erwartungswert:  $1/\lambda$  Varianz:  $1/\lambda^2$

Gedächtnislosigkeitseigenschaft

$$\begin{aligned} P(X < x + y | X > y) &= \frac{P(y < X < y + x)}{P(X > y)} \\ &= \frac{P(X < x + y) - P(X < y)}{P(X > y)} \\ &= \frac{(1 - e^{-\lambda(x+y)}) - (1 - e^{-\lambda y})}{e^{-\lambda y}} \\ &= 1 - e^{-\lambda x} \end{aligned}$$

einzigste kontinuierliche Verteilung mit dieser Eigenschaft

Poisson Prozess ist ein diskreter stochastischer Prozess  $N(t)$  mit Parameter  $a$ :

$$P(N(t) = k) = \frac{e^{-at} \cdot (at)^k}{k!}$$

Es gilt:

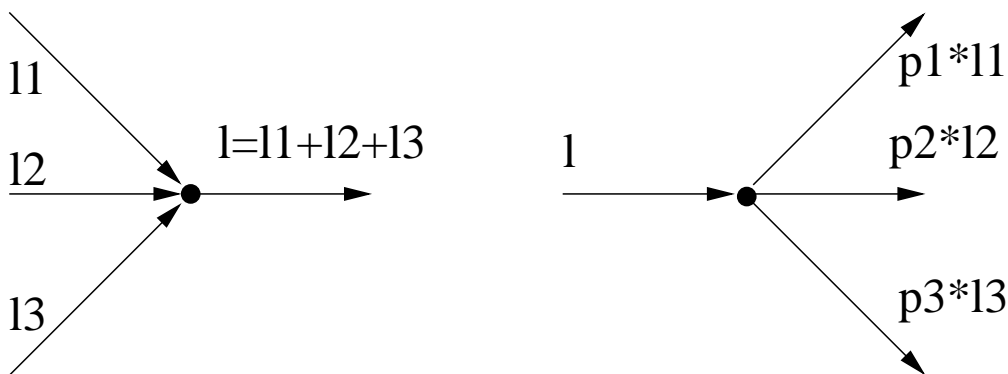
$$P(N(s + t) - N(s) = k) = P(N(t) = k)$$

für alle  $k \geq 0$  und  $s, t \geq 0$

$$E(N(t)) = a \cdot t$$

- Falls  $N(t)$  ein Poisson-Prozess mit Parameter  $a$  ist, so sind die Zeiten zwischen zwei Ereignissen exponentiell verteilt mit Parameter  $\lambda = a^{-1}$
- Falls  $X$  eine exponentiell verteilte ZV mit Parameter  $\lambda$  ist, so beschreibt die Anzahl der Ereignisse im Intervall  $(0, T]$  einen Poisson Prozess  $N(t)$  mit Parameter  $a = \lambda^{-1}$

Einige weitere Eigenschaften von  
Exponentialverteilungen/Poisson-Prozessen:



Es gelte  $p_1 + p_2 + p_3 = 1$

Zusammenfassung oder zufällige Ausdünnung von  
Exponentialverteilungen/Poisson-Prozessen liefert  
Exponentialverteilungen/Poisson-Prozesse mit entsprechend  
geänderten Parametern

Sei  $N(t)$  ein Poisson-Prozess und  $X(t)$  ein beliebiger aber stationärer stochastischer Prozess

$N(t)$  und  $X(t)$  seien unabhängig

Es werde folgendes Experiment im Intervall  $(0, T]$  durchgeführt:

Jedesmal, wenn ein Ereignis des Poisson-Prozesses eintritt, wird der Zustand des Prozesses  $X(t)$  protokolliert

Sei  $n$  die Anzahl der Ereignisse und  $x_i$  der  $i$ te protokollierte Zustand

Es gilt dann für alle  $y$ :

Falls  $X(t)$  ein Zustandsdiskreter Prozess ist:

$$\lim_{T \rightarrow \infty} \frac{\sum_{i=1}^n \delta(x_i = y)}{n} = \frac{1}{T} \int_0^T P(X(t) = y) dt$$

Falls  $X(t)$  ein Zustandskontinuierlicher Prozess ist:

$$\lim_{T \rightarrow \infty} \frac{\sum_{i=1}^n \delta(x_i \in (y, y + \Delta])}{n} = \frac{1}{T} \int_0^T P(X(t) \in (y, y + \Delta]) dt$$

für beliebiges  $\Delta > 0$

⇒ Poisson-Prozess beschreibt einen zufälligen Beobachter  
(Random-Observer)

### 3.1.1 Das verkleidete M/M/1 System

DB-Server, auf den von vielen Benutzer zugegriffen wird

Annahme: Ankunftsrate der Anfragen ist unabhängig von der Zahl wartender Anfragen (*infinite population case*)

Anfragen

- treffen mit Rate  $\lambda$  ein
- sind von identischer Struktur
- können in beliebiger Zahl am Server warten

Durchsatz sei lastunabhängig, es gelte  $X_0(k) = \mu$  ( $k > 0$ )

(unter stochastischen Annahmen beschreibt dies das M/M/1 System)

Ziel der Berechnung

- Wahrscheinlichkeit  $k$  Aufträge am Server  $p_k$
- mittlere Anzahl Aufträge  $N$
- mittlere Antwortzeit  $R$
- mittlere Auslastung  $U$
- mittlerer Durchsatz  $X$



Erste Entscheidung: Zustandsbeschreibung festlegen

Hier: Ein Parameter, Anzahl Aufträge

Zustandsbeschreibung impliziert Annahmen:

Zukünftige Entwicklung hängt vom aktuellen Zustand ab!

Also hier Gedächtnislosigkeit des Prozesses bzgl.

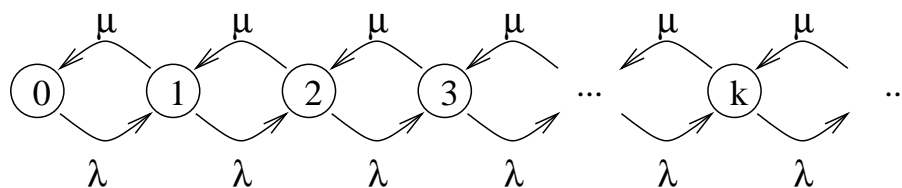
- Verweilzeit im Zustand
- Weg zum Zustand

Mögliche Zustandsübergänge

▷ von  $i$  nach  $i + 1$  mit Rate  $\lambda$

▷ von  $i$  nach  $i - 1$  mit Rate  $\mu$  falls  $i > 0$

Zustandsübergangsdiagramm



Erster Schritt: Berechnung der  $p_k$

daraus können andere Leistungsgrößen gewonnen werden

Zentrale Annahme: Flussgleichgewicht

Fluss herein = Fluss heraus (für jeden Zustand)

Dies gilt für beliebige Zustandsmengen!

Fluss aus einem Zustand =

Wahrscheinlichkeit im Zustand zu sein  $\star$

Summe der abgehende Raten

Für Zustandsmengen,

die jeweils die ersten  $k$  ( $k = 0, 1, 2, \dots$ )

Zustände umfassen,

ergeben sich folgende Flussgleichgewichte

$$\mu \cdot p_1 = \lambda \cdot p_0$$

$$\mu \cdot p_2 = \lambda \cdot p_1$$

...

$$\mu \cdot p_k = \lambda \cdot p_{k-1}$$

...

Dies liefert

$$p_k = \frac{\lambda}{\mu} \cdot p_{k-1} = \frac{\lambda}{\mu} \cdot \left( \frac{\lambda}{\mu} \cdot p_{k-2} \right) = \left( \frac{\lambda}{\mu} \right)^k \cdot p_0$$

Berechnung von  $p_k$  als Funktion von  $p_0$

Berechnung  $p_0$ :

$p_k$  sind Wahrscheinlichkeiten  $\Rightarrow$

$$\sum_{k=0}^{\infty} p_k = 1 \text{ und damit}$$

$$\sum_{k=0}^{\infty} p_k = p_0 \cdot \sum_{k=0}^{\infty} \left(\frac{\lambda}{\mu}\right)^k = 1$$

mit der Lösung

$$p_0 = \left[ \sum_{k=0}^{\infty} \left(\frac{\lambda}{\mu}\right)^k \right]^{-1} = 1 - \frac{\lambda}{\mu}$$

Beachte: die letzte Gleichheit gilt nur wenn  $\lambda < \mu$  !!

Für die Auslastung gilt

$$U = 1 - p_0 = \lambda/\mu \text{ und damit auch}$$

$$p_k = (1 - U) \cdot U^k$$

Für die mittlere Population gilt

$$N = \sum_{k=0}^{\infty} k \cdot p_k = (1 - U) \cdot \sum_{k=0}^{\infty} k \cdot U^k$$

Für  $U < 1$  gilt

$$\sum_{k=0}^{\infty} k \cdot U^k = U \frac{d}{dU} \sum_{k=0}^{\infty} U^k = U \frac{d}{dU} \frac{1}{1-U} = \frac{U}{(1-U)^2}$$

$$\text{und damit } N = U/(1 - U)$$

Für den Durchsatz gilt (wie erwartet)

$$X = U \cdot \mu = (\lambda/\mu) \cdot \mu = \lambda$$

(auch hier mit der Annahme  $U < 1$ )

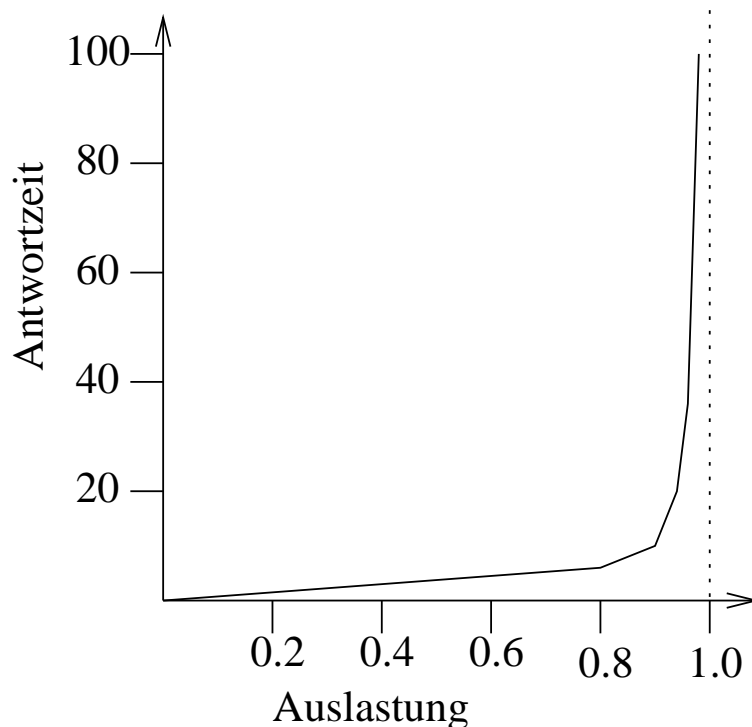
Antwortzeit lässt sich über den Satz von Little ermitteln

$$R = N/X = (U/\lambda)/(1 - U) = S/(1 - U) = \frac{1}{\mu - \lambda}$$

mit  $S = 1/\mu$

Interpretation des Verhaltens:

- Falls die Auslastung klein ist, ist die Antwortzeit gleich der Bedienzeit
- Wenn die Auslastung groß ist (nahe bei 1) geht die Antwortzeit gegen unendlich



## Schritte zur Problemanalyse

1. Zustandsdarstellung bestimmen
2. Zustandsraum aufbauen
3. Transitionen aus Ereignissen im System ableiten
4. Transitionsraten bestimmen
5. Flussgleichgewicht aufstellen
6. Wahrscheinlichkeiten  $p_k$  berechnen

Diese Schritte werden auch für  
allgemeinere Systeme angewendet!

⇒ stationäre Analyse von Markov Prozessen

Hier Spezialfall Geburts-/Todesprozess!!

Allgemeines Vorgehen:

Lösung eines linearen Gleichungssystems  
(etwas mehr dazu in 3.6)

## 3.1.2 Ein Modell mit endlicher Pufferkapazität

Im Unterschied zum vorherigen Fall nun

beschränkte Kapazität des Servers

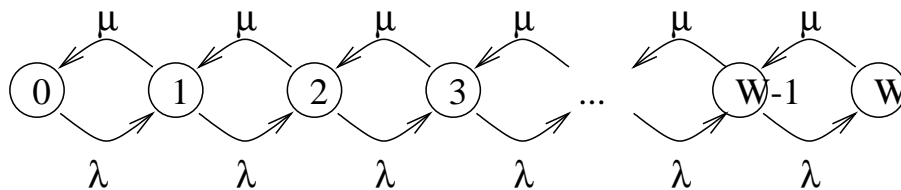
Server speichert maximal  $W$  Aufträge,

weitere Aufträge werden abgewiesen

Zustandsbeschreibung wie vorher

Aber endliche Zustandszahl  $W + 1$

Zustandsübergangsdiagramm



Es gilt (Herleitung wie vorher)

$$p_k = \left(\frac{\lambda}{\mu}\right)^k \cdot p_0 \text{ für } k = 1, \dots, W \text{ und}$$

$$p_0 \cdot \sum_{k=0}^W \left(\frac{\lambda}{\mu}\right)^k = p_0 \cdot \left( \sum_{k=0}^{\infty} \left(\frac{\lambda}{\mu}\right)^k - \left(\frac{\lambda}{\mu}\right)^{W+1} \sum_{k=0}^{\infty} \left(\frac{\lambda}{\mu}\right)^k \right) =$$

$$p_0 \cdot \left[ \frac{1 - (\lambda/\mu)^{W+1}}{1 - \lambda/\mu} \right] = 1$$

$$\text{mit der Lösung } p_0 = \left[ \frac{1 - \lambda/\mu}{1 - (\lambda/\mu)^{W+1}} \right]$$

Berechnung der Leistungsgrößen

$$U = 1 - p_0 = \frac{(\lambda/\mu) \cdot [1 - (\lambda/\mu)^W]}{1 - (\lambda/\mu)^{W+1}}$$

Interessant ist auch die Anzahl der abgewiesenen Aufträge

Diese entspricht (unter exp. Ankünften!)

$$p_{loss} = p_W$$

Für die mittlere Population gilt

$$N = \sum_{k=0}^W k \cdot p_k = p_0 \cdot \sum_{k=0}^W k \cdot (\lambda/\mu)^k$$

unter Benutzung der Beziehung

$$\sum_{k=0}^W k \cdot a^k = \frac{W \cdot a^{W+2} - (W+1) \cdot a^{W+1} + a}{(1-a)^2}$$

gilt dann

$$N = \frac{(\lambda/\mu) [W(\lambda/\mu)^{W+1} - (W+1)(\lambda/\mu)^W + 1]}{[1 - (\lambda/\mu)^{W+1}](1 - \lambda/\mu)} \text{ für } \lambda < \mu$$

und für den Durchsatz

$$X = U \cdot \mu = \frac{\lambda [1 - (\lambda/\mu)^W]}{1 - (\lambda/\mu)^{W+1}}$$

mittels des Satzes von Little  $R = N/X$

### 3.1.3 Lastabhängigkeit in Ankunft und Bedienung

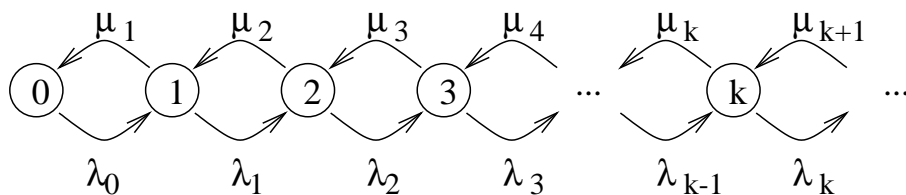
Bisherige Voraussetzung:

konstante Ankunftsrate und Bedienrate

Hier nun verallgemeinerte Sicht

- Ankunftsrate bei  $k$  Aufträgen im System  $\lambda_k$
- Bedienrate bei  $k$  Aufträgen im System  $\mu_k$

Zustandsübergangsdigramm



und in ähnlicher Form für endliche Kapazität  $W$

Auf Basis des Flussgleichgewichts gilt

$$\lambda_{k-1} \cdot p_{k-1} = \mu_k \cdot p_k$$

und damit auch

$$p_k = p_0 \cdot \prod_{i=0}^{k-1} \frac{\lambda_i}{\mu_{i+1}}$$

Berechnung von  $p_0$

$$p_0 = \left[ \sum_{k=0}^{\infty} \prod_{i=0}^{k-1} \frac{\lambda_i}{\mu_{i+1}} \right]^{-1}$$



## Berechnung der Leistungsgrößen

Auslastung

$$U = 1 - p_0$$

Durchsatz

$$X = \sum_{k=1}^{\infty} \mu_k \cdot p_k$$

Population

$$N = \sum_{k=1}^{\infty} k \cdot p_k$$

Antwortzeit

$$R = \frac{N}{X} = \frac{\sum_{k=1}^{\infty} k \cdot p_k}{\sum_{k=1}^{\infty} \mu_k \cdot p_k}$$

Analyse funktioniert falls  $p_0$  berechenbar

(damit muss nicht unbedingt  $\lambda_k < \mu_k$   
für alle  $k$  gelten!)

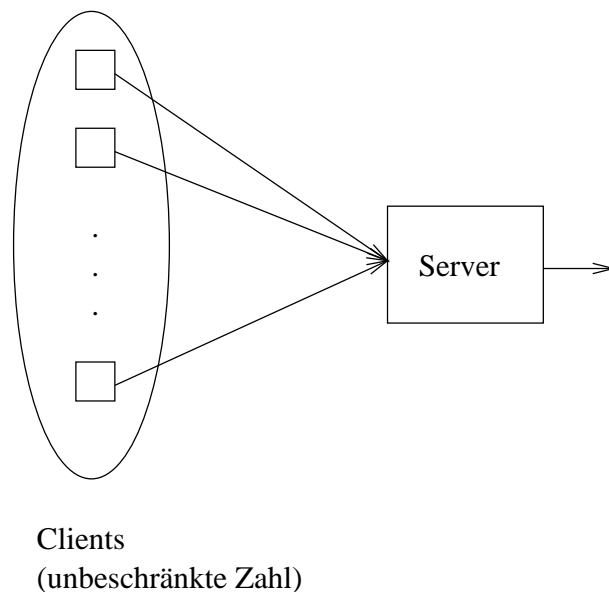
Analyse dieses allgemeinen Systems ist Basis  
für Analyse vieler spezieller Modelle

## 3.1.4 Weitere M/M/.. Systeme

Modelle des vorherigen Abschnitts als spezielle Modelle interpretierbar

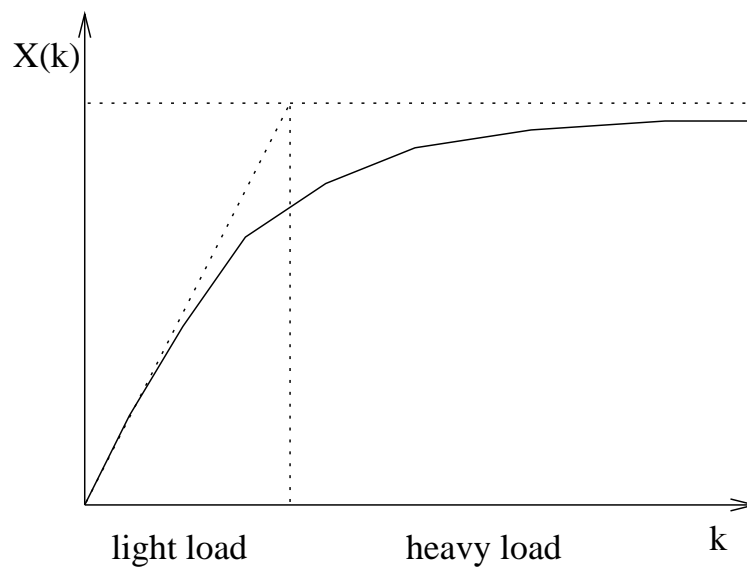
- Population im System endlich oder unendlich
- Bedienrate konstant oder lastabhängig
- Kapazität unbeschränkt oder beschränkt

Im WWW Umfeld im allgemeinen Systeme mit unbeschränkter Population



d.h. Ankunftsrate ist konstant und unabhängig von der Population  
damit ist  $\lambda_k = \lambda$  und  $\mu_k = X(k)$

## Typischer Verlauf von $X(k)$



Die legt folgende Beschreibung nahe

$$\mu_k = \begin{cases} X(k) & k \leq J \\ X(J) & k \geq J \end{cases}$$

Notationen

$$\beta(k) = \prod_{i=1}^k X(i) \text{ und } \rho = \lambda/X(J) < 1$$

Dann gilt

$$p_0 = \left[ 1 + \sum_{k=1}^J \frac{\lambda^k}{\beta(k)} + \frac{\lambda^J}{\beta(J)} \frac{\rho}{1-\rho} \right]^{-1}$$

$$p_k = \begin{cases} p_0 \lambda^k / \beta(k) & k \leq J \\ p_0 X(J)^J \rho^k / \beta(J) & k > J \end{cases}$$

Herleitung der Population:

$$\begin{aligned}
 N &= p_0 \cdot \sum_{k=1}^J \frac{k \cdot \lambda^k}{\beta(k)} + \sum_{k=J+1}^{\infty} \frac{\lambda^J}{\beta(J)} \cdot k \cdot \rho^{k-J} \\
 &= p_0 \cdot \sum_{k=1}^J \frac{k \cdot \lambda^k}{\beta(k)} + \frac{\lambda^J}{\beta(J)} \cdot \sum_{k=J+1}^{\infty} k \cdot \rho^{k-J} \\
 &= p_0 \cdot \sum_{k=1}^J \frac{k \cdot \lambda^k}{\beta(k)} + \frac{\lambda^J}{\beta(J)} \cdot \sum_{l=1}^{\infty} (J+l) \cdot \rho^l \\
 &= p_0 \cdot \sum_{k=1}^J \frac{k \cdot \lambda^k}{\beta(k)} + \frac{\lambda^J}{\beta(J)} \cdot \left( J \cdot \sum_{l=1}^{\infty} \rho^l + \sum_{l=1}^{\infty} l \cdot \rho^l \right) \\
 &= p_0 \cdot \sum_{k=1}^J \frac{k \cdot \lambda^k}{\beta(k)} + \frac{\lambda^J}{\beta(J)} \cdot \left( \frac{J \cdot \rho}{1-\rho} + \frac{\rho}{(1-\rho)^2} \right) \\
 &= p_0 \cdot \sum_{k=1}^J \frac{k \cdot \lambda^k}{\beta(k)} + \frac{\lambda^J}{\beta(J)} \cdot \left( \frac{J \cdot \rho \cdot (1-\rho) + \rho}{(1-\rho)^2} \right) \\
 &= p_0 \cdot \sum_{k=1}^J \frac{k \cdot \lambda^k}{\beta(k)} + \frac{\lambda^J \cdot \rho \cdot (J \cdot (1-\rho) + 1)}{\beta(J) \cdot (1-\rho)^2}
 \end{aligned}$$

Da für den Durchsatz  $X = \lambda$  gilt

(unbeschränkte Kapazität!)

ist auch die Verweilzeit/Antwortzeit (über Little)

in geschlossener Form gegeben

$$R = p_0 \cdot \sum_{k=1}^J \frac{k \cdot \lambda^{k-1}}{\beta(k)} + \frac{\lambda^{J-1} \cdot \rho \cdot (J \cdot (1 - \rho) + 1)}{\beta(J) \cdot (1 - \rho)^2}$$

Diese Modell umfasst das M/M/m System!

### System mit beschränktem Warteraum

Es gilt

$$\mu_k = \begin{cases} X(k) & k \leq J \\ X(J) & k = J + 1, \dots, W \end{cases}$$

und damit auch

$$p_0 = \left[ 1 + \sum_{k=1}^J \frac{\lambda^k}{\beta(k)} + \frac{\rho \lambda^J (1 - \rho^{W-J})}{\beta(J)(1 - \rho)} \right]^{-1}$$

$$p_k = \begin{cases} p_0 \lambda^k / \beta(k) & k \leq J \\ p_0 X(J)^J \rho^k / \beta(J) & k = J + 1, \dots, W \end{cases}$$

## System mit endlicher Population

Bisher untersucht offene Modelle

(potentiell unendliche Population)

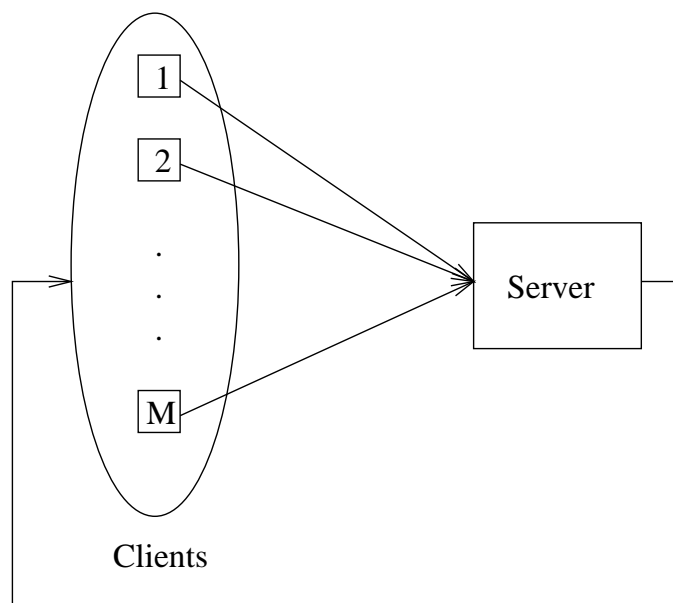
Natürliche Sichtweise für WWW Anwendungen

In Intranets ist die Population beschränkt,

d.h. Ankunftsrate fällt mit der Population am Server

(jeder Benutzer arbeitet lokal oder wartet auf Antwort)

⇒ geschlossenes Modell



Feste Anzahl von Aufträgen:

Jeder Auftrag

- befindet sich am Client (lokales arbeiten) oder
- befindet sich am Server (Anfrage wird bearbeitet)

## Annahmen:

- Population  $M$  im Modell
- Benutzer hat durchschnittliche Denkzeit  $Z$ ,  
die bis zum Abschicken der nächsten Anfrage vergeht  
(d.h. mit Rate  $1/Z$  sendet jeder (!) Client  
seine Anfrage zum Server)

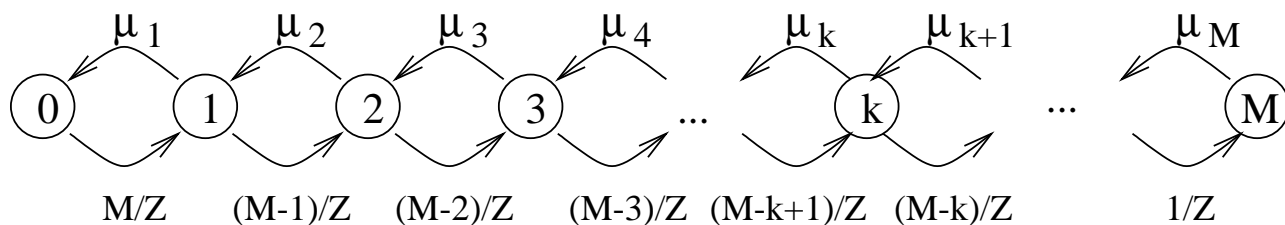
Zustandsbeschreibung:

Anzahl Anfragen am Server  $(0, \dots, M)$

Im Zustand  $k$  sind  $k$  Anfragen beim Server in Bearbeitung und  
 $M - k$  Clients "denken" über eine neue Anfrage nach

$$\Rightarrow \lambda_k = (M - k)/Z$$

Zustandsübergangsdiagramm



## Lastunabhängige Bedienraten

Nach den allgemeinen Formeln gilt dann

$$p_k = p_0 \cdot \prod_{i=0}^{k-1} \frac{M-i}{\mu \cdot Z} = p_0 \cdot \frac{M!}{(M-k)! \cdot (\mu \cdot Z)^k}$$

mit

$$p_0 = \left[ \sum_{k=0}^M \frac{M!}{(M-k)! \cdot (\mu \cdot Z)^k} \right]^{-1}$$

Bemerkung zur Berechnung:

Für große  $M$  ist  $M!$  nicht direkt berechenbar,

deshalb sollte die Form

$$p_k = p_0 \cdot \frac{M}{\mu Z} \cdot \frac{M-1}{\mu Z} \cdot \dots \cdot \frac{M-(k-1)}{\mu Z}$$

zur Berechnung verwendet werden

(entsprechend zur Berechnung von  $p_0$ )

$$p_0 = \left( 1 + \sum_{k=1}^M \left( \prod_{l=0}^{k-1} \frac{M-l}{\mu Z} \right) \right)^{-1}$$

Beispiel: Lastabhängige Bedienraten

Bedienrate

$$\mu_k = \begin{cases} X(k) & k = 1, \dots, J \\ X(J) & k > J \end{cases}$$

Berechnung von  $p_k$ :

$$p_k = \begin{cases} p_0 \cdot \frac{M!}{(M-k)! Z^k \beta(k)} & k = 1, \dots, J \\ p_0 \cdot \frac{M! X(J)^J}{(M-k)! [Z \cdot X(J)]^k \beta(J)} & k > J \end{cases}$$

mit

$$p_0 = \left[ 1 + \sum_{k=1}^J \frac{M!}{(M-k)! Z^k \beta(k)} + \frac{X(J)^J}{\beta(J)} \cdot \sum_{k=J+1}^M \frac{M!}{(M-k)! [Z \cdot X(J)]^k} \right]^{-1}$$

$$X = \sum_{k=1}^M X(k) \cdot p_k \quad \text{und} \quad N = \sum_{k=1}^M k \cdot p_k$$



## 3.1.5 Nicht-Markovsche Bedienzeiten

Inwieweit gelten die bisherigen Annahmen  
für allgemeine Systeme?

Implizite Annahmen bei allen Analysen:

1. Ankommender Auftrag, der  $k - 1$  ( $k > 1$ ) Aufträge antrifft, muss durchschnittlich  $1/\mu_k$  Zeiteinheiten bis zur Beendigung der aktuellen Bedienung warten!
2. Ankommender Auftrag trifft mit Wahrscheinlichkeit  $p_k$   $k$  Aufträge an!

Annahmen gelten für

exponentiell verteilte Ankunfts-/Bedienzeiten

Aber leider nicht für andere Verteilungen

Beispiel D/D/1:

- Deterministische Ankunftszeitabstände mit Zwischenankunftszeit  $a$
- Deterministische Bedienzeiten mit Bedienzeit  $b$

Sei  $a > b$  (damit Flussgleichgewicht gilt!)

dann wird ein ankommender Auftrag immer(!)  
ein leeres System antreffen

Gleichzeitig ist aber

$$p_0 = 1 - b/a, p_1 = b/a \text{ und } p_k = 0 \text{ für } k > 1$$

Also: Vorsicht bei der Übertragung operationaler Zusammenhänge auf stochastische Systeme!

Allgemein gilt Littles Gesetz

(falls Flussgleichgewicht gegeben)

Bedingung 2. gilt, falls Zwischenankunftszeiten negativ-exponentiell verteilt sind (PASTA-Eigenschaft)

(PASTA = Poisson Arrivals See Time Averages durch "Random-Observer"-Eigenschaft des Poisson-Prozesses)

Wir betrachten im folgenden diesen Fall

- Negativ exponentiell verteilte Zwischenankunftszeiten mit Rate  $\lambda$
- Allgemein verteilte Bedienzeiten mit Mittelwert  $S$  und Standardabweichung  $\sigma$

Annahme  $1/\lambda > S$  (Flussgleichgewicht)

Für die Auslastung gilt  $U = \lambda \cdot S$

PASTA-Eigenschaft sagt aus, dass ankommender Auftrag mit Wahrscheinlichkeit  $p_k$   $k$ -Aufträge vor sich sieht

$p_k$  ist unbekannt: Kann man trotzdem etwas berechnen?

Wie groß ist die mittlere Wartezeit eines Auftrags,  
der  $k (> 0)$  Aufträge antrifft

- Restbedienzeit des Auftrags in Bedienung
- $(k - 1) \cdot S$  für die Aufträge in der Warteschlange

Also Ermittlung der Restbedienzeit

Im exponentiellen Fall:

Restbedienzeit  $S_{res}$  gleich  $S$  (Gedächtnislosigkeit)!

Allgemein kann es sein, dass die Restbedienzeit  
kleiner oder größer als die mittlere Bedienzeit ist

Wir führen dazu Faktor  $\kappa$  ein, um den die Bedienzeit  
verlängert/verkürzt wird

$$S_{res} = (1 - \kappa) \cdot S$$

Damit gilt für die Verweilzeit

$$R = S + S \cdot N - U \cdot \kappa \cdot S$$

es gilt nach Little  $N = R \cdot X$  und damit

$$R = S + S \cdot R \cdot X - U \cdot \kappa \cdot S$$

da  $U = S \cdot X$  gilt auch

$$R \cdot (1 - U) = S \cdot (1 - U \cdot \kappa) \Rightarrow R = S \cdot \frac{1 - U \cdot \kappa}{1 - U}$$

Bleibt die Ermittlung von  $\kappa$

PASTA Eigenschaft sagt aus, dass ankommender Auftrag zu einem zufälligen Zeit während der Bedienung ankommt

Einige Spezialfälle:

- Exponentielle Bedienzeiten  $\kappa = 0$  und damit

$$S_{res} = S$$

- Konstante Bedienzeiten  $\kappa = 0.5$  und damit

$$S_{res} = 0.5 \cdot S$$

Allgemein kann man  $\kappa$  mit Hilfe von  $S$  und  $\sigma$  ausdrücken

Quadrierter Variationskoeffizient:  $VK^2 = \left(\frac{\sigma}{S}\right)^2$

Es gilt dann  $\kappa = 0.5 \cdot (1 - VK^2)$

oder direkt eingesetzt

$$R = S + \frac{U \cdot S \cdot (1 + VK^2)}{2 \cdot (1 - U)}$$

die berühmte Pollaczek-Khinchine Formel für die

Verweilzeit in M/G/1 Systemen

Da  $X = \lambda$  können wir  $N$  direkt über Little berechnen

Analyse allgemeiner G/M/1 oder G/G/1 System

ist deutlich komplexer!

(und betrachten wir in eingeschränkter Form in 3.6)

## 3.2 Offene Warteschlangennetze

Bisherige Sichtweise "black box"

System charakterisiert als Durchsatzfunktion  $X(k)$  und dargestellt als einzelne Station

in unterschiedlichen Ausprägungen

Bei detaillierter Betrachtung der Systeme besteht ein System aus unterschiedlichen Komponenten, die jeweils als einzelne Stationen beschrieben werden

⇒ Warteschlangennetze

Grundidee: Aufträge durchlaufen Bedienstationen

- hier vorgestellt spezielle Klasse von Netzen (separable- oder Produktformnetze) mit effizienten Analysemöglichkeiten
- erst einmal offene Netze, d.h. Umgebung produziert Aufträge

Eingabegrößen

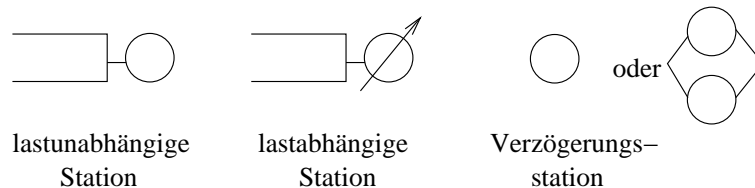
- Maschinenmodell: Stationen
- Lastmodell: Ankunftsrate(n), Bedienanforderungen

Ausgabegrößen:

- Antwortzeiten, Durchsätze als Mittelwerte
- Anzahl Aufträge an einer Station oder im Netz als Mittelwerte (evtl. auch als Verteilungen)

## Nutzen der Modelle

- offene Netze geben die Sicht eines Web-Servers im Internet wieder
- Anfragen nach Webseiten, Transaktionen, ... sind Bedienanforderungen von Aufträge
- Web-Server, Anwendungs-Server, ... sind Stationen
- bei vielen Anfragen entstehen Wartezeiten an einem Server, Antwortzeiten werden länger
- mit offenen Netzen lassen sich Systeme modellieren, bei denen der Flaschenhals nicht vorab feststeht (je nach Last "wandert" der Flaschenhals)



## Man unterscheidet folgende Stationstypen

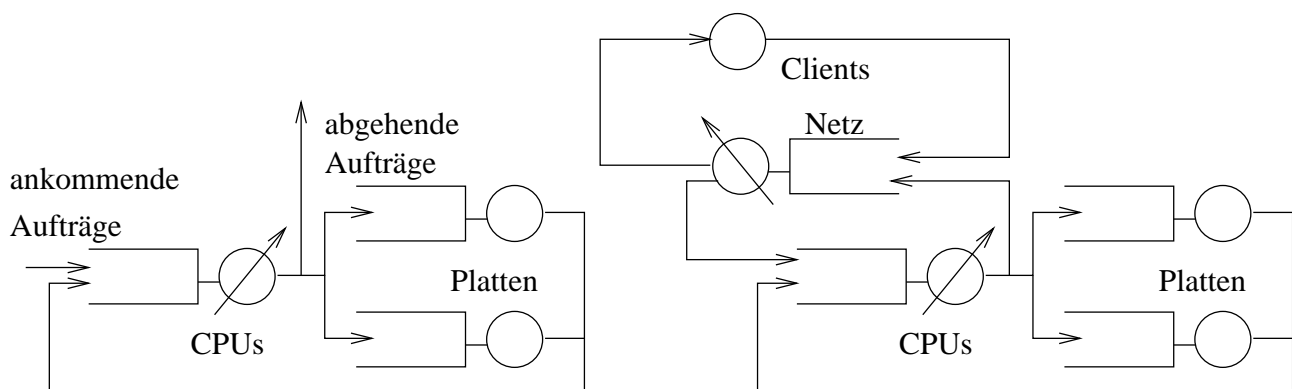
- lastunabhängige Stationen mit konstanter Bedienzeit  $S(n) = S$  und einem Bediener
- lastabhängige Stationen mit lastabhängiger Bedienzeit  $S(n)$  (umfasst Stationen mit mehr als einem Bediener)
- Verzögerungsstationen mit lastunabhängiger Bedienzeit  $S(n) = S$  und einem Bediener pro Auftrag (keine Wartezeiten)

# Typen von Warteschlangennetzen

Unterscheidung in

- Einklassennetze  
(alle Aufträge sind (stochastisch) identisch)
- Mehrklassennetze  
(Aufträge gehören zu Klassen, die Klassenzugehörigkeit beschreibt das (stochastische) Verhalten)
- Offene Netze  
(Aufträge betreten und verlassen das Netz)
- Geschlossene Netze  
(im Netz zirkuliert eine feste Auftragspopulation)
- Gemischte Netze  
(einzelne Klassen sind geschlossen, andere offen)

Beispiele:



## 3.2.1 Einklassennetze

Wir betrachten offene Netze mit einer Auftragsklasse und Stationen vom Typ

- lastunabhängige Station oder
- Verzögerungsstation

### Notationen

Eingabeparameter:

- $\lambda$  Ankunftsrate
- $K$  Anzahl Stationen
- $X_0$  Netzdurchsatz, da Flussgleichgewicht gilt  $X_0 = \lambda$
- $V_i$  mittlere Anzahl von Besuchen an Station  $i$
- $S_i$  mittlere Bedienzeit an Station  $i$

Resultatwerte:

- $W_i$  mittlere Wartezeit pro Besuch an Station  $i$
- $U_i$  Auslastung Station  $i$
- $R_i = S_i + W_i$  mittlere Verweilzeit pro Besuch an  $i$
- $R'_i = V_i \cdot R_i$  Gesamtverweilzeit eines Auftrags an  $i$
- $R_0 = \sum_{i=1}^K R'_i$  Gesamtverweilzeit im Netz
- $n_i$  mittlere Population an Station  $i$
- $N = \sum_{i=1}^R n_i$  mittlere Population im Netz



Zentrales Resultat für offene Netze

### **Ankunftstheorem:**

*Ein Auftrag, der an einer Station ankommt,  
trifft dort im Mittel  $n_i$  Aufträge an*

Weiterhin gilt  $X_i = V_i \cdot \lambda$  und  $U_i = X_i \cdot S_i = \lambda \cdot D_i$

Damit gilt für lastunabhängige Stationen

$R_i = S_i + n_i \cdot S_i$  oder mittels  $n_i = X_i \cdot R_i$  (Little)

$R_i = S_i + X_i \cdot R_i \cdot S_i \Rightarrow R_i = S_i / (1 - X_i \cdot S_i) = S_i / (1 - U_i)$

mit  $D_i = V_i \cdot S_i$  gilt  $R'_i = V_i \cdot R_i = \frac{D_i}{1 - U_i}$

Mittlere Population folgt nach Little

$n_i = R_i \cdot X_i = \frac{S_i}{1 - U_i} \cdot \frac{U_i}{S_i} = \frac{U_i}{1 - U_i}$

Für Verzögerungsstationen gilt

$R_i = S_i$  und  $R'_i = S_i \cdot V_i$  sowie  $n_i = S_i \cdot X_i = D_i \cdot \lambda$

$\Rightarrow$  alle Leistungsgrößen sind berechenbar

Maximale Ankunftsrate, die ein Netz verkraften kann

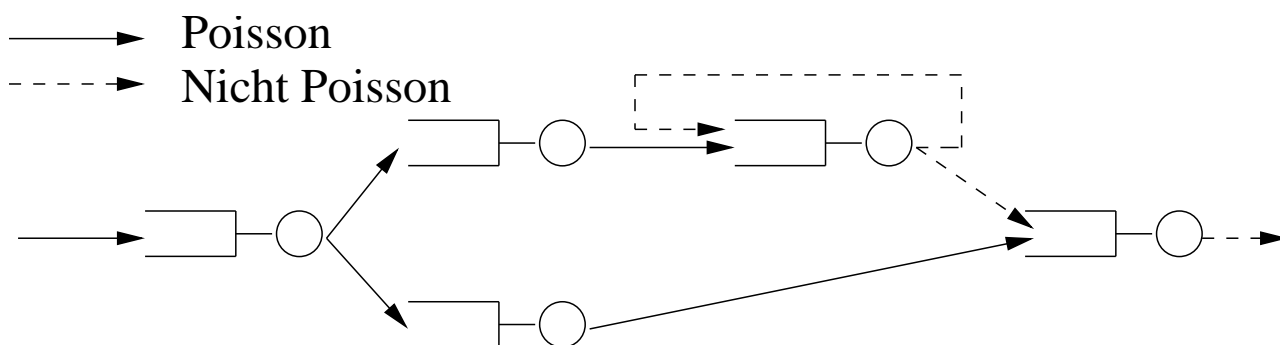
$$\lambda < \frac{1}{\max_{i=1}^K D_i}$$

Bedeutung des Ankunfts-theorems:

Ankunfts-theorem sagt aus, dass sich eine Station in einem offenen Netz wie eine isolierte Station mit identischen Parametern und Poisson-Ankünften mit Rate  $\lambda$  verhält (siehe PASTA-Eigenschaft auf Folie 26)

Sind die Flüsse im Netz tatsächlich Poisson-Prozesse?

Ein Beispiel:



- Poisson-Flüsse nur von außen und in Vorwärtsrichtung
- Zyklen führen zu komplexen Flüssen, die Abhängigkeiten induzieren
- Trotzdem wird das Netz so analysiert, als ob alle Flüsse Poisson-Prozesse wären!
- Zur Genauigkeit der Analyse und Gültigkeit des Ankunfts-theorems später etwas mehr!

## 3.2.2 Mehrklassennetze

Netz mit  $R$  Klassen, jede Klasse beschreibt ein individuelles Verhaltensmuster

Annahme: Keine Klassenwechsel

Erweiterung der Notation durch zusätzlichen Klassenindex

$R_{i,r}$  Verweilzeit Klasse  $r$  an Station  $i$

Vektor der Ankunftsraten  $\underline{\lambda} = (\lambda_1, \dots, \lambda_R)$

Stationszustand nun beschrieben durch Vektor

$$\underline{n}_i = (n_{i,1}, \dots, n_{i,R})$$

Für jede Klasse gilt dann  $D_{i,r} = V_{i,r} \cdot S_{i,r}$

Damit kann man die Auslastung jeder lastunabhängigen Station berechnen

pro Klasse  $U_{i,r} = \lambda_r \cdot V_{i,r} \cdot S_{i,r} = \lambda_r \cdot D_{i,r}$

insgesamt  $U_i = \sum_{r=1}^R U_{i,r} < 1$

Ein Ankunftsratenvektor  $\underline{\lambda}$  garantiert  
das Flussgleichgewicht, falls

$$\max_{i=1}^K \left( \sum_{r=1}^R \lambda_r \cdot V_{i,r} \cdot S_{i,r} \right) < 1$$

Angenommen, die Station würde sich wie eine isolierte M/M/1 Station verhalten (analog zum Einklassenfall), dann wäre

$$n_i = \frac{U_i}{1-U_i} \text{ die mittlere Population (über alle Klassen)}$$

Unter der Voraussetzung, dass der prozentuale Anteil der Klasse  $r$  Aufträge proportional zu ihrer Auslastung ist, gilt

$$n_{i,r} = \frac{U_{i,r}}{U_i} \cdot n_i = \frac{U_{i,r}}{1-U_i}$$

Zwei mögliche Überlegungen zur Berechnung der Verweilzeit

1. Vor dem Auftrag befinden sich  $n_i$  Aufträge, die erst bedient werden müssen. Davon sind  $n_{i,r}$  Aufträge aus Klasse  $r$ , deren Bedienzeit beträgt  $S_{i,r}$
2. Mit dem Auftrag befinden sich  $n_i$  weitere Aufträge an der Station. Die Bedienkapazität wird gleichmäßig aufgeteilt, so dass der Auftrag  $1/(n_i + 1)$  von der Gesamtkapazität bekommt

Wir benutzen erst einmal Sichtweise 2) und erhalten

$$R_{i,r} = (n_i + 1) \cdot S_{i,r} = \frac{S_{i,r}}{1-U_i}$$

Für Verzögerungsstationen gilt natürlich  $R_{i,r} = S_{i,r}$

## 3.3 Geschlossene Warteschlangennetze

Geschlossene Warteschlangennetze werden zur Modellierung von Systemen mit beschränkter Population eingesetzt

(z.B. C/S-System mit fester Population,  
Computer mit maximaler Jobzahl)

Basis der Analysen:

### **Ankunftstheorem für geschlossene Netze**

Ein Auftrag, der an einer Station ankommt, trifft die  
mittlere Population im Netz ohne sich selbst an  
(Reiser/Lavenberg 1980)

Berechnung damit rekursiv über die Population im Netz

Basisalgorithmus Mittelwertanalyse (MVA)

Dies ist nur einer von mehreren Analysealgorithmen

(andere Convolution, LBANC)

MVA ist intuitiv und einfach zu realisieren

Im folgenden

- Einklassennetze
- Mehrklassennetze
- Netze mit lastabhängigen Stationen

### 3.3.1 Einklassennetze

Notationen:

Größen in Abhängigkeit der Netzpopulation  $n$

Also

- $n_i(n)$  mittlere Population an  $i$  bei Population  $n$  im Netz
- $R_i(n)$  mittlere Verweilzeit an  $i$  bei Population  $n$  im Netz

...

Sei  $n_i^a(n)$  mittlere Population, die ein Auftrag antrifft,  
wenn er Station  $i$  betritt und  $n$  Aufträge im Netz sind

Nach dem Ankunftstheorem gilt

$$n_i^a(n) = n_i(n - 1)$$

Wir betrachten nur Verzögerungsstationen und  
lastunabhängige Stationen

Verweilzeit in Station  $i$ : Wartezeit + Bedienzeit

$$R_i(n) = \begin{cases} S_i & \text{falls Verzögerungsstation} \\ S_i \cdot (1 + n_i(n - 1)) & \text{sonst} \end{cases}$$

Zu Berechnung der Gesamtverweilzeit im Netz werden die mittleren Besuchszahlen an den Stationen benötigt

In offenen Netzen ist die Interpretation klar:

$V_i$  := Anzahl Besuche eines Auftrags an Station  $i$   
zwischen Ankunft und Abgang

Wie definiert man  $V_i$  im geschlossenen Netz?

Aufträge verlassen das Netz nicht,  
deshalb  $V_i = \infty$  nach obiger Interpretation

Alternative: Definition eines Arbeitszyklus pro Auftrag  
(z.B. vollständige Abarbeitung einer DB-Anfrage)

⇒ Verhältnis der  $V_i$  ist vom Modell festgelegt,  
nicht aber die konkreten Werte!

⇒ Berechnung der Resultate bzgl.  
eines frei wählbaren Faktors (Zeitskala)

Unter diesen Voraussetzungen:

Gesamtverweilzeit an Station  $i$

$$R'_i(n) = V_i \cdot R_i(n)$$

Gesamtverweilzeit im Netz

$$R_0(n) = \sum_{i=1}^K R'_i(n)$$

Damit gilt für den Durchsatz

$$X_0(n) = \frac{n}{R_0(n)} = \frac{n}{\sum_{i=1}^K V_i \cdot R_i(n)}$$

und

$$X_i(n) = V_i \cdot X_0(n)$$

Nach Little folgt

$$n_i(n) = X_i(n) \cdot R_i(n) = X_0(n) \cdot R'_i(n)$$

Berechnung der Größen damit rekursiv

beginnend mit  $n_i(0) = 0$

### Algorithmus

*for* ( $n = 1$  to  $N$ ) *do begin*

*for* ( $i = 1$  to  $K$ ) *do*

*if* ( $i = \text{Verzögerungsstation}$ ) *then*

$$R_i(n) = S_i(n) ;$$

*else*

$$R_i(n) = S_i \cdot (1 + n_i(n - 1)) ;$$

$$X_0(n) = n / (\sum_{k=1}^K V_k \cdot R_k(n)) ;$$

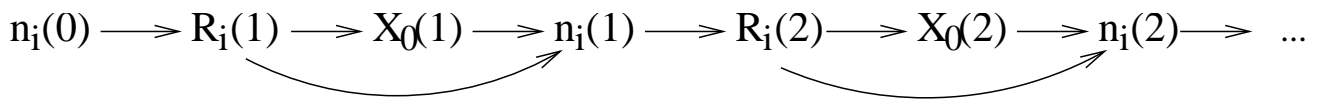
*for* ( $i = 1$  to  $K$ ) *do*

$$n_i(n) = X_0(n) \cdot V_i \cdot R_i(n) ;$$

*end*

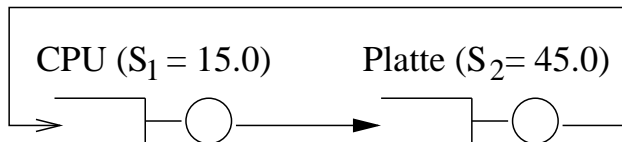


Ablauf des Algorithmus:



Aufwand  $O(K)$  und Speicherplatz  $O(K)$

Beispiel:



$n$	$R_{CPU}$	$R_{Pl}$	$R_0$	$X_0$	$n_{CPU}$	$n_{Pl}$
0	0.000	0.000	0.000	0.000	0.000	0.000
1	15.00	45.00	60.00	0.0167	0.250	0.750
2	18.75	78.75	97.50	0.0205	0.385	1.615
3	20.77	117.69	138.46	0.0217	0.450	2.550
4	21.75	159.75	181.50	0.0220	0.479	3.521

Wie zu erwarten ist die Platte der Flaschenhals und der Durchsatz konvergiert schnell gegen das Maximum  $1.0/45 \approx 0.0222$

Da keine Ankünfte von außen erfolgen, ist ein geschlossenes Netz immer stabil (d.h. es erreicht immer den stationären Zustand)

## 3.3.2 Mehrklassennetze

Vorgehen im Mehrklassenfall unterscheidet sich  
nicht grundsätzlich vom Einklassenfall

Population ist nun ein Vektor

$$\underline{N} = (N_1, \dots, N_R)$$

Population in einer Station bei Population  $\underline{N}$  im Netz

$$n_i(\underline{N}) = \sum_{r=1}^R n_{i,r}(\underline{N})$$

wobei  $n_{i,r}(\underline{N}) :=$  mittlere Population von Klasse  $r$  an  
Station  $i$  bei Population  $\underline{N}$  im Netz

Notationen

$$\underline{N} - \underline{1}_r = (N_1, \dots, N_{r-1}, N_r - 1, N_{r+1}, \dots, N_R)$$

(d.h. ein Auftrag der Klasse  $r$  weniger im Netz)

$\underline{0}$  ist der Nullvektor

Es gilt offensichtlich

$$n_{i,r}(\underline{0}) = 0$$

Analog zum Einklassenfall gelten rekursive Beziehungen

Verweilzeit

$$R_{i,r}(\underline{n}) = \begin{cases} S_{i,r} & \text{falls Verzögerungsstation} \\ S_{i,r} \cdot (1 + n_i(\underline{n} - \underline{1}_r)) & \text{sonst} \end{cases}$$

Durchsatz Klasse  $r$

$$X_{0,r}(\underline{n}) = \frac{n_r}{\sum_{i=1}^K V_{i,r} \cdot R_{i,r}(\underline{n})}$$

Gesamtdurchsatz

$$X_0(\underline{n}) = \sum_{r=1}^R X_{0,r}(\underline{n})$$

Mittlere Population pro Klasse (nach Little)

$$n_{i,r}(\underline{n}) = X_{0,r}(\underline{n}) \cdot V_{i,r} \cdot R_{i,r}(\underline{n})$$

Mittlere Population über alle Klassen

$$n_i(\underline{n}) = \sum_{r=1}^R n_{i,r}(\underline{n})$$

Aus diesen Formeln lässt sich ein Algorithmus formulieren  
(*Mehrklassen MVA*)

Problem:

Zur Berechnung der Werte für  $\underline{n}$  werden  
alle Werte für  $\underline{n} - \underline{1}_r$  benötigt

⇒

Aufwand wächst schnell mit Anzahl  
Klassen und Stationen

Zeitbedarf  $O(K \cdot R \cdot \prod_{r=1}^R (N_r + 1))$  Speicherplatz  $O(K \cdot R)$

## Algorithmus für mehrere Klassen

```
for ( $j_1 = 0$  to  $N_1$ ) do begin
  for ( $j_2 = 0$  to  $N_2$ ) do {
    ...
    for ( $j_R = 0$  to  $N_R$ ) do {
       $\underline{N} = (j_1, \dots, j_R)$ ;
      for ( $r = 1$  to  $R$ ) do {
         $X_{0,r}(\underline{N}) = 0$ ;
        if ( $j_r > 0$ ) {
          for ( $i = 1$  to  $K$ ) do {
            if ( $i = Delay$ )
               $R_{i,r}(\underline{N}) = S_{i,r}$ ;
            else
               $R_{i,r}(\underline{N}) = S_{i,r} * (1 + n_i(\underline{N} - \underline{1}_r))$ ;
             $X_{0,r}(\underline{N}) + = R_{i,r}(\underline{N});$  } }
           $X_{0,r}(\underline{N}) = j_r / X_{0,r}(\underline{N});$  }
        for ( $i = 1$  to  $K$ ) do {
          for ( $r = 1$  to  $R$ ) do
             $n_i(\underline{N}) + = X_{0,r}(\underline{N}) + R_{i,r}(\underline{N}) ;$ 
        } ... }
```

Oft verwendete Approximation(nach Schweitzer)

Annahme:

Anzahl der Aufträge an einer Station steigt

proportional zur gesamten Auftragszahl

$$\frac{n_{i,r}(\underline{N} - \underline{1}_r)}{n_{i,r}(\underline{N})} = \frac{N_r - 1}{N_r}$$

Damit gilt

$$n_{i,r}(\underline{N} - \underline{1}_r) = \frac{N_r - 1}{N_r} \cdot n_{i,r}(\underline{N})$$

Dies Darstellung definiert einen **Fixpunktansatz**

1. Initialisiere  $n_{i,r}(\underline{N})$  z.B. mit  $N_r \cdot V_{i,r} / \sum_{j=1}^K V_{j,r}$
2. Berechne  $n_{i,r}(\underline{N} - \underline{1}_r) = n_{i,r}(\underline{N}) \cdot \frac{N_r - 1}{N_r}$
3. Bestimme  $R_{i,r}(\underline{N})$  und  $X_{0,r}(\underline{N})$  mit MVA Formeln
4. Berechne  $n_{i,r}^e(\underline{N}) = X_{0,r}(\underline{N}) \cdot V_{i,r} \cdot R_{i,r}(\underline{N})$
5. Falls  $\max_{i,r} |n_{i,r}^e(\underline{N}) - n_{i,r}(\underline{N})| < \varepsilon$   
beende Berechnung
6.  $n_{i,r}(\underline{N}) = n_{i,r}^e(\underline{N})$  und fahre bei 2. fort

Algorithmus benötigt in der Regel wenige Iterationen und ist für Netze mit vielen Klassen und großen Populationen deutlich effizienter als exakter MVA

Fehler ist in diesen Fällen oft vernachlässigbar

## Gemischte Modelle

In gemischten Modellen sind einige Klassen offen, andere geschlossen

Seien

- die Klassen  $1, \dots, R$  geschlossen mit Population  $N_r$
- die Klassen  $R + 1, \dots, R + S$  offen mit Ankunftsrate  $\lambda_r$

Idee des Lösungsalgorithmus:

Analysiere ein offenes und ein geschlossenes Modell, wobei jeweils der Einfluss der anderen Klassen durch eine Vergrößerung der Bedienzeiten berücksichtigt wird!

Für  $r \in \{R, \dots, R + S\}$  sei  $U_{i,r} = \lambda_r \cdot S_{i,r}$   
die Auslastung durch die offene Klasse!

$$\text{Sei } U_{i,open} = \sum_{r=R+1}^{R+S} U_{i,r}$$

die Auslastung von Station  $i$  durch offene Klassen

Für die geschlossenen Klassen steht damit an Station  $i$  nur noch  $1 - U_{i,open}$  der Bedienkapazität zur Verfügung

⇒

ihre Bedienzeit verlängert sich um den Faktor  $(1 - U_{i,open})^{-1}$

Sei  $S_{i,r}^e = \frac{S_{i,r}}{1-U_{i,open}}$  für  $r \in \{1, \dots, R\}$

Algorithmus für gemischte Netze

1. Bestimme  $U_{i,open}$  und  $S_{i,r}^e$ ;
2. Löse das geschlossene Netz für die Klassen  $1, \dots, R$  mit Bedienzeiten  $S_{i,r}^e$   
 $\Rightarrow$   
 $R_{i,r}(\underline{N}), n_{i,r}(\underline{N})$  und  $X_{0,r}(\underline{N})$   
für  $r = 1, \dots, R$  und  $i = 1, \dots, K$
3. Sei  $n_{i,closed} = \sum_{r=1}^R n_{i,r}(\underline{N})$ ;
4. Berechne für  $r = R + 1, \dots, R + S$  :  
 $R'_{i,r} = \frac{D_{i,r} \cdot (1 + n_{i,closed})}{1 - U_{i,open}}$  und  $n_{i,r} = \lambda_r \cdot R'_{i,r}$

Bemerkungen:

- Der Aufwand wird durch den Aufwand der Lösung des geschlossenen Subnetzes bestimmt.
- Das Netz ist stabil, falls das offene Netz stabil ist, unabhängig von der Population und den Bedienzeiten der geschlossenen Klassen

### 3.3.3 Lastabhängige Bediener

Bisher nur behandelbar:

- Verzögerungsstationen
- Stationen mit einem Bediener

aber keine Stationen mit lastabhängigen Bedienraten

Solche Stationen sind aber wichtig, da sie

- Stationen mit mehreren Bedienern beschreiben
- in vielen realen Systemen auftreten

▷ wachsende Bedienzeiten im Ethernet bei steigender Last (durch Kollisionen)

▷ fallende Bedienzeiten bei Platten mit steigender Last (durch Scheduling)

Lastabhängige Stationen sind für Analyse mittels

- Dekomposition und Aggregierung (siehe 3.8.1) notwendig

Problem bei der Behandlung von lastabhängigen Raten in MVA:

- mittlere Populationen an Stationen reichen nicht aus
- Verteilung der Auftragspopulation muss berechnet werden



Dies erhöht den Aufwand und

kann zu numerischen Problemen führen

Definieren wir zur Behandlung lastabhängiger Stationen

$P_i(\underline{n}|\underline{N}) :=$  Wahrscheinlichkeit, dass sich

bei Population  $\underline{N}$  im Netz

$\underline{n}$  Aufträge an Station  $i$  befinden,

Es gilt (hier ohne Beweis)

$$P_i(\underline{n}|\underline{N}) = X_{i,r}(\underline{N}) \cdot S_{i,r}(\underline{N}) \cdot P_i(\underline{n} - \underline{1}_r | \underline{N} - \underline{1}_r)$$

mit

$$P_i(\underline{0}|\underline{0}) = 1.0 \text{ und } P_i(\underline{0}|\underline{N}) = 1 - \sum_{\underline{0} < \underline{n} \leq \underline{N}} P_i(\underline{n}|\underline{N})$$

(Berechnung numerisch problematisch)

und es gilt

$$R_{i,r}(\underline{N}) = \sum_{\underline{n} \leq \underline{N}} S_{i,r}(\underline{n}) \cdot \left( \sum_{s=1}^R n_s \right) \cdot P_i(\underline{n} - \underline{1}_r | \underline{N} - \underline{1}_r)$$

sehr komplex, auch wenn Vereinfachungen möglich sind, falls

Raten bestimmten Bedingungen gehorchen

(was notwendig ist, wie sich später zeigen wird)

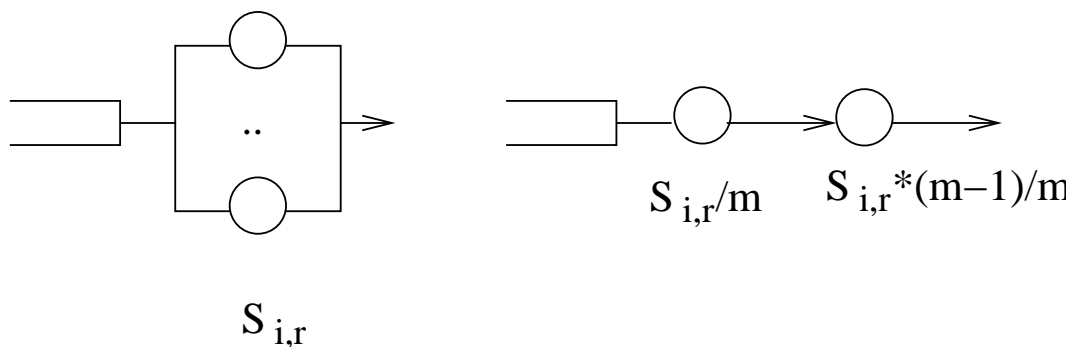
Es gibt noch andere Analysealgorithmen, die (etwas) besser für lastabhängige Stationen geeignet sind, aber Aufwand bleibt beträchtlich!

Approximatives Vorgehen nach Menasce

für Systeme mit  $m$  Bedienerstationen

Ersetze  $m$  Bediener mit Bedienzeiten  $S_{i,r}$  durch

- Einzelbediener mit Bedienzeit  $S_{i,r}/m$  und
- Verzögerungsstation mit Bedienzeit  $S_{i,r} \cdot (m - 1)/m$



Verhalten in Extremsituationen identisch zur Station mit  $m$  Bedienern

- Bei geringer Last durchläuft Auftrag Station in  $S_{i,r}$  Zeiteinheiten
- Bei hoher Last ist der einzelne Bediener immer aktiv und der Durchsatz beträgt  $m/S_{i,r}$

Größte Fehler im Bereich mittlerer Last,  
aber auch in diesem Bereich oft noch tolerable Fehler  
( $< 5\%$ )

## 3.4 Stochastische Interpretation

Ansatz der operationalen Analyse einfach und intuitiv  
aber auch korrekt?

Unter stochastischer Betrachtung:

1. sind Routingwahrscheinlichkeiten im Netz definiert
2. wird aus der Untersuchung des Systems in einem endlichen Intervall die stationäre Analyse des stochastischen Prozesses
3. gehorchen Ankunfts- und Bedienzeiten bestimmten Verteilungen

**zu 1.**

Annahmen:

Mehrklassennetze ohne Klassenwechsel

⇒ jede Klasse kann separat untersucht werden

Aufträge der Klasse besuchen alle Stationen im Netz

(Stationen, die nicht besucht werden,  
können bei Berechnung weggelassen werden)

## Routingwahrscheinlichkeiten für offene Netze

$p_{i,j}$  Wahrscheinlichkeit, dass Auftrag,  
der Station  $i$  verlässt, zu Station  $j$  geht

$p_{i,0}$  Wahrscheinlichkeit, dass Auftrag  
nach Verlassen von Station  $i$  das System verlässt

$p_{0,i}$  Wahrscheinlichkeit, dass Auftrag  
System in Station  $i$  betritt

Es gilt  $\sum_{j=0}^K p_{i,j} = 1$  für alle  $i$

Die Besuchshäufigkeiten  $V_i$  sind die eindeutige Lösung  
des linearen Gleichungssystems

$$V_i = p_{0,i} + \sum_{j=1}^K p_{j,i} \cdot V_j$$

## Routingwahrscheinlichkeiten für geschlossene Netze

Routingwahrscheinlichkeiten  $p_{i,0}$  und  $p_{0,i}$  fallen weg

Annahme: jede Station ist

von jeder anderen im Netz erreichbar

d.h. für Stationen  $i$  und  $j$  existieren

Stationen  $k_1 \dots k_n$ , so dass

$$p_{i,k_1} > 0, p_{k_i,k_{i+1}} > 0 \text{ und } p_{k_n,j} > 0$$

Wahrscheinlichkeiten  $p_{i,j}$  in

Routingmatrix  $P$  zusammenfassen

Routingmatrix  $P$  ist eine

- irreduzibel
- stochastische
- $K \times K$  Matrix
- mit Rang  $K - 1$

für den Vektor der Besuchshäufigkeiten

$$\underline{V} = (V_1, \dots, V_K) \text{ gilt } \underline{V} = \underline{V}P$$

⇒ Lösung existiert eindeutig bis auf eine Konstante

Lösung eines linearen Gleichungssystems der Dimension  $K$  zur Bestimmung der "relativen" Besuchshäufigkeiten

**zu 2.**

stationäre Analyse betrachtet System über  
unendlichen Zeithorizont

Flussgleichgewicht entspricht Stationarität

Voraussetzung in beiden Fällen

mittlere Bedienzeit kleiner als  
mittlere Zwischenankunftszeit

dies gilt immer in geschlossenen Netzen!

### zu 3.

Streng genommen gelten Regeln

der operationalen Analyse nur

bei exponentiellen Ankunfts- und Bedienzeiten

(auch dort nur mit einer Einschränkung siehe unten)

Aber wie in *BCMP 1975* (und anderen Arbeiten) nachgewiesen, gibt es zahlreiche Stationstypen, die sich so verhalten, als ob sie exponentielle Bedienzeitverteilungen hätten

⇒ Klasse der **Produktformnetze**

d.h. Analyse des Netzes mit exponentiellen Bedienzeitverteilungen (oder nach Gesetzen der operationalen Analyse) liefert korrekte Resultate

Netzklasse ist wie folgt charakterisiert:

- Im Netze können sich Aufträge verschiedener Klassen befinden
  - ▷ Klassenwechsel sind erlaubt,  
Klassen zwischen denen Wechsellmöglichkeiten bestehen fasst man zu Ketten zusammen,
  - ▷ Netze können offen, geschlossen oder für einige Ketten offen für andere geschlossen sein,  
für geschlossene Ketten muss die Routingmatrix irreduzibel sein

- Die Zwischenankunftszeiten offener Ketten sind negativ exponentiell verteilt  
(die Ankunftsrate darf von der Anzahl der Aufträge im Netz bzgl. der ankommenden Kette oder aller Ketten abhängen)
- Stationstypen sind vom einem der folgenden Typen
  - ▷ Verzögerungsstation mit beliebiger kettenabhängiger Bedienzeitverteilung
  - ▷ *Last Come First Served Preemptive Resume*, mit beliebiger kettenabhängiger Bedienzeitverteilung
  - ▷ *Processor Sharing* mit beliebiger kettenabhängiger Bedienzeitverteilung
  - ▷ *First Come First Served* oder *Random* mit negativ exponentieller Bedienzeitverteilung, der Mittelwert für alle Klassen ist identisch
- Bediengeschwindigkeiten an einer Station können von der Population an der Station abhängen, müssen aber die folgende Bedingung erfüllen

$$\frac{S_{i,r}(\underline{n})}{S_{i,s}(\underline{n})} = \frac{S_{i,r}(\underline{n}-\underline{1}_s)}{S_{i,s}(\underline{n}-\underline{1}_r)}$$

(Geschwindigkeit erlaubt einen freien Parameter pro Population  $\underline{n}$  und nicht  $R$  freie Parameter wie im allgemeinen Fall!!!)

Mögliche Form der lastabhängigen  
Bediengeschwindigkeiten

Lastabhängigkeit in Abhängigkeit von Gesamtpopulation  
an der Station

also

$$S_{i,r}(\underline{n}) = (\mu_{i,r} \cdot n_r \cdot C_i(\sum_{s=1}^R n_s))^{-1}$$

$C_i(j)$  := Geschwindigkeit des Bedieners mit  $j$  Aufträgen

Geschwindigkeiten erfüllen Bedingungen für Produktform

Mittelwertanalyse ist dann etwas einfacher:

Es gilt

$$P_i(j|\underline{N}) = \frac{1}{C_i(j)} \cdot \sum_{r=1}^R \frac{X_{i,r}(\underline{N})}{\mu_{i,r}} \cdot P_i(k-1|\underline{N} - \underline{1}_r)$$

mit  $P_i(j|\underline{N})$  W. für Population  $j$  an Station  $i$

bei Population  $\underline{N}$  im Netz

damit gilt auch

$$R_{i,r}(\underline{N}) = \sum_{j=1}^n j \cdot P_i(j-1|\underline{N} - \underline{1}_r) \cdot (\mu_{i,r} \cdot C_i(j))^{-1}$$



## 3.5 Anwendungsbeispiele

Produktformwarteschlangennetze werden breit eingesetzt für die Modellierung von

- Rechensystemen
- Rechnernetzen
- Kommunikationssystemen
- Fehlertoleranten Systemen
- Fertigungssystemen
- Verkehrssystemen

Wir betrachten Anwendungen aus ersten zwei Gebieten

Analytische Lösbarkeit des Modells erfordert Abstraktion

⇒ Resultate mit gewissen Modellierungsfehlern

Allgemeine Beobachtung

- Durchsätze relativ robust gegenüber Abstraktion
- Verweilzeiten deutlich sensitiver

aber praktischer Einsatz belegt für viele Systeme sind Leistungsgrößen mit Genauigkeit von 10%-30% ermittelbar

Oft ausreichend insbesondere

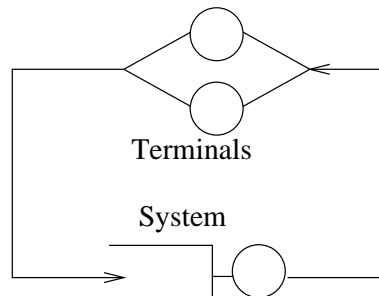
- zur Bestimmung von Flaschenhälsen
- zum Vergleich von Konfigurationen

detailliertere Ergebnisse u.U. durch Simulation

## 3.5.1 Computersysteme

Primäres Anwendungsgebiet für Produktformnetze

Erstes Modell einer IBM 7094 (1965)



Ziel: Antwortzeitberechnung

Systemeigenschaften:

- ein aktiver Benutzer
  - deshalb keine Unterscheidung von CPU und Platten
- Wechsel der Benutzer nach Zeitscheibenverfahren

Systemparameter legen

Zeitscheibenlänge + Overhead zum Prozesswechsel fest

Messungen zur Ermittlung

- der mittleren Denkzeit
- der mittleren Anzahl Zeitscheiben

Im Modell Vereinfachung durch exponentielle Zeiten

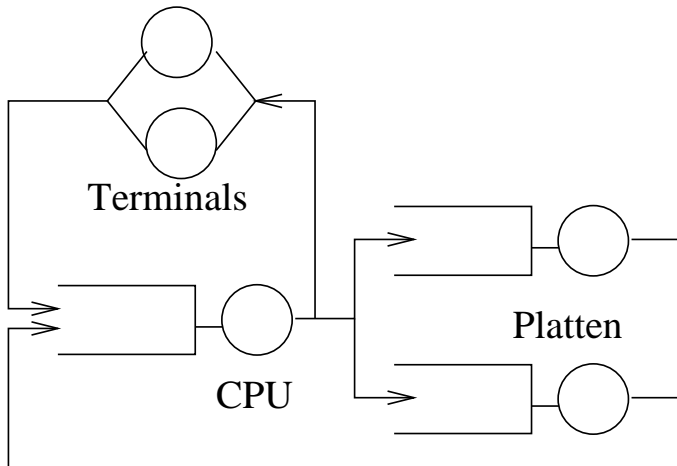
Ergebnisse sehr gut

Fehler von 5% bei Ermittlung der Antwortzeit

Moderne Systeme erlauben Mehrprogrammbetrieb

⇒ System nicht mehr als einzelne Station darstellbar

Typisches Modell Central Server



Modell existiert in verschiedenen Varianten und wurde erfolgreich eingesetzt für Analyse von Großrechner insbesondere IBM 360 Systemen

Erweiterungen:

- zusätzliche Kanäle für Platten  
Kanäle als zusätzliche Stationen  
(Problem: Aufträge können Platte und Kanal nicht simultan belegen)
- obere Schranke für Anzahl Jobs im System  
Zahl der aktiven Jobs an CPU + Platten beschränken  
(Problem: warten auf Zugang kann nicht modelliert werden)

## Mehrklassennetze für komplexere Systeme

i.a. immer noch *central server* Struktur aber

- unterschiedliche Lastklassen
  - Batch Jobs oft als offene Klasse
  - Dialog Jobs als geschlossene Klasse
- mehrere Klassen falls unterschiedliche Anforderungen,  
Klassenwechsel falls Anforderungen sich ändern

## Modellierung der Ressourcen

- CPU als Station mit PS Disziplin
- Terminals als Verzögerungsstationen
- Platten, Speicher, Bus als FCFS Station

## Zur Festlegung der Lastparameter:

- Messung und Einteilung der Messwerte in Klassen
- nur Mittelwerte sind relevant (Produktformnetze sind unempfindlich gegenüber Verteilungen)

## Probleme:

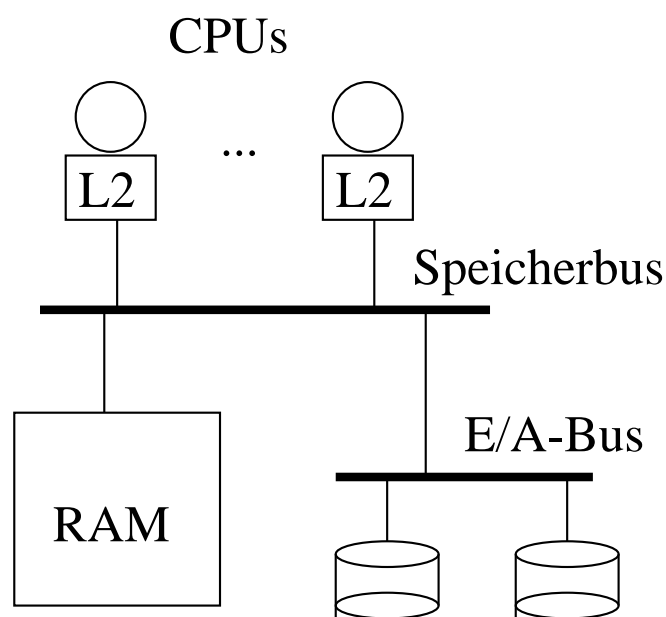
- FCFS Stationen setzen exponentielle Bedienzeiten voraus (oft nicht realistisch bei Platten)
- verschiedene Klassen müssen gleiche Bedienanforderungen an FCFS Stationen haben (schränkt die Modellierung mit mehreren Klassen ein)

## 3.5.2 Multiprozessorsysteme

Wir betrachten SMPs (*symmetric multiprocessors*)  
unter grobkörniger Last  
(d.h. Last besteht aus unabhängigen Prozessen)

### Typische Struktur

- mehrere (i.a. 4-8) Standardprozessoren mit lokalen Caches
- gemeinsamer globaler Speicher
- gemeinsame Plattenperipherie
- Betriebssystem verdeckt parallele Prozessoren  
Beispiele Sun SS1000, HP 9000, SNI RM 600



Speicherbus kann

- verbindungsorientiert  
(Bus bleibt belegt bis Anfrage abgearbeitet)
- paketorientiert  
(Anfragen werden asynchron geschickt)

arbeiten

Weiteres Problem Konsistenz der Caches

Strategien

- *write through*  
(jedes Schreiben direkt in den Speicher)
- *write back*  
(nur in den Speicher schreiben, wenn Daten aus dem Cache entfernt werden)

Konsistenz zwischen Caches durch Abhören des Speicherbusses (*snooping protocol*)

Leistungsfähigkeit von SMPs hängt stark vom Programmierstil ab

- Datenlokalität auf einzelnen Prozessoren ist wichtig
- bisher kaum Unterstützung in verfügbaren Systemen

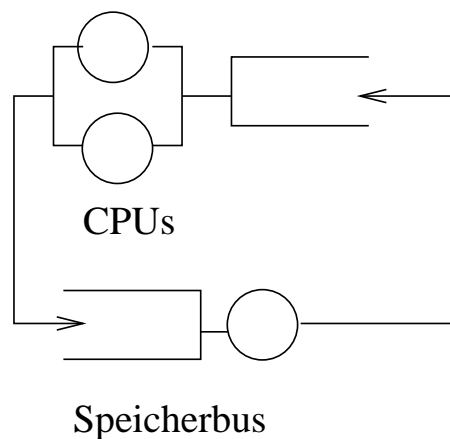
## Einfachstes Modell M/M/m System

(Bediener sind Prozessoren, Aufträge in Warteschlange warten auf CPU Zuteilung)

Dieses grobe Modell

- vernachlässigt Mehrprogrammfähigkeit der Prozessoren
- hat mit Auslastung wachsende Zahl von wartenden Prozessen
- beinhaltet weder Ein-/Ausgabe noch Speicherzugriffe
- kann aber zur ersten Abschätzung des maximal erreichbaren Durchsatzes dienen

Nächstes Modell mit Speicherbus



beide Stationen FCFS Bediener mit  
exponentieller Bedienzeitverteilungen

Einfache Erweiterung für mehrere Speicherbusse

Modell ist pessimistisch da

- Speicherzugriffszeiten exponentiell und nicht deterministisch
- Caches nicht beachtet werden

Modell ist optimistisch da

- Plattenzugriffe vernachlässigt werden
- Prozesse von beliebiger CPU bedient werden
- Speicherlocks unbeachtet bleiben

Trotzdem kann Modell erste Ergebnisse liefern

Übliche Leistungsmaße bei Multiprozessoren

*Power*

= durchschnittliche Anzahl aktiver Prozessoren

und

*Effizienz* =

Anzahl aktiver Prozessoren / Anzahl Prozessoren

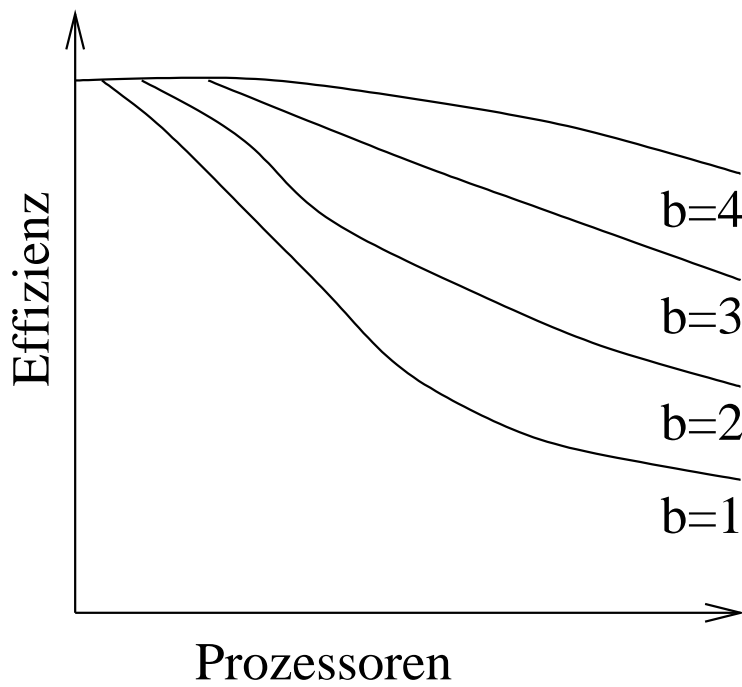
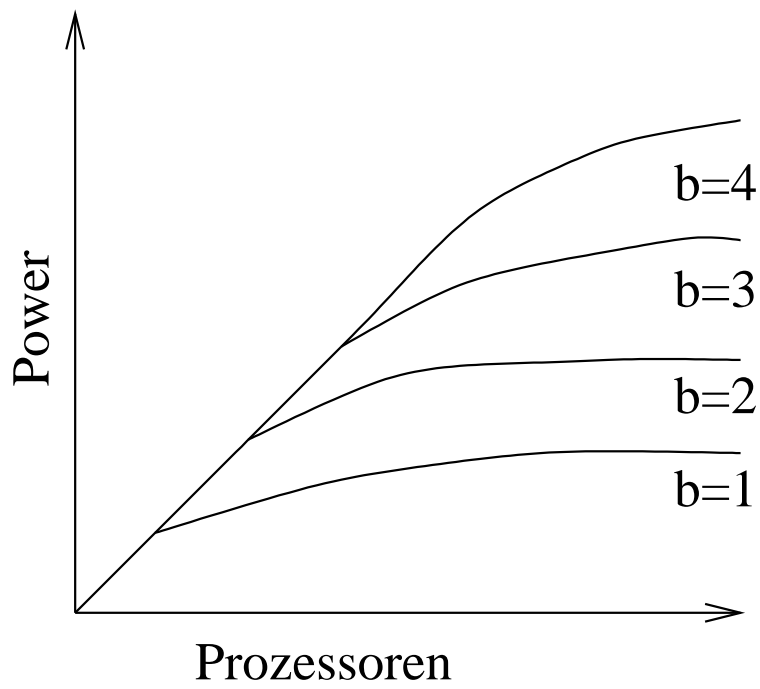
insbesondere interessant bei einem Prozess pro Prozessor

(Effizienz parallelisierter Programme im Vergleich zur sequentiellen Implementierung)



# Typischer Verlauf der Maße bei steigender Prozessorzahl

## System mit $b$ Bussen

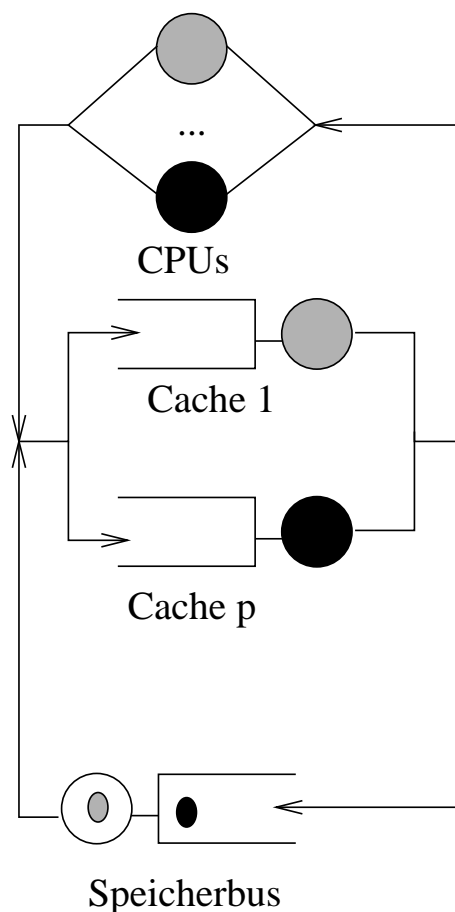


Nächster Erweiterungsschritt:

- Mehrklassennetz zur Beachtung
  - ▷ unterschiedlicher Prozessorzeiten
  - ▷ unterschiedlicher Speicherzugriffszeiten
- Beachtung der Effekte durch Caches

Produktformwarteschlangennetze erlauben nur abstrakte Modellierung des Cache-Protokolls detaillierte Modelle erfordern Simulation

Basismodell



## Aufträge bei der Strategie *write-through*

- Leseaufträge, die aus dem Cache befriedigt werden können
- Leseaufträge, die einen Speicherzugriff erfordern
- Schreibaufträge, die immer auch in den Speicher schreiben

## Aufträge bei der Strategie *write-back*

- Leseaufträge, die aus dem Cache befriedigt werden können
- Leseaufträge, die einen Speicherzugriff erfordern
  - ▷ ohne Verdrängung einer geschriebenen Seite
  - ▷ mit Verdrängung einer zu geschriebenen Seite
- Schreibaufträge, die in den Cache schreiben
- Schreibaufträge, die in den Speicher schreiben

## Analyse des Modells liefert

- Antwortzeit: mittlere Zeit zwischen zwei Besuchen an der CPU (bzw.  $1/\text{CPU Durchsatz}$  - Denkzeit)
- Power: mittlere Anzahl belegter CPUs
- Effizienz:  
mittlere Anzahl belegter CPUs / Anzahl CPUs
- Auslastung Speicher

Modell als Mehrklassennetz

- eine Klasse pro Prozessor

Verzweigungswahrscheinlichkeiten auf Basis

relativer Besuchshäufigkeiten und Systemparameter

Sei

- $p_r$  Anteil Leseoperationen,
- $p_w = 1 - p_r$  Anteil Schreiboperationen,
- $p_{miss}$  W. eines *Cache-misses*

Basis 1 Besuch an der CPU

bei *write-through*

Besuche Cache  $p_r + p_w = 1$

Besuche Speicher  $p_r \cdot p_{miss} + p_w$

bei *write-back*

Besuche Cache  $p_r \cdot (1 + p_{miss} \cdot p_w) + p_w$

Besuche Speicher  $p_r \cdot p_{miss} + p_w \cdot p_{miss} + p_r \cdot p_w \cdot p_{miss}$

Modell ist Basis für Vergleich von

*write-through* und *write-back*

Mögliche Erweiterungen:

- Plattenperipherie
- Paketorientierter Speicherbus

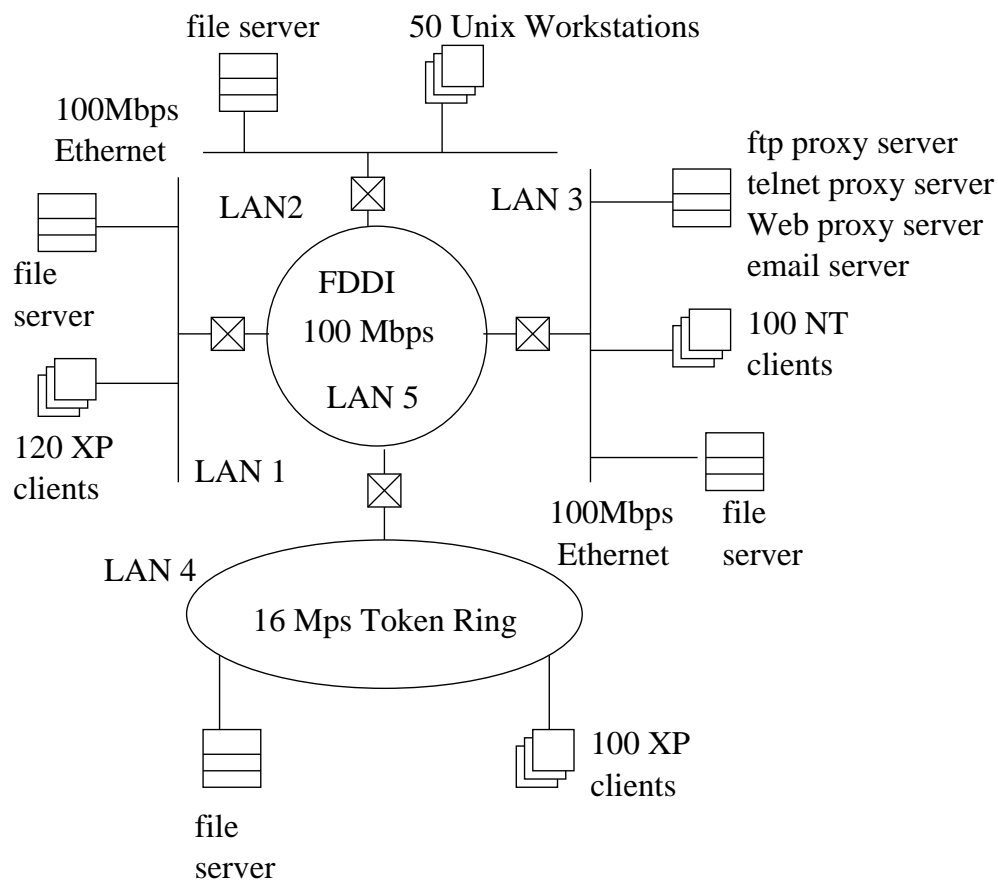
## 3.5.3 Client-Server Systeme

Komponenten aus vorherigen Kapiteln bilden Basis für  
Modellierung von Client-Server Systemen

Schritte bei Modellerstellung:

- Festlegung auf offenes, geschlossenes oder gemischtes Modell
- Festlegung der Komponenten und ihrer Darstellung  
z.B. Menge von Clients als Verzögerungsstation oder  
jeder Client als einzelne Station oder  
als Teilmodell mit CPU, Speicher und Platte  
dito für Server  
Darstellung der Netzkomponenten als (lastabhängige)  
Stationen
- Beschreibung der einzelnen Komponenten
- Beschreibung der Last  
Aufteilung in Klassen (mehr dazu in Kapitel 4)
- Berechnung des Bedienbedarfs an den Komponenten  
(mit den bereits eingeführten Formeln)
- Kalibrierung und Validierung des Modells
- Ermittlung von Resultaten

## Typisches Beispiel:



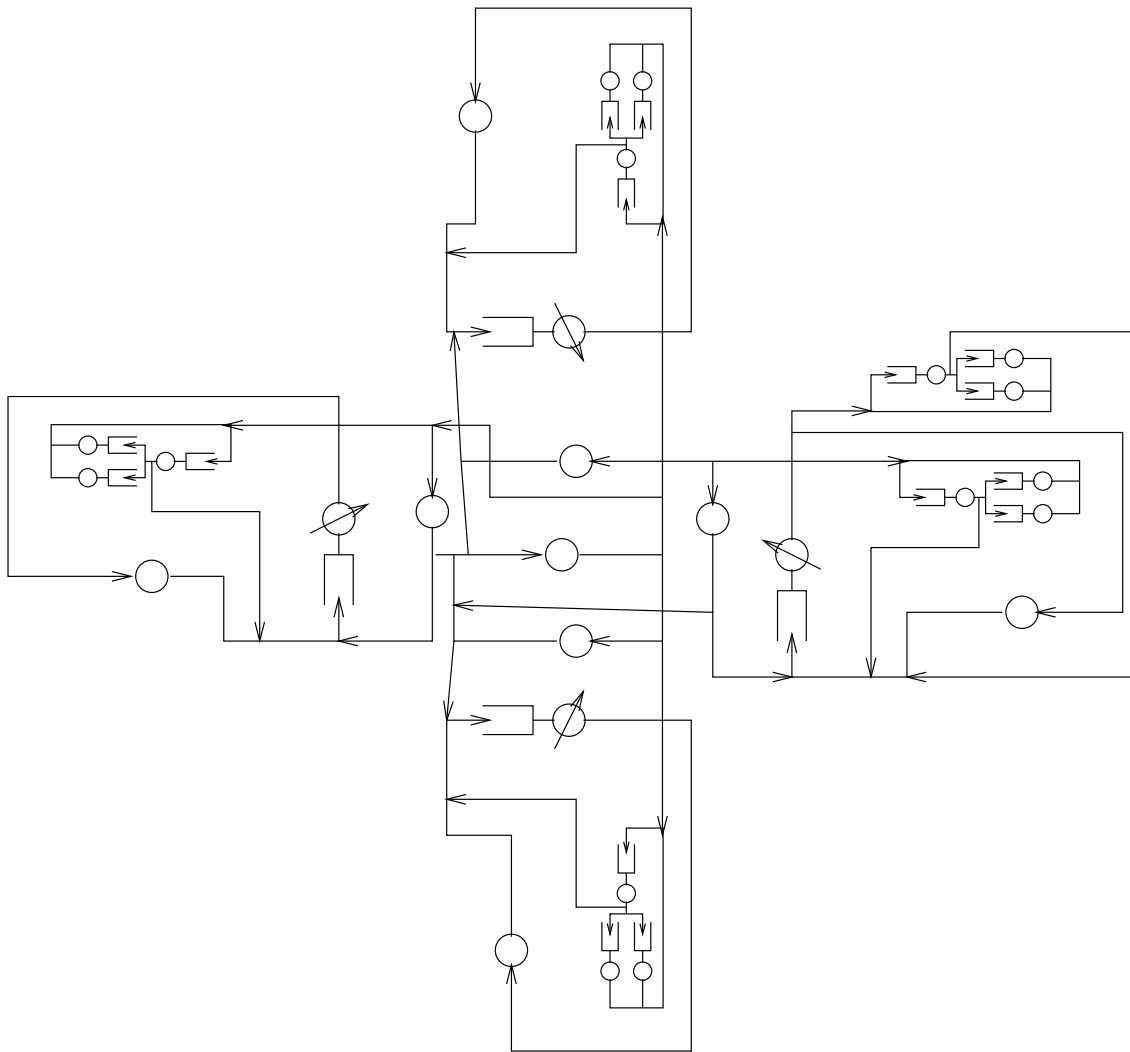
Entscheidungen die zu treffen sind:

- Ziele der Analyse und notwendige Resultatgrößen festlegen
- Entscheidung für offenes, geschlossenes oder gemischtes Modell
- Lastklassen festlegen und beschreiben
- Repräsentation der einzelnen Klassen
- Anzahl Aufträge oder Ankunftsrate pro Klasse

Entscheidung hier:

- Ermittlung von Durchsätzen und Antwortzeiten für die einzelnen Klassen
- Geschlossenes Mehrklassenmodell
  - ▷ jede Klasse ist charakterisiert durch Tripel (Client Gruppe, Anwendung, Server)
  - ▷ 4 Klassen von Clients CL1, . . . , CL4
  - ▷ 2 Anwendungen: Zugriff auf File-Server (FS) und Web-basiertes Training (TR)
  - ▷ 4 File Server (FS1, . . . , FS4) plus Web-Server (WS)
  - ▷ Service FS greift auf den lokalen File-Server zu, also (CL<sub>x</sub>, FS, FS<sub>x</sub>) mit  $x=1, \dots, 4$
  - ▷ Service TR greift auf den Web-Server zu, also (CL<sub>x</sub>, TR, WS)
- Beschreibung der Ressourcen
  - ▷ Clients, FDDI Ring und Router werden als Verzögerungsstationen modelliert
  - ▷ FS und TR werden als Central Server Systeme mit jeweils zwei Platten und einer CPU modelliert
  - ▷ LAN 1, . . . , 4 als lastabhängige Stationen modelliert

Damit entsteht folgendes Warteschlangennetz



Graphische Darstellung ohne weitere Erklärung  
unübersichtlich

Funktionalität nur durch detailliertere Spezifikation  
verständlich

insbesondere Darstellung der unterschiedlichen Klassen  
notwendig



## 3.5.4 Web Server

Web ist auch ein Client Server System

Besonderheiten

- jeder Client greift auf unterschiedliche Server zu
- Größe des Webs mehrere Millionen Clients mehrere Tausend Server (Verhältnis ca. 10000 zu 1)
- pro Server viele Clients, von denen jeder einzeln selten zugreift
- hohe Varianz in den Dokumentengrößen
- Zugriffsmuster gekennzeichnet durch *burstiness* und *heavy tails*

Spezifikation der Last nur durch Mittelwerte führt zu starken Verfälschungen bei den Ergebnissen

⇒

*burstiness* und *heavy tails* sind explizit zu berücksichtigen

## Modellierung von *bursts*

*Bursts* sorgen dafür, dass hintereinander Anforderungen in kurzen Zeitabständen ankommen und dann längere Pausen entstehen

Dies ist bei der Analyse zu berücksichtigen

Auf Basis der operationalen Analyse kann dies nur durch Justierung des Mittelwerts geschehen

Definition eines Faktors zur Charakterisierung

- $L$  Anzahl Anfragen
- $T$  Zeitraum in dem die Anfragen eintreffen
- $\lambda = L/T$  Ankunftsrate
- Unterteile  $T$  in  $n$  Teilintervalle der Länge  $T/n$

$Arr(k)$  Anzahl Anfragen im Intervall  $k$

$$\lambda_k = \frac{Arr(k)}{T/n} = \frac{n \cdot Arr(k)}{T} \text{ Ankunftsrate Intervall } k$$

- $Arr^+$  Anzahl Anfragen, die in Intervallen ankommen, in denen Ankunftsrate höher als der Durchschnitt ist

$$Arr^+ = \sum_{\lambda_k > \lambda} Arr(k)$$

- $Arr^-$  Anzahl Anfragen, die in Intervallen ankommen, in denen Ankunftsrate kleiner gleich Durchschnitt ist

$$Arr^- = \sum_{\lambda_k \leq \lambda} Arr(k)$$

Es gilt  $L = Arr^+ + Arr^-$

Unter Annahmen der operationalen Analyse gilt für

Strom, der keine *bursts* enthält

$Arr(k) = L/n$  und damit  $\lambda_k = \lambda$  für alle  $k$

Definition burstiness Parameter

$b = (\text{Anzahl Intervalle mit } \lambda_k > \lambda) / n$

Für einen Strom ohne *bursts* gilt  $b = 0$

Ankunftsrate während eines *bursts*

$$\lambda^+ = \frac{Arr^+}{b \cdot T}$$

Relation der Ankunftsraten

$$a = \frac{\lambda^+}{\lambda} = \frac{Arr^+}{b \cdot L}$$

Berücksichtigung von *bursts*

in den mittleren Bedienanforderungen

Beobachtung:

Durchsatz fällt mit wachsendem *burst*-Faktor

Maximaler Durchsatz entspricht der inversen Bedienzeit

am Flaschenhals

Neujustierung der Bedienzeit am Flaschenhals als

$$D = D_f + a \cdot b$$

wobei  $D_f$  Bedienzeit ohne Einfluss der *bursts*

Bestimmung von Faktor  $a$  aus Messungen  
in folgenden Schritten

- Messung Web Server im Intervall  $[0, T)$   
liefert  $L$  Anfragen
- ▷ Unterteile Intervall in zwei gleichgroße Teilintervalle  
mit  $L_1$  und  $L_2$  Anfragen
- ▷ Bestimme für jedes Intervall die Auslastung aller  
Ressourcen, den Durchsatz und den *burst* Faktor  $b_i$
- ▷ Sei  $U_i$  die Auslastung am Flaschenhals im Intervall  $i$   
und  $X_i$  der Durchsatz, dann gilt

$$U_i/X_i = D_f + a \cdot b_i$$

und damit auch

$$a = \frac{U_1/X_1 - U_2/X_2}{b_1 - b_2}$$

Berücksichtigung von *heavy tails*

durch Verwendung von mehreren Klassen

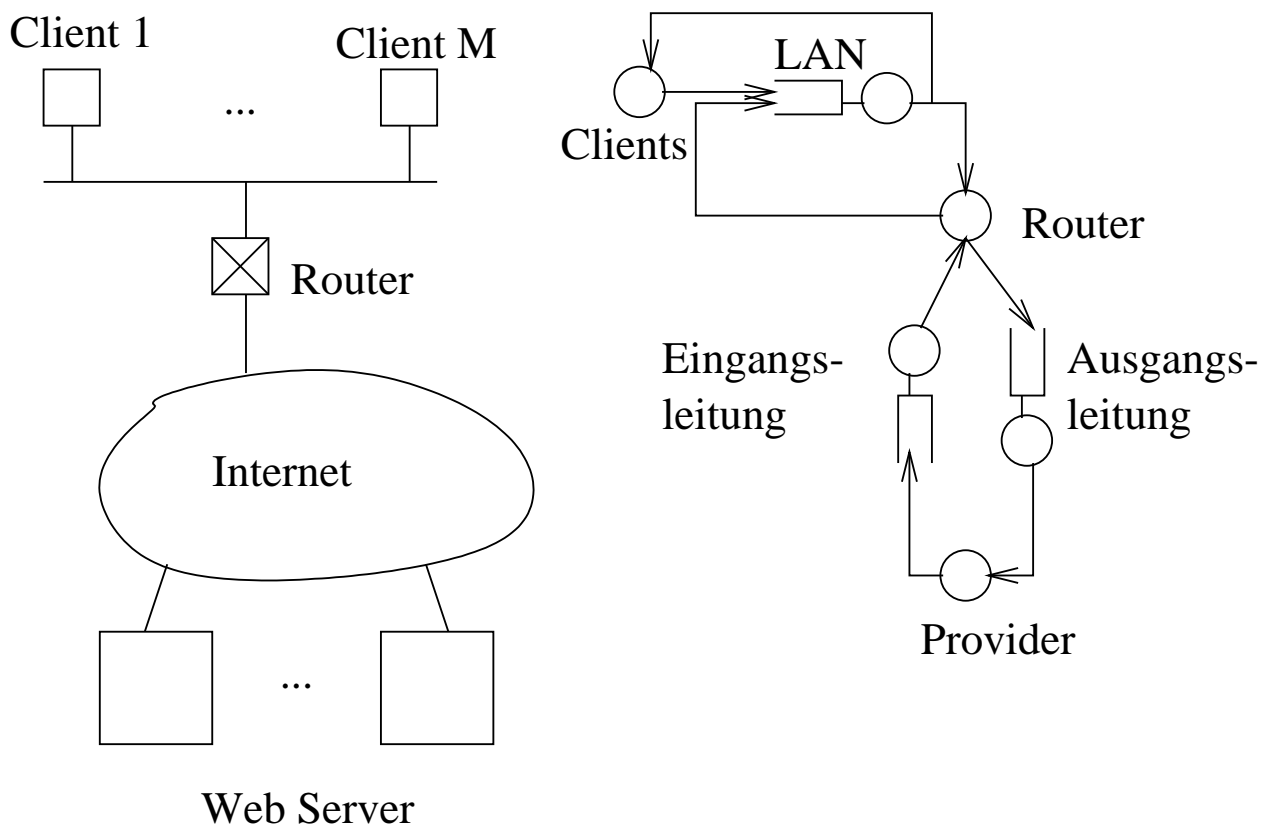
## Modelle auf der Client Seite

### Kapazitätsplanungsfragen auf Client-Seite

1. Bandbreite der Verbindung zum Service Provider
2. Bandbreite des internen LANs
3. Einsatz von Proxy Cache Servern

### Erstes Modell ohne Proxy Cache

- $M$  Client Workstations
- mittels LAN verbunden
- über Router mit einem Service Provider verbunden



## Systemparameter

- *LANBandw* Bandbreite des LANs
- *MaxPDU* auf Netzwerkebene
- *FrameOv* Overhead durch LAN link-layer
- *RouterLat* Latenzzeit des Routers
- *LinkBandw* Bandbreite der Verbindung zum Provider
- *InternetDel* mittlere Verzögerungszeit einer Internet-Anfrage
- *InternetRate* Datenraten des Internetanschlusses
- *BrowserRate* Rate mit der vom Browser neue Dokumente angefordert werden
- *NumberCl* Anzahl Clients
- *PercAct* Prozentsatz aktiver Clients  
(d.h. Clients, die auf das Internet zugreifen)
- *AvgReqSize* durchschnittliche Größe einer HTTP Anfrage
- *DocSize* durchschnittliche Größe der angeforderten Dokumente

i.a. Zerlegung in Klassen 1, . . . , R:

$$DocSize = \sum_{r=1}^R DocSize_r \cdot DocPerc_r$$

## Bestimmung des Bedienbedarfs

$$D_{cl} = 1 / \text{BrowserRate} \text{ (Clients)}$$

$$D_{LAN} = \text{NetTime}(\text{AvgReqSize} + \text{DocSize})$$

wobei

$$\text{NetTime}(m) = \frac{8 \cdot (m + \text{Overh}(m))}{\text{LANBandw}}$$

$$\text{Overh}(m) =$$

$$\text{TcpOv} + \text{NDatag}(m) \cdot (\text{IpOv} + \text{FrameOv}) =$$
$$20 + \text{NDatag}(m) \cdot (20 + \text{FrameOv})$$

$$\text{NDatag}(m) = \left\lceil \frac{m + \text{TcpOv}}{\text{MaxPDU} - \text{IpOv}} \right\rceil$$

$$D_{Router} = (\text{NDatag} \cdot \text{DocSize} + 6) \cdot \text{RouterLat}$$

6 entsteht durch zus. TCP Nachrichten

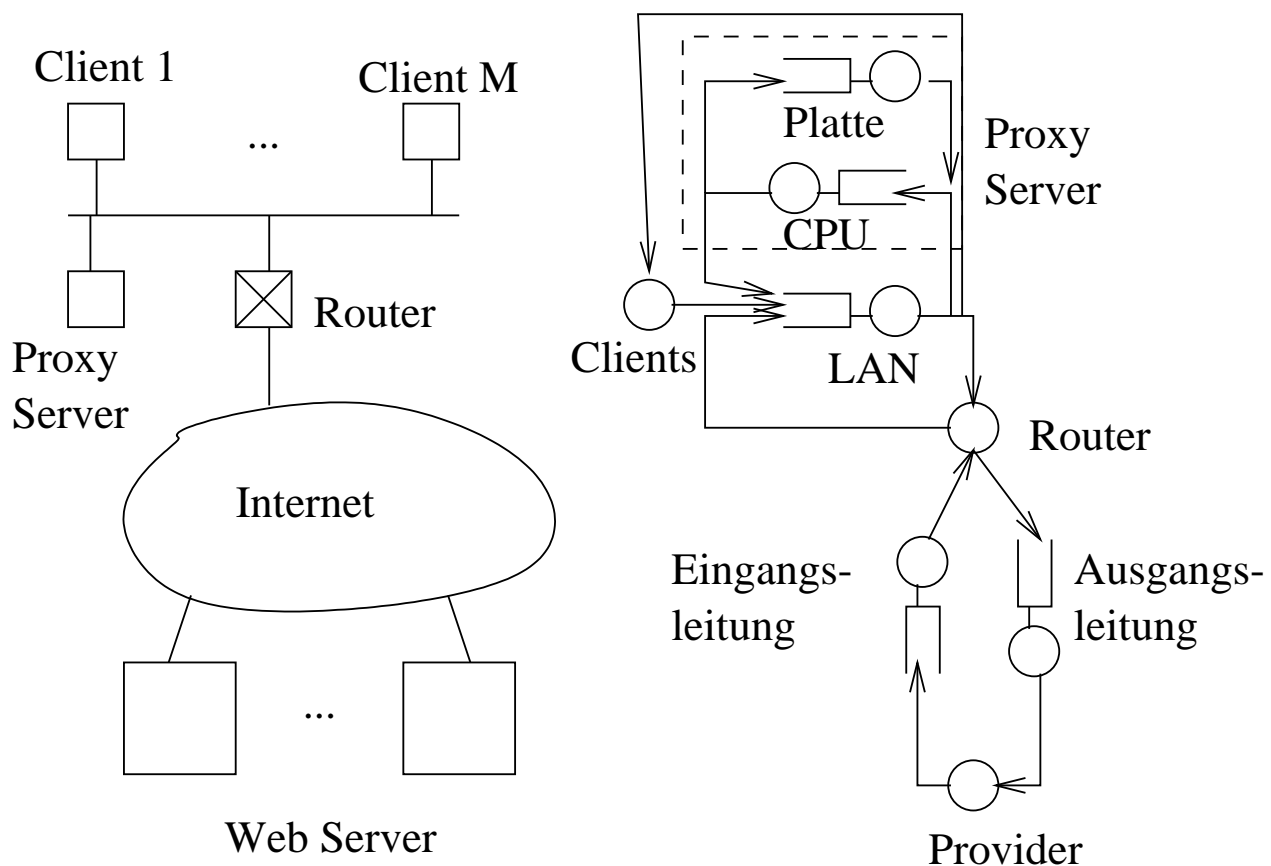
$$D_{AusL} = \frac{\text{AvgReqSize} + 5 \cdot (\text{TcpOv} + \text{IpOv})}{\text{LinkBandw}}$$

5 entsteht durch zus. TCP Nachrichten

$$D_{Prov} = 1.5 \cdot \text{InternetDel} + \text{DocSize} / \text{InternetRate}$$

$$D_{EinL} = \frac{\text{DocSize} + \text{LinkOv}}{\text{LinkBandw}}$$

## Modell mit Proxy Cache



### Systemverhalten

- für jede Anfrage wird zuerst im Cache des Proxy Servers gesucht
- bei Erfolg Übertragung von dort zum Client
- bei Misserfolg agiert Proxy Server als Client
  - ▷ holt Dokument
  - ▷ speichert Dokument
  - ▷ überträgt Dokument zum Client



## Zusätzliche Parameter

- $p_{hit}$  Trefferwahrscheinlichkeit im Proxy Cache
- $HitCPU_i$  CPU Zeitbedarf bei einem Treffer
- $MissCPU_i$  CPU Zeit bei Misserfolg
- $DiskT_i$  Zeit für Plattenzugriffe  
(identisch bei Treffer oder Misserfolg,  
im ersten Fall lesen, im zweiten schreiben!)

## Berechnung der Bedienzeiten

$$D_{LAN}^P = p_{hit} \cdot D_{LAN} + (1 - p_{hit}) \cdot 2 \cdot D_{LAN}$$

$$D_{Router}^P = (1 - p_{hit}) \cdot D_{Router}$$

$$D_{EinL}^P = (1 - p_{hit}) \cdot D_{EinL}$$

$$D_{AusL}^P = (1 - p_{hit}) \cdot D_{AusL}$$

$$D_{Prov}^P = (1 - p_{hit}) \cdot D_{Prov}$$

sowie

$$D_{CPU}^P = p_{hit} \cdot HitCPU_i + (1 - p_{hit}) \cdot MissCPU_i$$

$$D_{Platte}^P = DiskT_i \cdot DocSize$$

## Modelle auf der Server Seite

### Kapazitätsplanungsfragen auf Server Seite

1. Bandbreite der Verbindung zum Internet
2. Einrichtung von Spiegelsevernen
3. Server auf einem Rechner oder auf Rechnernetz verteilt
4. Dokumentenverteilung über mehrere Platten
5. Maximal erreichbarer Durchsatz
6. Komprimierte Speicherung großer Dokumente
7. CGI Skripten oder Java Applets
8. Auswahl Servertyp

## Modellierung von Web Servern

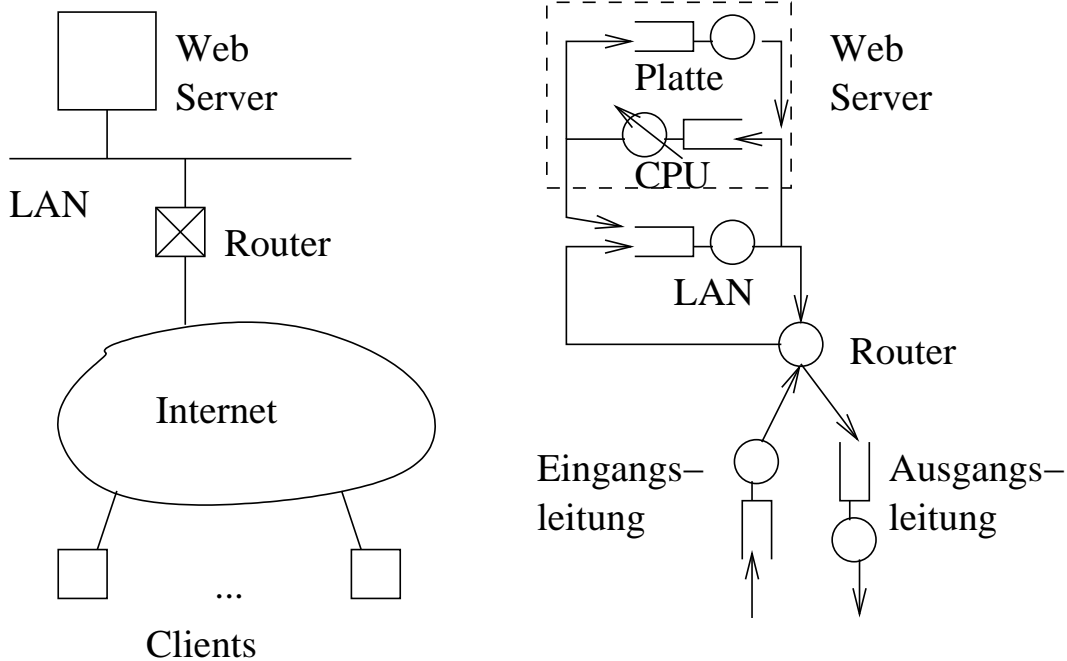
Web Server werden von zahlreichen Clients angesprochen

⇒ Modellierung als offene Mehrklassennetze

Wir unterscheiden

- Web Server auf einem Rechner realisiert
- Web Server als verteiltes System

## Web Server auf einem Rechner



Belastung durch  $R$  Klassen mit

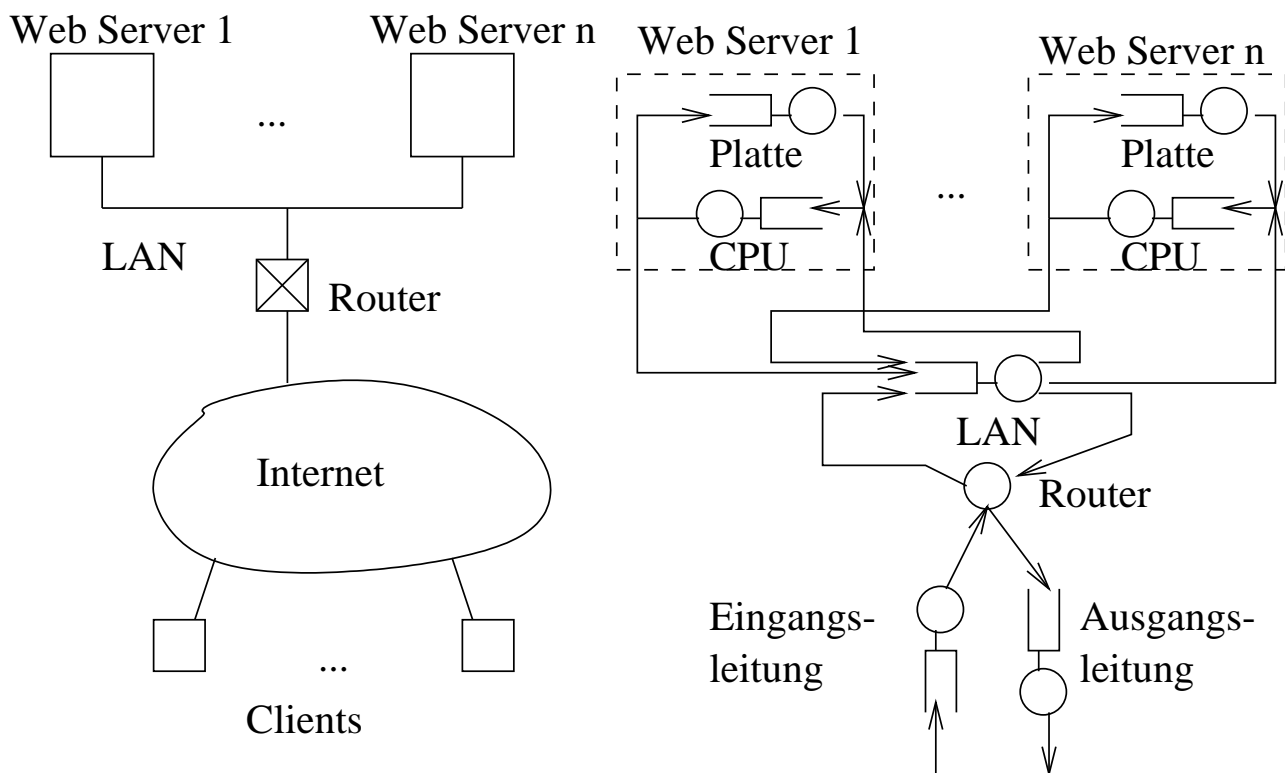
- klassenspezifischen Ankunftsrate  $\lambda_r$
- klassenspezifischen Bedienbedürfnissen  $D_{i,r}$   
(Bestimmung wie bei Client)

aber Bedienzeit CPU i.a. lastabhängig durch  
zusätzlichen Overhead

Berücksichtigung durch

- lastabhängige Bedienzeiten oder
- $D_{CPU,r} = CPU T_i Req + f(\bar{n}) \cdot CPU Ov$   
mit  $\bar{n}$  mittlere Population am Web Server  
⇒ Fixpunktansatz

## Web Server als verteiltes System



Last jedes einzelnen Servers  $1/n$  der ankommenden Last

Dies kann erreicht werden indem

$$D_{CPU,r}^v = D_{CPU,r}/n$$

und

$$D_{Platte,r}^v = D_{Platte,r}/n$$

gesetzt werden

(u.U. zusätzliche Berücksichtigung der Lastabhängigkeit)

Restliche Zeiten bleiben gleich

## 3.6 Modellierung mit Markov-Prozessen

Bisherige Modellierung basierte im wesentlichen auf der Betrachtung und Untersuchung von Mittelwerten

- einfache Modellparametrisierung
- effiziente Analyse auch großer Systeme

aber

- unzureichende Berücksichtigung von Verteilungen (Ausnahme M/G/1)
- keine Berücksichtigung von Korrelationen

Allgemeineres und analysierbares Modelle: Markov-Prozesse  
 $X(t)$  stochastischer Prozess mit

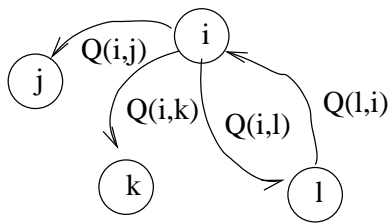
- Zustandsraum  $S = \{1, \dots, n\}$  oder  $S = \mathbf{N}$
- Übergangsratenmatrix (oder auch Generatormatrix)  
 $Q \in \mathbf{R}^{n,n}$  mit
  - $Q(i, j) \geq 0$  falls  $i \neq j$  und
  - $Q(i, i) = -\sum_{j \neq i} Q(i, j)$
  - $Q$  hat Zeilensumme 0 und nicht-negative Nichtdiagonalelemente

Verhalten des Markov-Prozesses (Annahme  $|Q(i, i)| > 0$ ):

- Prozess verweilt eine exponentiell verteilte Zeit mit Rate  $|Q(i, i)|$  im Zustand  $i$
- wechselt anschließend mit Wahrscheinlichkeit  $P(i, j) = Q(i, j) / |Q(i, i)|$  in Zustand  $j$   
( $P$  ist die stochastische Transitionsmatrix der eingebetteten Markov-Kette)

⇒ Zukünftiges Verhalten hängt nur vom aktuellen Zustand ab

Matrix  $Q$  beschreibt einen gerichteten Graphen



Graph stark zusammenhängend  $\iff$  Markov-Prozess irreduzibel

Ziel der Analyse von Markov-Prozessen:

- Berechnung transienten Verteilung, d.h. Verteilung der Zustandswahrscheinlichkeiten zum Zeitpunkt  $t (> 0)$  unter Kenntnis der Zustandswahrscheinlichkeiten zum Zeitpunkt 0
- Berechnung der stationären Verteilung, d.h. Verteilung der Zustandswahrscheinlichkeiten für  $t \rightarrow \infty$

## 3.6.1 Analyse von Markov-Prozessen

### Stationäre Analyse

Voraussetzungen: Markov Prozess ist ergodisch, d.h.

- $Q$  ist irreduzibel
- falls  $S$  unendlich viele Zustände beinhaltet, so muss der Prozess rekurrent sein
  - Prozess ist rekurrent, falls alle Zustände rekurrent sind
  - Zustand  $i$  ist rekurrent, falls der Prozess mit Wahrscheinlichkeit 1 nach dem Verlassen von  $i$  wieder nach  $i$  zurückkehrt

Sei  $f_{ii}^{(k)}$  die Wahrscheinlichkeit nach  $k$  Schritten wieder zu Zustand  $i$  zurückzukehren, es gilt  $f_{ii}^{(k)} = (P^k)(i, i)$

Zustand  $i$  ist rekurrent, falls  $f_{ii} = \sum_{k=1}^{\infty} f_{ii}^{(k)} = 1$

(Bsp. M/M/1-System mit  $\lambda < \mu$  ist rekurrent, falls  $\lambda \geq \mu$ , so ist kein Zustand rekurrent)

Ergodizität wird im Folgenden bei der stationären Analyse vorausgesetzt

Bei ergodischen Markov-Prozessen hängt die stationäre Verteilung nicht von der Verteilung zum Zeitpunkt 0 ab

## Berechnung der stationären Verteilung:

Stationäre Verteilung wird dargestellt als Vektor  $p \in \mathbb{R}_+^{1,n}$ , wobei  $p(i)$  die stationäre Wahrscheinlichkeit von Zustand  $i$  ist

Im stationären Zustand gilt:

Fluss in einen Zustand = Fluss aus einem Zustand

wobei Fluss = Zustandswahrscheinlichkeit  $\cdot$  Rate, also

$$\sum_{j=1, j \neq i}^n p(j)Q(j, i) = \sum_{i=1, j \neq i}^n p(i) \cdot Q(i, j)$$

$\Leftrightarrow$

$$\sum_{j=1, j \neq i}^n p(j)Q(j, i) + p(i)Q(i, i) = 0$$

oder in Matrixschreibweise  $pQ = 0$

Falls  $Q$  irreduzibel, so ist der Rang von  $Q$  gleich  $n - 1$

$\Rightarrow$  Normierungsbedingung  $\sum_{i=1}^n p(i) = 1$  als  $n$ -te Gleichung

Falls  $n$  endlich, Lösung eines linearen Gleichungssystems

- oft ist  $n$  endlich aber sehr groß
- oft ist  $Q$  sehr spärlich besetzt

$\Rightarrow$  Anwendung spezieller numerischer Techniken  
(nicht Inhalt dieser Vorlesung)



Berechnung von  $p$  für  $n = \infty$

effektive Berechnung nur bei regulären Strukturen

Beispiel M/M/1 oder M/M/m, weitere Beispiele später

Im allgemeinen Fall Lösung durch

- Simulation (Aussagen auf Basis einer endlichen Untermenge besuchter Zustände)
- Approximation durch die Lösung eines Markov-Prozesses mit endlichem Zustandsraum (Aussagen auf Basis einer vorab festgelegten endlichen Untermenge von Zuständen)

Ableitung von Leistungsgrößen aus den Zustandswahrscheinlichkeiten:

- Interpretation der Zustände
- Ableitung der benötigten Resultatwerte

Beispiel M/M/m:

Zustandsindex - 1 = Population im System

Mittlere Population:  $\sum_{i=2}^{\infty} (i - 1) \cdot p(i)$

(in diesem Fall geschlossene Form vorhanden)

Wahrscheinlichkeit mindestens 10 Aufträge im System

$$\sum_{i=11}^{\infty} p(i) = 1 - \sum_{i=1}^{10} p(i)$$

...

## Transiente Analyse:

Sei  $p_t$  Vektor der Zustandswahrscheinlichkeiten zum Zeitpunkt  $t$

Die Verteilung  $p_t$  ist durch das Differentialgleichungssystem

$$\frac{dp_t}{dt} = p_t \cdot Q \text{ charakterisiert}$$

Die allgemeine Lösung dieses Differentialgleichungssystems lautet

$$p_t = p_0 \cdot e^{Qt}$$

Die einfachste Methode der Lösung ist die Reihenentwicklung der Exponentialfunktion:

$$p_t = p_0 \cdot \sum_{k=0}^{\infty} \frac{t^k}{k!} Q^k \text{ (Abbruch bei endlichem } K \text{)}$$

Nachteile des Vorgehens:

- da Matrix  $Q$  positive und negative Elemente enthält, ist diese Berechnung numerisch instabil, insbesondere wenn  $t$  größer wird
- wenn die Summation abgebrochen wird, ist keine Fehler-schranke verfügbar

Möglicher Ausweg definiere  $0 = t_0 < t_1 < t_2 < \dots < t_n = t$

$$\text{und berechne } p_{t_m} = p_{t_{m-1}} \cdot \sum_{k=0}^{\infty} \frac{(t_m - t_{m-1})^k}{k!} Q^k$$

Für kleine Abstände  $t_m - t_{m-1}$  müssen nur wenige Summanden berechnet werden, dadurch numerisch stabiler.

Besser ist die Anwendung der Randomisierungs- oder Uniformisierungsmethode!

Sei  $\alpha \geq \max_{i \in S} (|Q(i, i)|)$  und  $\hat{P} = Q/\alpha + I$ , dann gilt:

$$e^{Qt} = e^{\alpha t(\hat{P}-I)} = e^{(\alpha t)\hat{P} - (\alpha t)I} = e^{-\alpha t} e^{(\alpha t)\hat{P}}$$

Also können wir die Reihenentwicklung von  $e^{Qt}$  durch die Reihenentwicklung von  $e^{(\alpha t)\hat{P}}$  ersetzen und erhalten

$$p_t = p_0 \cdot \sum_{k=0}^{\infty} \hat{P}^k e^{-\alpha t} \frac{(\alpha t)^k}{k!}$$

Unterschiede zur ursprünglichen Summe:

- $\hat{P}$  enthält keine negativen Elemente, damit können die Werte numerisch stabil berechnet werden
- $\sum_{k=0}^{\infty} e^{-\alpha t} \frac{(\alpha t)^k}{k!} = 1.0$  Wahrscheinlichkeiten eines Poisson-Prozesses mit Parameter  $\alpha t$
- Sei  $\beta(k, \alpha t) = e^{-\alpha t} \frac{(\alpha t)^k}{k!}$  und  $p^{(k)} = p_0 \hat{P}^k$ , dann gilt bei

Abbruch der Summation nach  $K$  Schritten:

$$\begin{aligned} \sum_{k=0}^K \beta(k, \alpha t) p^{(k)} &\leq p_t \\ &\leq \left( \sum_{k=0}^K \beta(k, \alpha t) p^{(k)} \right) + \left( 1 - \sum_{k=0}^K \beta(k, \alpha t) \right) e \end{aligned}$$

wobei  $e$  der Einheitsvektor ist

Zur Implementierung:

Berechnung der Vektoren  $p^{(k)}$  erfordert nur Vektor-Matrix-Multiplikationen mit nicht-negativen Elementen

Schwieriger ist die Berechnung der  $\beta(k, \alpha t)$ :

Eine direkte Implementierung führt zu numerischen Problemen

Numerisch stabiler Algorithmus:

$K = 1; s = 1.0; b = 1.0; a = (1 - \epsilon)/e^{-\alpha t};$

while ( $b < a$ ) do {

$K = K + 1;$

$s = s \cdot (\alpha t)/K;$

$b = b + s; \}$

$K$  enthält die Anzahl der Iterationen, um einen Fehler kleiner als  $\epsilon$  zu bekommen!

Berechnung der Lösung:

$\pi = p_0; y = p_0$

for ( $k = 1$  to  $K$ ) do {

$y = (\alpha t/k) \cdot (y \cdot \hat{P});$

$\pi = \pi + y; \}$

$p_t = e^{-\alpha t} \cdot \pi;$

Methode anwendbar für endliche  $n$

(falls Vektoren und Matrizen gespeichert werden können)

Für unendliche Zustandsräume theoretisch exakte Berechnung,

- falls  $p_0$  nur endlich viele Zustandswahrscheinlichkeiten größer 0 enthält
- und  $\max_{i \in S} (|Q(i,i)|) < \infty$  bekannt,
- so werden für endliches  $t$  und Fehlerschranke  $\epsilon > 0$  auch nur endlich viele Zustände erreicht

⇒ in endlich vielen Schritten

mit endlichem Speicherplatz analysierbar

Dazu müssen aber Zustandsübergangsraten während der Laufzeit des Algorithmus generiert werden

⇒ keine Standardimplementierung möglich!

## 3.6.2 Absorbierende Markov-Prozesse

Absorbierender Markov-Prozess enthält einen ausgezeichneten Zustand  $n$ , aus dem keine Transitionen abgehen

$$Q = \begin{pmatrix} D_0 & d_1 \\ 0, \dots, 0 & 0 \end{pmatrix}$$

- $D_0 \in \mathbb{R}^{n-1, n-1}$  mit nicht-negativen Elementen außerhalb der Diagonalen und  $D_0 e^T \leq 0$   
(wobei  $e$  ein Vektor mit nur 1 ist)
- $d_1 \in \mathbb{R}_+^{n-1, 1}$ , so dass  $D_0 e^T + d_1 = 0$

Wir nehmen an, dass Zustand  $n$  von allen anderen Zuständen aus erreichbar ist

Sei  $p_0 \in \mathbb{R}^{1, n}$  die initiale Verteilung des absorbierenden Markov-Prozesses

Sei  $p_0(n) = 0$  und  $\pi_0$  der Subvektor der ersten  $n - 1$  Elemente von  $p_0$

Verhalten des absorbierenden Markov-Prozesses:

- Prozess startet mit Wahrscheinlichkeit  $\pi_0(i)$  im Zustand  $i$
- Für  $t \rightarrow \infty$  endet der Prozess mit absorbierenden Zustand

Analyse der Absorptionszeiten, d.h. der Zeit, bis Zustand  $n$  ausgehend von der Startverteilung erreicht ist

Sei  $m^k \in \mathbb{R}^{n-1,1}$ , der Vektor der bedingten  $k$ -ten Momente der Absorptionszeit, d.h.  $m^k(i)$  ist das  $k$ -te Moment der Absorptionszeit ausgehen von Zustand  $i$  und  $E[T^k]$  das  $k$ -te Moment der Absorptionszeit

Dann gilt

- $E[T^k] = p_0 \cdot m^k$  und
- $m^k = k (-D_0)^{-1} m^{k-1}$  mit  $m^0 = e^T$

Also Berechnung des  $k$ -ten Moments erfordert die Lösung von  $k$  Gleichungssystemen  $-D_0 m^k = k \cdot m^{k-1}$  der Ordnung  $n - 1$

Numerische Berechnung der Verteilungsfunktion der Absorptionszeit  $F(t)$

- Bestimme  $p_t$  ausgehend von  $p_0$  mittels der Randomisierung
- $F(t) = p_t(n)$

Anwendung absorbierender Markov-Prozesse:

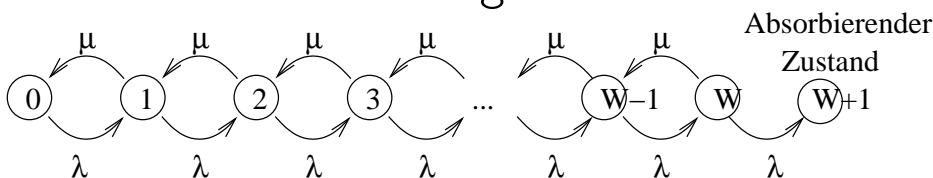
- Analyse von Phasenverteilungen
- Ermittlung detaillierten Zeiten in Modellen  
(Ausfallzeiten, Verweilzeiten, ...)

## Beispiel: Berechnung der Zeitverteilung, bis zum ersten Pufferüberlauf in einem M/M/1/W-System

Zum besseren Verständnis Beibehaltung der Zustandnummerierung nach Auftragszahl, also Zustand  $i \in \{0, \dots, W\}$  beschreibt das System mit  $i$  Aufträgen

Ablauf zur Berechnung der Verteilung bis zum ersten Überlauf

- Einführung eines absorbierenden Zustands  $n = W + 1$  zur Anzeige eines Überlaufs
- Zustandsübergangsdiagramm des neuen Prozesses:



- Eintritt in den absorbierenden Zustand zeigt ersten Überlauf an.

Mögliche Startverteilungen:

- Leeres System:  $p_0(0) = 1$  und  $p_0(i) = 0$  für  $i > 0$
- Stationäre Verteilung: Sei  $p_{MM1W}$  stationäre Verteilung eines M/M/1/W-Modells mit identischen Parametern, wähle  $p_0(i) = p_{MM1W}(i)$  für  $0 \leq i \leq W$  und  $p_0(W + 1) = 0$

Berechnung der Momente und Verteilungsfunktionswerte wie angegeben.



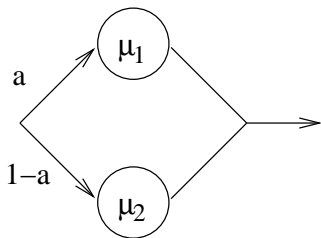
### 3.6.3 Phasenverteilungen

Markov-Prozesse basieren auf exponentiell verteilten Verweilzeiten in den Zuständen

Kann man trotzdem andere Verteilungen darstellen?

Ja, durch die Verwendung von Phasenverteilungen lassen sich (theoretisch fast alle) Verteilungen exakt oder beliebig genau repräsentieren

**Hyperexponentialverteilung:**



hier mit 2 Phasen ( $\mu_i > 0$  und  $0 \leq a \leq 1$ )

Es gilt:

- $E(T) = \frac{a}{\mu_1} + \frac{(1-a)}{\mu_2}$

- $E(T^2) = \frac{2a}{(\mu_1)^2} + \frac{2(1-a)}{(\mu_2)^2}$

- $$\begin{aligned} \sigma^2(T) &= E(T^2) - (E(T))^2 \\ &= \frac{a(2-a)}{(\mu_1)^2} + \frac{1-a^2}{(\mu_2)^2} - \frac{2a(1-a)}{\mu_1\mu_2} \end{aligned}$$

(Varianz)

- $$\begin{aligned} VK^2(T) &= \frac{\sigma^2(T)}{(E(T))^2} \\ &= \frac{a(2-a)(\mu_2)^2 + (1-a^2)(\mu_1)^2 - 2a(1-a)\mu_1\mu_2}{a^2(\mu_2)^2 + (1-a)^2(\mu_1)^2 + 2a(1-a)\mu_1\mu_2} \geq 1 \end{aligned}$$

(quadrierter Variationskoeffizient)

Mit 2 Phasen ist jeder Variationskoeffizient  $\geq 1$  erreichbar!

Zur Wahl der Parameter:

Wähle  $\mu_1$ ,  $\mu_2$  und  $a$  so, dass vorgegebene Werte für  $E(T)$  ( $> 0$ ) und  $VK^2(T)$  ( $\geq 1$ ) erreicht werden.

Drei Parameter und 2 Werte  $\Rightarrow$

ein Parameter kann in Grenzen frei gewählt werden

Annahme (üblicherweise) beide Phasen gleich ausgelastet, dann gilt

$$\frac{a}{\mu_1} = \frac{1-a}{\mu_2} \Leftrightarrow \mu_1 = \frac{a\mu_2}{1-a}$$

(andere Wahl z.B. Anpassung 3. Moment ist möglich)

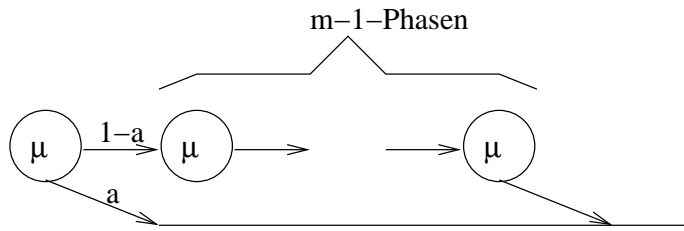
Wahl der Parameter

$$\bullet a = VK^2(T) \left( 1 - \sqrt{1 - \frac{2}{1+VK^2(T)}} \right)$$

$$\bullet \mu_1 = \frac{\left( 1 + \sqrt{1 - \frac{2}{1+VK^2(T)}} \right)}{E(T)}$$

$$\bullet \mu_2 = \frac{\left( 1 - \sqrt{1 - \frac{2}{1+VK^2(T)}} \right)}{E(T)}$$

## Verallgemeinerte Erlang-Verteilung:



mit den Parametern  $\mu > 0$  und  $0 \leq a \leq 1$

Es gilt

- $E(T) = \frac{1+(1-a)(m-1)}{\mu}$
- $E(T^2) = \frac{m(1-a+m(1-a))+2a}{\mu^2}$
- $\sigma^2(T) = \frac{m-3ma+m^2a+2a-m^2a^2+2a^2-a^2}{\mu^2}$
- $VK^2(T) = \frac{m-3ma+m^2a+2a-m^2a^2+2ma^2-a^2}{(ma-m-a)^2}$   
 es gilt  $1/m \leq VK^2(T) \leq 1$

Bei gegebenen  $E(T)$  und  $VK^2(T)$  ( $< 1$ ) wähle

- $m = \lceil 1/VK^2(T) \rceil$
- $a = \frac{m+2VK^2(T)m-2-\sqrt{m^2-4VK^2(T)m-4}}{2(VK^2+1)(m-1)}$
- $\mu = \frac{1+a(m-1)}{E(T)}$

Damit eindeutige Festlegung einer Phasenverteilung bei gegebenem ersten und zweiten Moment

Wachsende Phasenzahl bei Verkleinerung des Variationskoeffizienten

Anpassung weiterer Momente oder der Dfkt./Vfkt. mit allgemeinen Phasenverteilungen

Interpretation der Verteilung als absorbierender Markov-Prozess

- Transitionsraten definieren Matrix  $Q$  mit  $n$  Zuständen bei  $n - 1$  Phasen
  - implizit dadurch definiert  $D_0$ ,  $d_1$  und Startvektor  $\pi = p_0$
- Absorptionszeit ist äquivalent zur dargestellten Verteilung

Parameteranpassung

- durch Anpassung weiterer Momente
  - Lösung nichtlinearer Gleichungssysteme
  - Verfahren für dritte Momente bekannt, höhere Momente kaum berücksichtigt
- durch Anpassung der Verteilungsfunktion an beobachtete Stichprobe mit Werten  $(t_1, \dots, t_K)$ 
  - finde für vorgegebene Phasenzahl  $n - 1$  die Parameter so, dass  $\prod_{k=1}^K \pi e^{D_0 t_k} d_1$  maximiert wird
  - komplexes nichtlineares Optimierungsproblem, im allgemeinen Fall kaum effizient lösbar
  - für eingeschränkte Klassen (z.B.  $D_0$  obere Dreiecksmatrix) existieren iterative Optimierungsalgorithmen, die akzeptable Ergebnisse liefern

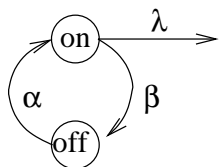
## Ankunftsprozesse:

Bisherige Modelle erzeugen unabhängig, identisch verteilte Realisierungen

Viele reale Prozesse (z.B. Ankunftsprozesse an Web-Servern) weisen Korrelationen auf

Anpassung durch Phasenverteilungen, bei denen die Anfangsverteilung vom Abgangszustand abhängt

## Spezialfall: Interrupted Poisson Prozess (IPP)



- Markov-Prozess wechselt zwischen Zuständen on und off
  - Im Zustand off keine Ankünfte
  - Im Zustand on Poisson Ankunftsprozess mit Rate  $\lambda$
- ⇒ bei entsprechender Parametrisierung burst-Ankünfte

Darstellung Matrix  $D_0$  und  $D_1$  (Zustandsübergang nach Ankunft)

$$D_0 = \begin{pmatrix} -\beta - \lambda & \beta \\ \alpha & -\alpha \end{pmatrix} \text{ und } D_1 = \begin{pmatrix} \lambda & 0 \\ 0 & 0 \end{pmatrix}$$

Zustandsverteilung:

$$p(1) = \alpha / (\alpha + \beta) \text{ und } p(2) = \beta / (\alpha + \beta)$$

Mittlere Zeit zwischen zwei Ankünften:  $(\alpha + \beta) / (\alpha \cdot \lambda)$

## Markov Modulierter Poisson Prozess (MMPP):

Verallgemeinerung des IPP mit  $n - 1$  Zuständen:

Matrix  $D_0$  ist eine  $n - 1 \times n - 1$  Matrix mit

- nicht negativen Elementen außerhalb der Diagonalen
- negativen Diagonalelementen, so dass  $D_0 e^T \leq 0$

$D_1$  ist eine  $n - 1 \times n - 1$  Matrix mit

- nicht negativen Elementen
- $(D_0 + D_1)$  ist irreduzibel und hat Zeilensumme 0

Analyse von MMPPs über absorbierende Markov-Prozesse

Bestimmung der initialen Verteilung:

Initiale Verteilung direkt nach einer beliebigen Ankunft:

$$\pi_a = p D_1 / (p D_1 e^T) \text{ mit } p(D_0 + D_1) = 0 \text{ und } p e^T = 1.0$$

(stationäre Lösung eindeutig, da  $D_0 + D_1$  Matrix eines ergodischen Markov-Prozesses)

- Berechnung der Momente:  $E(T^k) = \pi_a \cdot m^k$   
mit  $m^k = k! \cdot \left( (-D_0)^{-1} \right)^k e^T$
- Berechnung der Verteilungsfkt.  $F(t) = 1 - \pi_a e^{D_0 t} e^T$   
(Berechnung mittels Randomisierung)

Da Zeiten nicht unabhängig sind, liefert Beobachtung einer Sequenz von Ankünften Informationen über zukünftiges Verhalten  
Annahme: Es wurden Ankünfte zu den Zeitpunkten  $t_1, \dots, t_K$  beobachtet

Startverteilung zur Berechnung der Zeit bis zur Ankunft  $K + 1$ :

$$p_0 = \left( \pi_a \prod_{k=1}^K e^{D_0 t_k} D_1 \right) / \left( \pi_a \prod_{k=1}^K e^{D_0 t_k} D_1 e^T \right)$$

Berechnung von  $\pi e^{D_0 t}$  mittels Randomisierung siehe Folie 91

### Markovsche Ankunftsprozesse (MAPs):

- Verallgemeinerung von MMPPs
- Matrix  $D_1$  ist eine beliebige nicht negative Matrix
- $D_0 + D_1$  ist Generator-Matrix eines ergodischen Markov-Prozesses

MAPs sind sehr allgemeine Klasse von Modellen, die komplexe Ankunftsprozesse modellieren können

Parametrisierung von MAPs bzgl. gemessener Daten ist komplexes nichtlineares Optimierungsproblem, welches nur für kleinere Zustandszahlen oder spezielle Strukturen beherrscht wird.

Jeder IPP oder MMPP ist auch ein MAP

## 3.6.4 Analyse von MAP/PH/1-Modellen

Phasenverteilungen und MAPs können zur Modellierung komplexer Verteilungen und Prozesse eingesetzt werden

⇒ es entsteht ein Markov-Prozess

Bei endlichem Zustandsraum numerische Analyse eines linearen Gleichungssystems (stationäre Analyse) oder Randomisierung (transiente Analyse)

Praktische Probleme durch Zustandsraumexplosion:

- Ersetzung einer Exponentialverteilung durch eine Phasenverteilung mit  $n$  Phasen vergrößert den Zustandsraum um den Faktor  $n$
- Bei Ersetzung mehrerer Verteilungen multiplizieren sich die Faktoren
- Mit heutigen Methoden können Gleichungssysteme mit bis zu  $10^7$  Zuständen auf einem üblichen PC analysiert werden

Analyse von Systemen mit unendlichem Zustandsraum nur bei Vorliegen einer regelmäßigen Struktur (siehe M/M/..)

Allgemeines Modell: MAP/PH/1

- MAP als Ankunftsprozess, PH Bedienzeitverteilung
- 1 Bediener und unendliche Warteraumkapazität





Aufbau der Matrizen im Beispiel:

$$A_1 = \begin{pmatrix} -\alpha - \lambda & \alpha \\ \beta & -\beta \end{pmatrix}, A_0 = \begin{pmatrix} a\lambda & (1-a)\lambda & 0 & 0 \\ 0 & 0 & 0 & 0 \end{pmatrix}$$

$$A_2 = \begin{pmatrix} \mu_1 & 0 \\ \mu_2 & 0 \\ 0 & \mu_1 \\ 0 & \mu_2 \end{pmatrix}, B_0 = \begin{pmatrix} \lambda & 0 & 0 & 0 \\ 0 & \lambda & 0 & 0 \\ 0 & 0 & 0 & 0 \\ 0 & 0 & 0 & 0 \end{pmatrix}$$

$$B_1 = \begin{pmatrix} -\mu_1 - \alpha - \lambda & 0 & \alpha & 0 \\ 0 & -\mu_2 - \alpha - \lambda & 0 & \alpha \\ \beta & 0 & -\mu_1 - \beta & 0 \\ 0 & \beta & 0 & -\mu_2 - \beta \end{pmatrix}$$

$$B_2 = \begin{pmatrix} a\mu_1 & (1-a)\mu_1 & 0 & 0 \\ a\mu_2 & (1-a)\mu_2 & 0 & 0 \\ 0 & 0 & a\mu_1 & (1-a)\mu_1 \\ 0 & 0 & a\mu_2 & (1-a)\mu_2 \end{pmatrix}$$

Systematische Generierung der Matrizen aus den Matrizen der Ankunfts- und Bedienzeitverteilung

Analyse des Systems:

- Annahme: mittlere Ankunftsrate  $<$  mittlere Bedienrate

Sei  $\pi = (\pi_0, \pi_1, \dots)$  der stationäre Verteilung

( $\pi_k$  ist die Verteilung mit Population  $k$  im System)

Sei  $n$  die Dimension der quadratischen Matrix  $A_1$  und  $n \cdot m$  die Dimension der quadratischen Matrix  $B_1$

(dann ergeben sich automatisch die Dimensionen der restlichen Matrizen)

Weitere Annahme:

- Es existiere eine  $nm \times nm$  Matrix  $R$ , so dass  $\pi_{k+1} = \pi_k R$  für  $k \geq 1$

Bei Einsetzen dieser Beziehung für einen Block  $k (> 1)$ :

$$\pi_k B_1 + \pi_{k-1} B_0 + \pi_{k+1} B_2 = 0 \quad \Rightarrow$$

$$\pi_{k-1} (B_0 + R B_1 + R^2 B_2) = 0$$

Diese Gleichung ist offensichtlich erfüllt, wenn

$$B_0 + R B_1 + R^2 B_2 = 0$$

Man kann nun zeigen (ohne dass wir es im Detail tun werden), dass eine minimale positive Matrix  $R$  mit Spektralradius  $< 1$  existiert, welche die Gleichung erfüllt

Damit gilt für  $R$ :  $\lim_{k \rightarrow \infty} R^k = 0$  und damit  $\lim_{k \rightarrow \infty} \pi_k = 0$   
(wie zu erwarten)

Angenommen wir kennen  $R$ , dann gilt  $\pi_k = \pi_1 R^{k-1}$

Bleibt noch die Berechnung von  $\pi_0$  und  $\pi_1$

Aus den Flussgleichungen folgt:

$$\pi_0 A_1 + \pi_1 A_2 = 0 \Rightarrow \pi_0 = \pi_1 A_2 (-A_1)^{-1}$$

$\pi_1$  kann aus folgendem Gleichungssystem berechnet werden:

$$\pi_0 A_0 + \pi_1 B_1 + \pi_2 B_2 = 0 \Rightarrow$$

$$\pi_0 A_0 + \pi_1 (B_1 + R B_2) = 0 \Rightarrow$$

$$\pi_1 (A_2 (-A_1)^{-1} A_0 + B_1 + R B_2) = 0$$

Das Gleichungssystem hat Rang  $nm - 1$ ,

d.h.  $\pi_1$  kann bis auf einen Faktor berechnet werden

Dieser Faktor wird dadurch festgelegt, dass die Summe der

Wahrscheinlichkeiten 1 sein muss:

$$\sum_{k=0}^{\infty} \pi_k e^T = 1 \Rightarrow$$

$$\pi_1 \left( A_2 (A_1)^{-1} + \sum_{k=0}^{\infty} R^k \right) e^T = 1 \Rightarrow$$

$$\pi_1 \left( A_2 (A_1)^{-1} + (I - R)^{-1} \right) e^T = 1$$

Liefert die fehlende Gleichung, so dass  $\pi_1$  und damit alle Vektoren  $\pi_k$  exakt berechnet werden können!

Bleibt noch die Berechnung der Matrix  $R$ :

Zentraler Schritt der Analyse

Hier Vorstellung eines Basisverfahrens,

bessere Methoden existieren

Umstellen der Gleichung für  $R$  liefert:

$$R = (B_0 + R^2 B_2)(-B_1)^{-1}$$

Die resultierenden Fixpunktgleichung

$$R_{l+1} = \left( B_0 + (R_l)^2 B_2 \right) (-B_1)^{-1}$$

mit  $R_0 = 0$  konvergiert gegen Matrix  $R$

Verfahren kann auf weitere ähnliche Modelle erweitert werden:

- $MAP/PH/m$ -Systeme
- $GI/PH/1$ -Systeme
- $MAP/GI/1$ -Systeme

Analyse ähnlich, aber i.d.R. aufwändiger

## 3.7 Zuverlässigkeit und Verfügbarkeit

Bisher wurde die Leistung von Systemen analysiert, ein weiterer Aspekt ist die Verfügbarkeit der angebotenen Dienste. Unverfügbarkeit über einen längeren Zeitraum kann desaströse Konsequenzen haben

(Verlust an Aufträgen, Umsatz, Gewinn, ...)

Gründe für Unverfügbarkeit von Diensten

- Hardware-Fehler
- Netzwerkprobleme
- Software-Fehler
- Denial of Service Angriffe

⇒ viele Aspekte werden berührt

(Hardware, Software, Sicherheit ...)

⇒ Zusammenfassung unter dem Term *dependability*

Hier eine kurze Einführung

3.7.1 Grundlagen der Systemzuverlässigkeit

3.7.2 Verfügbarkeit von Komponenten und Systemen

3.7.3 Detaillierte Modellierung des Ausfallverhaltens

3.7.4 Verfügbarkeit und Leistung

## 3.7.1 Grundlagen der Systemzuverlässigkeit

Taxonomie zur Klassifizierung von Fehlern

- Dauer
  - Permanente Fehler
  - Behebbarer Fehler
  - Transiente Fehler
- Effekt
  - Funktionaler Fehler
  - Quantitativer Fehler (Leistungsreduktion)
- Umfang
  - Partieller Fehler
  - Totaler Fehler

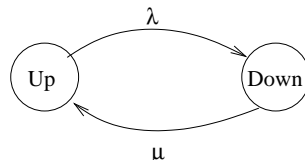
Verfügbarkeit = Prozentualer Anteil der Zeit,  
in der das System verfügbar ist

Zugehörige Zeiten

- MTBF Mean Time Between Failure
- MTTF Mean Time To Failure
- MTTR Mean Time To Repair
- $MTBF = MTTF + MTTR$

Klasse	Verfügbarkeit	Unverfügbar. (Min./Jahr)	System- typ
1	90.0%	52560	Unmanaged
2	99.0%	5256	Managed
3	99.9%	526	Well-Managed
4	99.99%	52.6	Fault-Tolerant
5	99.999%	5.3	Highly Available
6	99.9999%	0.53	Very Highly Available
7	99.99999%	0.053	Ultra Available

Einfaches Modell einer Komponente mit Fehlern und Reparatur



$$\lambda = \frac{1}{MTTF} \text{ und } \mu = \frac{1}{MTTR}$$

Flussgleichgewicht liefert:  $\lambda \cdot p_{up} = \mu \cdot p_{down}$

$p_{up}$  und  $p_{down}$  sind die Wahrscheinlichkeiten,

dass das System im Zustand up bzw. down ist

Da  $p_{up} + p_{down} = 1$  gilt

$$\text{Verfügbarkeit: } A = p_{up} = \frac{\lambda}{\lambda + \mu}$$

$$\text{Unverfügbarkeit: } U = p_{down} = \frac{\mu}{\lambda + \mu}$$

i.a. MTTR leichter zu verkleinern, als MTTF zu vergrößern



## 3.7.2 Verfügbarkeit von Komponenten und Systemen

Systeme bestehen aus Komponenten  $\Rightarrow$

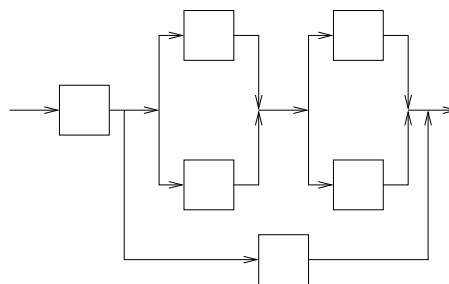
Systemzuverlässigkeit ergibt sich aus  
Komponentenzuverlässigkeit

Systemzuverlässigkeit = Wahrscheinlichkeit, dass ein System  
während eines vorgegebene Intervalls durchgängig  
verfügbar ist

Typische Abhängigkeiten:

- serielle Abhängigkeit (wenn eine Komponente ausfällt, arbeitet das gesamte System nicht mehr)
- parallele Abhängigkeit (wenn alle Komponenten ausgefallen sind arbeitet das System nicht mehr)
- Kombinationen aus serieller und paralleler Abhängigkeit

Darstellung als Zuverlässigkeitsblockdiagramm:



System ist verfügbar,  
wenn ein Pfad durch das Diagramm existiert!

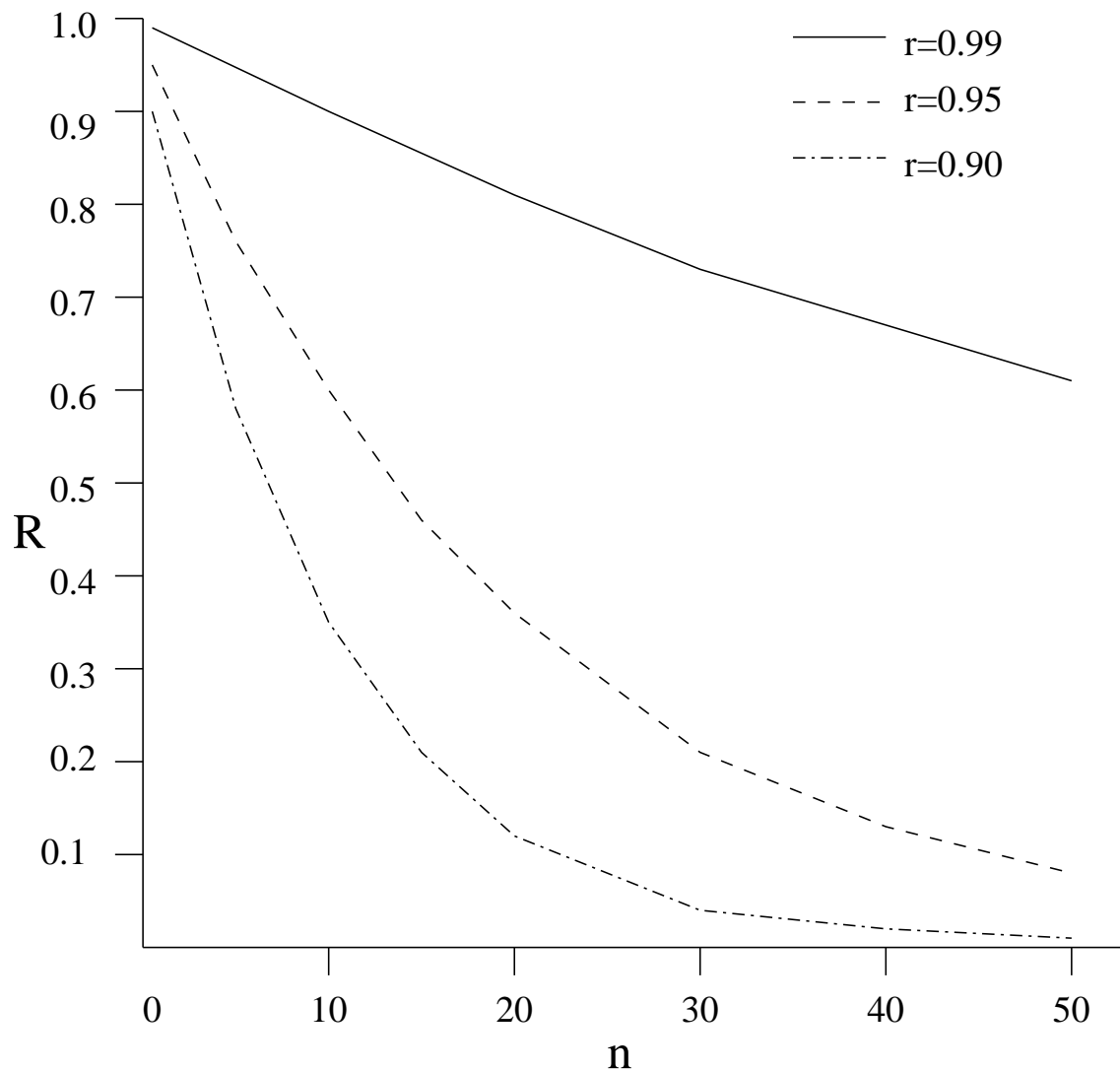
## Serielle Abhängigkeit:

$R_s$  = Systemverfügbarkeit

$r_i$  = Verfügbarkeit Komponente  $i$

Es gilt  $R_s = \prod_{i=1}^n r_i$  für ein System mit  $n$  Komponenten

Verlauf der Systemverfügbarkeit für  $r_i = r$

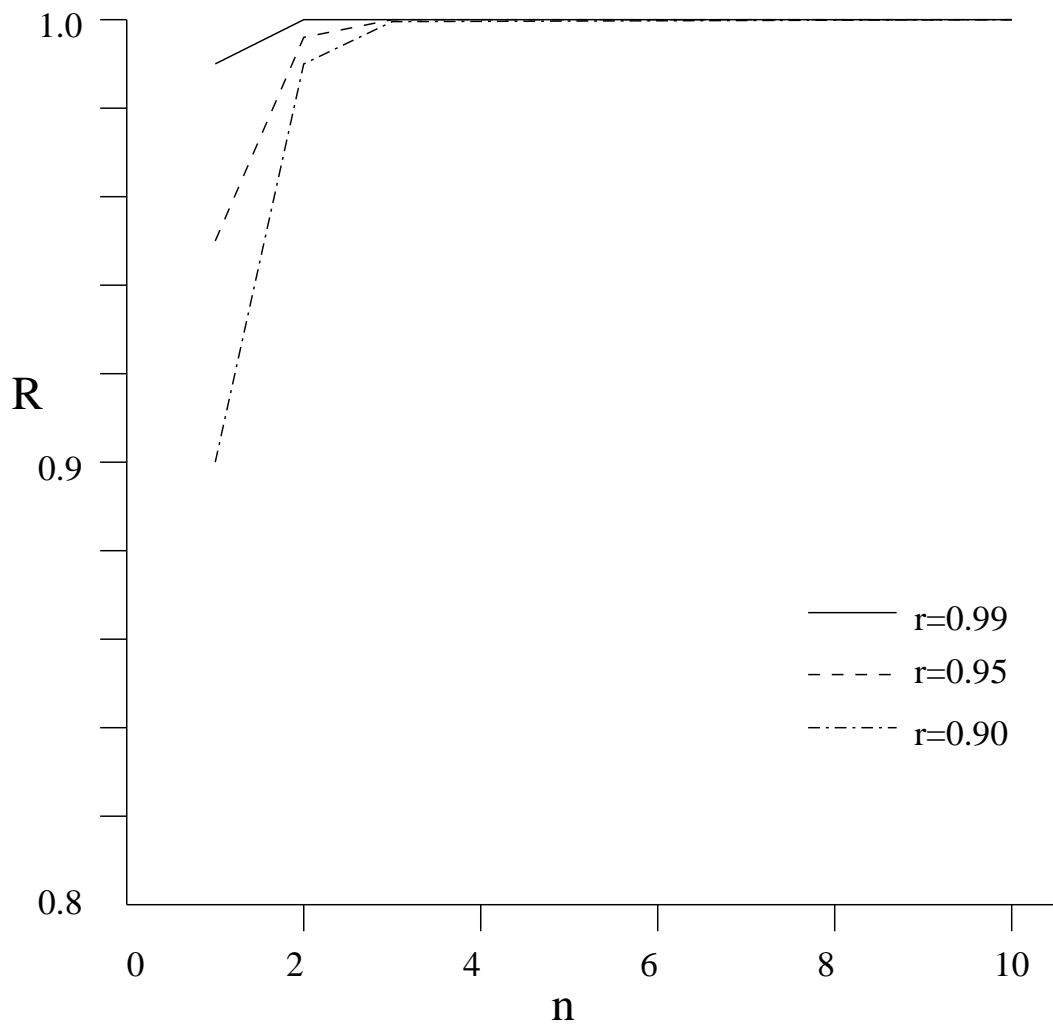


## Parallele Abhängigkeit:

Es gilt  $R_s = 1 - \prod_{i=1}^n (1 - r_i)$

für ein System mit  $n$  Komponenten

Verlauf der Systemverfügbarkeit für  $r_i = r$



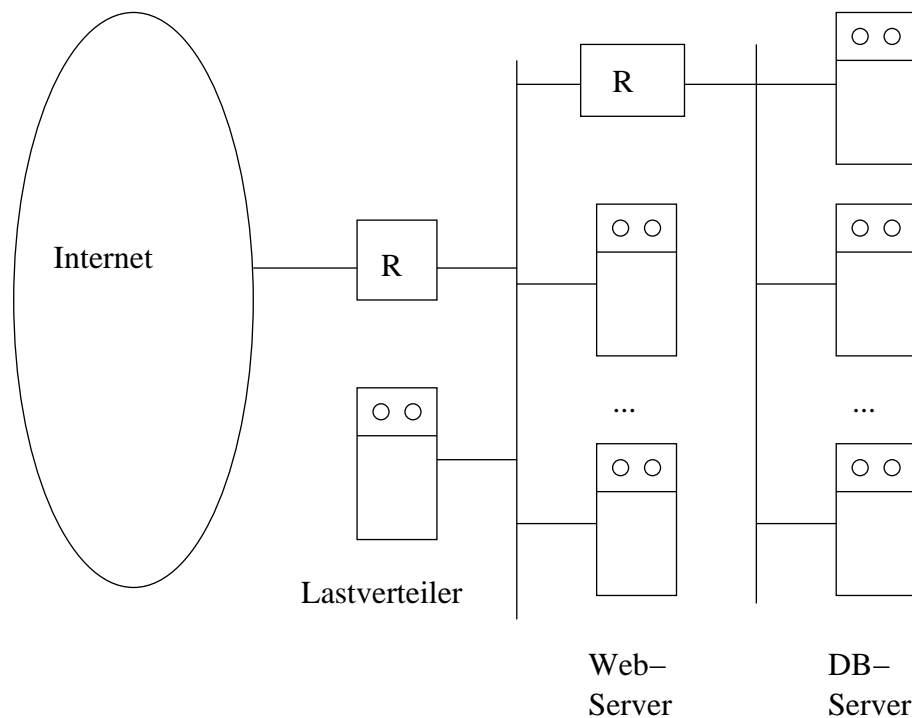
Minimale Anzahl von parallelen Komponenten  $n_{\min}$ , um Systemverfügbarkeit  $R_p$  bei Komponentenverfügbarkeit  $r$  zu erreichen:  $n_{\min} = \left\lceil \frac{\ln(1-R_p)}{\ln(1-r)} \right\rceil$

## Ein Beispiel:

Online-Broker, der die üblichen Transaktionen (Kauf und Verkauf von Aktien, Optionen, ..., Depotverwaltung etc.) über einen Web-Server abwickelt

Anforderung Verfügbarkeit **99.99%**

Server-Architektur des Brokers

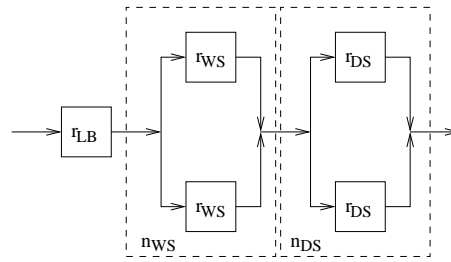


$n_{WS}$  Web-Server und  $n_{DS}$  DB-Server

Für beide Server sind hoch-zuverlässige und teurere Systeme (Verfügbarkeit **99.9%**) und billigere Standardsysteme (Verfügbarkeit **85%**) einsetzbar

Zentrale Frage: Wie kann die geforderte Verfügbarkeit möglichst kostengünstig erreicht werden?

Zuverlässigkeitsblockdiagramm für das System  
(vereinfacht, da Netzelemente nicht modelliert)



Für die Verfügbarkeit des Gesamtsystems gilt:

$$R_s = r_{LB} \cdot R_{WS} \cdot R_{DS}$$

$$= r_{LB} \cdot [1 - (1 - r_{WS})^{n_{WS}}] \cdot [1 - (1 - r_{DS})^{n_{DS}}]$$

Lastverteiler muss sehr zuverlässig sein,

um  $R_s = 0.9999$  überhaupt erreichen zu können!

⇒ sei  $r_{LB} = 0.99999$

Damit gilt  $0.99991 = [1 - (1 - r_{WS})^{n_{WS}}] \cdot [1 - (1 - r_{DS})^{n_{DS}}]$

Einige mögliche Konfigurationen:

Konfiguration	$r_{WS}$	$r_{DS}$	$n_{WS}$	$n_{DS}$	$R_s$
le WS/le DS	0.850	0.850	6	5	99.990%
le WS/he DS	0.850	0.999	5	2	99.991%
he WS/he DS	0.999	0.999	2	2	99.999%

Auswahl hängt ab, von

- den Kosten der einzelnen Konfigurationen
- weiterer Zuverlässigkeits- und Sicherheitskriterien
- der jeweils erreichbaren Leistung

## 3.7.3 Detaillierte Modellierung des Ausfallverhaltens

Bisherige Modellierung ging von unabhängigen Ausfällen aus, war dann aber unabhängig von der Verteilung der Ausfall- und Reparaturzeiten anwendbar

Hier nun eine die Beschreibung komplexerer Modelle

Annahmen:

- Ausfall- und Reparaturzeiten lassen sich durch Phasenverteilungen modellieren
- Ausfälle können korreliert sein
- Reparaturen werden von Reparatereinheiten durchgeführt, die nur in beschränkte Anzahl zur Verfügung stehen

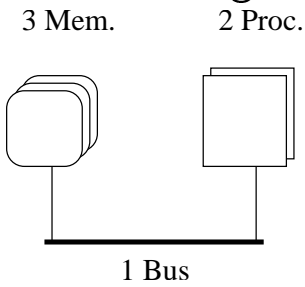
⇒ System lässt sich auf einen Markov-Prozess abbilden

⇒ resultierender Markov-Prozess lässt sich bzgl. stationärer oder transienter Maße analysieren  
(siehe Kap. 3.6.1 und 3.6.2)

Vorstellung des Vorgehens an Hand einiger Beispiele

Beispiel:

Berechnung der Zeit bis zum ersten Ausfall eines Rechensystems



System besteht aus

- 1 Bus mit Ausfallrate  $1.0e - 6$  und Reparaturrate 1.0
- 2 Prozessoren mit Ausfallrate  $2.0e - 4$  und Reparaturrate 0.5
- 3 Speicherbausteinen mit Ausfallrate  $5.0e - 4$  und Reparaturrate 0.3

Weitere Festlegungen

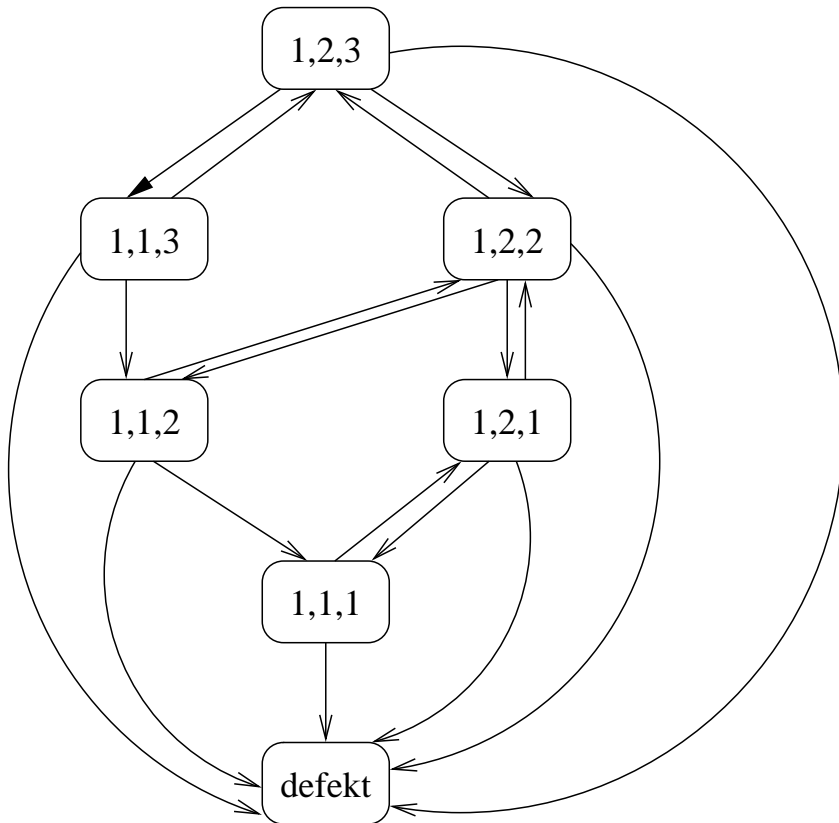
- das System ist funktionsfähig, solange ein Prozessor, ein Speicherbaustein und der Bus verfügbar sind
- wenn das System nicht funktionsfähig ist, so wird es abgeschaltet und es können keine weiteren Komponenten ausfallen
- Ausfall- und Reparaturzeiten seien exponentiell verteilt

Reparaturen werden von einer Reparatereinheit ausgeführt, die mit unterbrechenden Prioritäten arbeitet, zuerst wird der Bus, dann werden die Prozessoren und zuletzt die Speicherbausteine repariert

Ziel: Bestimmung der Verteilung/Momente der Zeit bis zum ersten Systemausfall ausgehend vom System, in dem alle Komponenten funktionsfähig sind

Zustandsübergangsgraph

ohne Angabe der Transitionsraten!



Zustandsbeschreibung (B,P,M) =

Anzahl verfügbarer Busse, Prozessoren und Speicherbausteine

Analyse der Zeit bis zum Systemausfall wie beschrieben durch

- Berechnung der Momente der Absorptionszeit
- Berechnung der Verteilung der Absorptionszeit

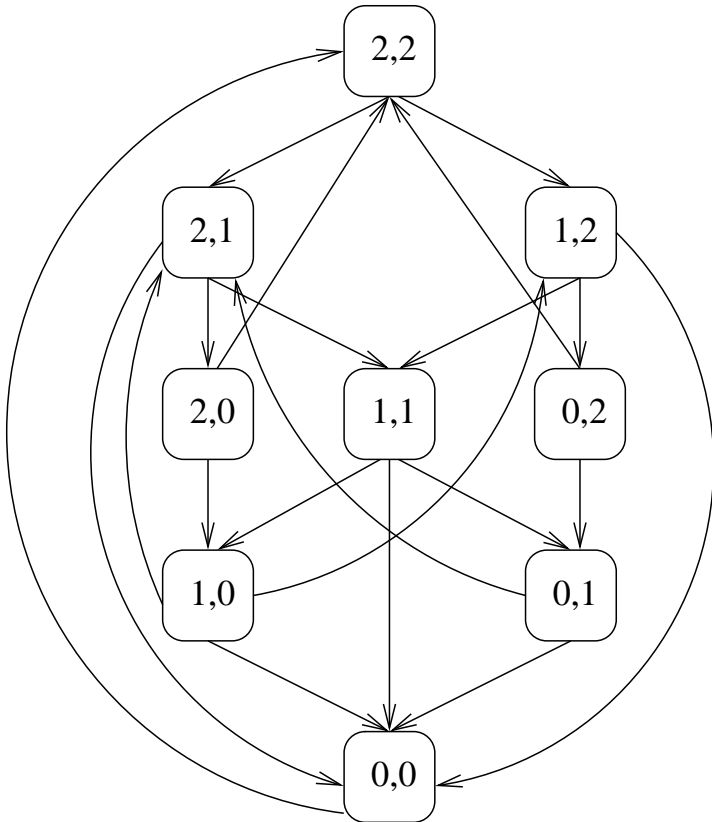


Berechnung der mittleren Verfügbarkeit eines Systems:

- System besteht aus 2 Komponenten, deren Ausfallzeiten Erlang 2 verteilt sind mit Mittelwert  $(2/\mu_i)$  ( $i = 1, 2$ )
- Fällt eine Komponente aus, so wird mit Wahrscheinlichkeit  $c$  die zweite Komponente im Mitleidenschaft gezogen und fällt ebenfalls aus
- Komponenten werden von einer Reparatereinheit repariert, die Reparaturzeiten sind exponentiell verteilt
- Falls nur eine Komponente ausgefallen ist, dauert die Reparatur im Mittel  $\lambda^{-1}$  Zeiteinheiten
- Falls beide Komponenten ausgefallen sind, so werden beide gleichzeitig repariert, die Reparatur dauert dann im Mittel  $2/\lambda$  Zeiteinheiten
- Das System ist funktionsfähig, solange mindestens eine Komponente arbeitet, das System ist damit verfügbar, wenn eine Komponente verfügbar ist

Zustandsbeschreibung  $(s_1, s_2)$  mit  $s_i \in \{0, 1, 2\}$  wobei  
 $s_i = 1, 2$ : Komponente  $i$  befindet sich in der  $i$ ten Ausfallphase  
 $s_i = 0$ : Komponente  $i$  ist ausgefallen

Zustandsübergangsgraph



⇒ Aufbau der Generatormatrix  $Q$

Lösung von  $pQ = 0$  und  $pe^T = 1.0$

1.0 - Wahrscheinlichkeit Zustand (0,0) entspricht  
der mittleren Verfügbarkeit

### 3.7.4 Verfügbarkeit und Leistung

Leistung ist abhängig von der Zuverlässigkeit eines Systems und auch von der verfügbaren Konfiguration

Analyse muss beides berücksichtigen,

- Verfügbarkeit des Dienstes und
- Leistung mit der ein Dienst erbracht wird (evtl. ohne SLAs einzuhalten)

Beispiel:

Web-Server bestehend aus  $n$  Servern,

die jeweils verfügbar oder defekt sein können

Ankunftsrate von Anfragen  $\lambda$  Anf./Sek.

⇒ bei  $k$  verfügbaren Servern Ankunftsrate pro Server  $\lambda/k$

⇒ Leistungsmaße wie Antwortzeit hängt von der Zahl der verfügbaren Server ab

Kombinierte Analyse von Leistung und Zuverlässigkeit

⇒ *Performability* Analyse

Analyse in drei Schritten

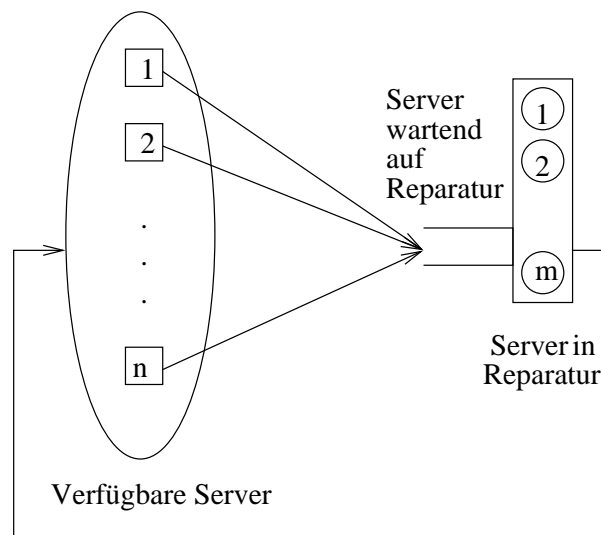
1. Analyse der Zuverlässigkeit
2. Analyse der Leistung für alle möglichen Konfigurationen
3. Kombination der Ergebnisse

# Zuverlässigkeitsanalyse

## Basismodell der Zuverlässigkeitsanalyse

- $n$  Server
- jeder Server fällt mit Rate  $1/MTTF$  aus
- bis zu  $m$  Server können gleichzeitig repariert werden
- die Reparaturrate eines Servers beträgt  $1/MTTR$

## Darstellung des Zuverlässigkeitsmodells

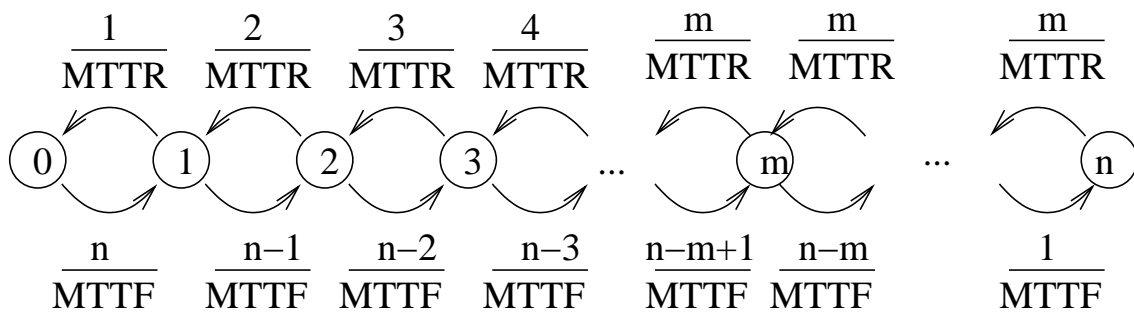


Hier vorausgesetzt:

Annahmen der operationalen Analyse gelten bzw. Ausfall- und Reparaturzeiten sind exponentiell verteilt

⇒ Modell ist eine spezielle Form des M/M/m Systems  
mit endlicher Population und  
lastabhängiger Bedienrate (siehe Folie 24)

## Zustandsübergangsdigramm



Sei  $\rho = MTTR/MTTF$ , dann gilt

$$p_k = \begin{cases} p_0 \rho^k \binom{n}{k} & k = 1, \dots, m \\ \frac{p_0 \rho^k n!}{m!(n-k)! m^{k-m}} & k = m+1, \dots, n \end{cases}$$

wobei  $p_k$  die Wahrscheinlichkeit für  $k$  defekte Server ist

Auf Grund der Normierungsbedingung gilt ferner

$$p_0 = \left[ \sum_{k=0}^m \rho^k \binom{n}{k} + \frac{n!}{m!} \sum_{k=m+1}^n \frac{\rho^k}{(n-k)! m^{k-m}} \right]^{-1}$$

Aus den Wahrscheinlichkeiten lassen sich die

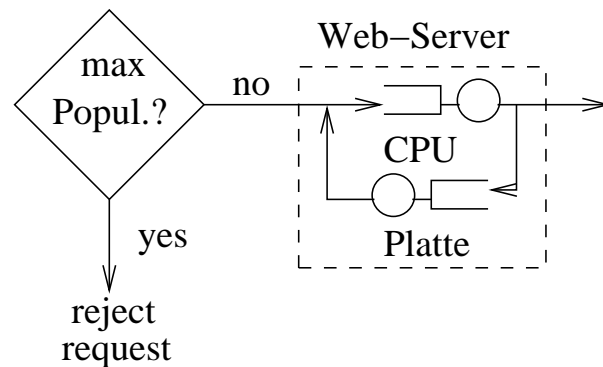
Zuverlässigkeitsmaße berechnen:

- Verfügbarkeit  $A = 1 - p_n$
- Durchschnittliche Zahl verfügbarer Server

$$\bar{N}_{up} = \sum_{k=0}^{n-1} (n-k) \cdot p_k$$

## Leistungsanalyse

### Modell eines einzelnen Web-Servers



Jeder Web-Server kann bis zu

- $r$  Anfragen gleichzeitig bearbeiten
- weitere Anfragen werden abgewiesen

Vorgehen bei der Leistungsanalyse:

- Analysiere den Web-Server als geschlossenes Modell für feste Populationen  $l = 1, \dots, r$   
(d.h. Aufträge, die den Server verlassen betreten ihn auch sofort wieder, siehe auch Kap. 3.7.2)  
 $\Rightarrow$  Durchsatz  $X(l)$  mit  $l$  Aufträgen
- Analysiere für  $k = 1, \dots, n$  ein M/M/.. Modell mit Kapazität  $r$ , Ankunftsrate  $\lambda/k$  und lastabhängiger Bedienrate  $\mu_l = X(l)$  (siehe 3.1.3)  
 $\Rightarrow$  Durchsatz  $X_0^k$ , Antwortzeit  $R_0^k$ , Population  $N_0^k$  und Verlustwahrscheinlichkeit  $p_{loss}^k$

## Performability Analyse

### Kombination der Resultate

der Zuverlässigkeits- und der Leistungsanalyse

- Gesamtdurchsatz:  $X_0 = \sum_{k=1}^n X_0^k \cdot p_{n-k}$
- Verlustwahrscheinlichkeit  $p_{loss} = 1 - \frac{X_0}{\lambda}$
- Mittlere Antwortzeit  $R_0 = \sum_{k=1}^n R_0^k \cdot p_{n-k}$
- Mittlere Population  $N_0 = \sum_{k=1}^n N_0^k \cdot p_{n-k}$

⇒ da die Zeitkonstanten des Leistungsmodells und des Zuverlässigkeitsmodells sich deutlich unterscheiden, liefert das Vorgehen genaue Resultate (sofern die Resultate der beiden Analyseschritte genau sind)

## 3.8 Erweiterte Analysetechniken

Es existieren zahlreiche Erweiterungen der exakten Analyse von Produktformnetzen

Primäre Zielrichtungen:

1. Approximative Analyse von Nichtproduktformnetzen  
(Erweiterung der Modellklasse)
2. Approximative Analyse sehr großer Netze  
(Effizienzsteigerung)

zu 1. wurden bereits erste Ansätze eingeführt

(Mehrklassennetze für Verteilungen mit *heavy tails*,  
Berücksichtigung von *bursts* durch Justierung der  
Ankunftsrate)

Oft auftretende Charakteristika,

die bisher nicht behandelbar sind:

- FCFS Bediener mit klassenspezifischer Bedienzeit
- Prioritäten bei der Bedienung
- Simultane Belegung von Ressourcen
- Zugangsbeschränkungen zu Teilsystemen



Ansätze zur Behandlung dieser Charakteristika

- Erweiterungen der Mittelwertanalyse
- Dekomposition und Aggregation

zu 2.

Im wesentlichen Schrankenberechnung  
relevant für geschlossene Netze mit

- großer Population
- vielen Stationen

also keine "exakten Resultate"

sondern obere und untere Schranken für Leistungsmaße

Struktur des Kapitels

3.8.1 Flussäquivalente Aggregation

3.8.2 Anwendungsbeispiele Aggregation

3.8.3 Approximative Analyse von  
Nichtproduktformnetzen

3.8.4 Simultane Ressourcenbelegung

3.8.5 Schrankenberechnung

3.8.6 Grenzen der Modellierung mit Warteschlangennetzen

## 3.8.1 Flussäquivalente Aggregation

### Basis:

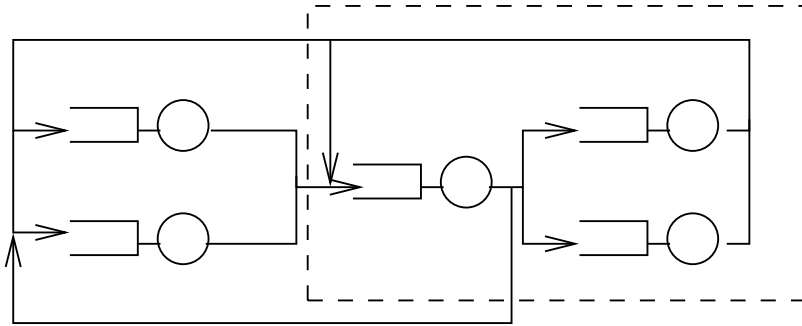
Ersetzung eines Teilnetzes durch  
eine lastabhängige Station

- exakte Resultate für Produktformnetze
- oftmals gute Approximation für allgemeine Netze
- Basis für hybride Analysen  
(d.h. Mischung unterschiedlicher Techniken)

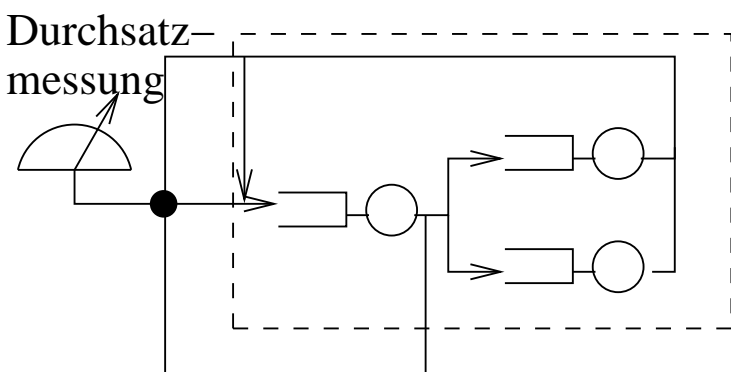
Vorgehen bei der flussäquivalenten Aggregation

1. Dekomposition des Netzes in Teilnetz und Rest
2. Isolierte Analyse des Teilnetzes für alle möglichen Populationen und Bestimmung der lastabhängigen Durchsätze
3. Definition Aggregat als lastabhängige Station mit  
Bedienrate = lastabhängiger Teilnetzdurchsatz
4. Einbindung Aggregat in Umgebung
5. Analyse aggregiertes Gesamtnetz

# Einklassenfall



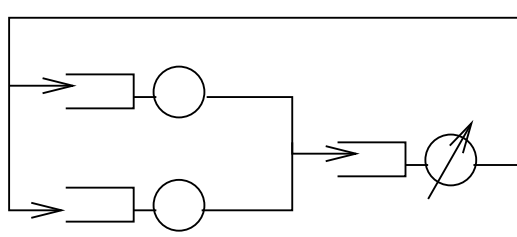
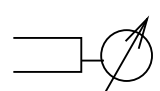
Dekomposition



Voranalyse für 1..N



Aggregation



Aggregiertes Modell

## Algorithmisches Vorgehen

Kontext der Mittelwertanalyse  $\Rightarrow$

Topologie des Teilnetzes spielt keine Rolle

Analyse auf Basis der relativen Besuchshäufigkeiten!

Also

- Netz mit Stationen  $1, \dots, K$  und Population  $N$
- Aggregation der Stationen  $L + 1, \dots, K$
- Aggregiertes Netz mit Stationen  $1, \dots, L$  plus  
Aggregat  $L + 1$

## Voranalyse

Stationen  $L + 1, \dots, K$  definieren geschlossenes Netz

mit Bedienbedarf  $D_i = V_i \cdot S_i$

an Station  $i \in \{L + 1, \dots, K\}$

$\Rightarrow$  Bestimme für dieses Netz

für alle Populationen  $n = 1, \dots, N$

Durchsätze  $X_0(n)$

Ein (!! ) Durchlauf durch Mittelwertanalysealgorithmus

(Folie 40) ist notwendig zur Berechnung aller  $X_0(n)$

## Aggregatbildung

Definiere lastabhängige Station mit

$$\text{Bedienzeit } S_{L+1}(n) = (X_0(n))^{-1}$$

## Aggregiertes Modell

bestehend aus Stationen  $1, \dots, L$  mit

unveränderten Parametern

und lastabhängiger Station  $L + 1$  mit  $V_{L+1} = 1$

Falls Ausgangsnetz Produktformnetz gilt:

Resultate für Stationen  $1, \dots, L$  im aggregierten Netz und im Ausgangsnetz sind identisch

⇒ exakte Aggregation

Besonders effizient für parametrische Studien

Experimente über Modell bei dem Stationen  $1, \dots, L$

ihre Parameter ändern

- einmal aggregieren
- Aggregat mehrfach verwenden

## Anwendung bei offenen Netzen

Problem: Population potenziell unendlich

Lösung: wähle großes  $N$

$$\text{(d.h. } N \text{ so dass } |X_0(N + 1) - X_0(N)| < \varepsilon)$$

und setze  $S_{L+1}(k) = S_{L+1}(N)$  falls  $k > N$

## Mehrklassennetze

### Übertragung vom Einklassenfall

1. Analysiere Teilnetz der Stationen  $L + 1, \dots, M$  für alle Population  $\underline{0}, \dots, \underline{N}$  und bestimme last- und klassenabhängige Durchsätze  $X_{0,r}(\underline{n})$

2. Bilde Ersatzstation mit Bedienzeiten

$$S_{L+1,r}(\underline{n}) = (X_{0,r}(\underline{n}))^{-1}$$

3. Analysiere aggregiertes Modell

### Bemerkungen:

Voranalyse erfordert einen Durchlauf der Mittelwertanalyse

Resultierendes Aggregat erfüllt Produktformeigenschaften d.h.

$$\frac{S_{L+1,r}(\underline{n})}{S_{L+1,s}(\underline{n})} = \frac{S_{L+1,r}(\underline{n}-\underline{1}_s)}{S_{L+1,s}(\underline{n}-\underline{1}_r)}$$

(falls Stationen  $L + 1, \dots, M$  Produktformnetz bilden)

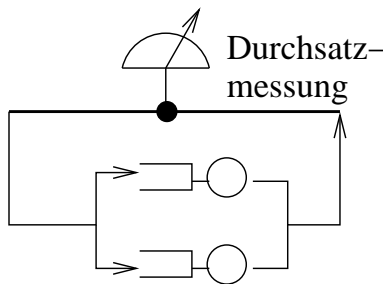
## Anwendung auf allgemeine Modelle

Betrachtung allgemeiner Warteschlangennetze mit stochastischem Routing und allgemeinen Stationstypen

Anforderungen an Teilnetze:

1 Eingang und 1 Ausgang pro Klasse

Voranalyse wird zur "Kurzschlussanalyse"



## Hybride Analyse

1. Voranalyse mittels Simulation oder numerischer Analyse, Analyse aggregiertes Modell mittels analytischer Techniken
2. Voranalyse mittels analytischer Techniken, Analyse aggregiertes Modell mittels Simulation oder numerischer Techniken

in beiden Fällen Aufwandsreduktion  
aber auch keine exakten Resultate

Vorsicht bei 1. und mehreren Klassen: Es entstehen  
i.d.R. keine Produktformaggregate!

## 3.8.2 Anwendungsbeispiele Aggregation

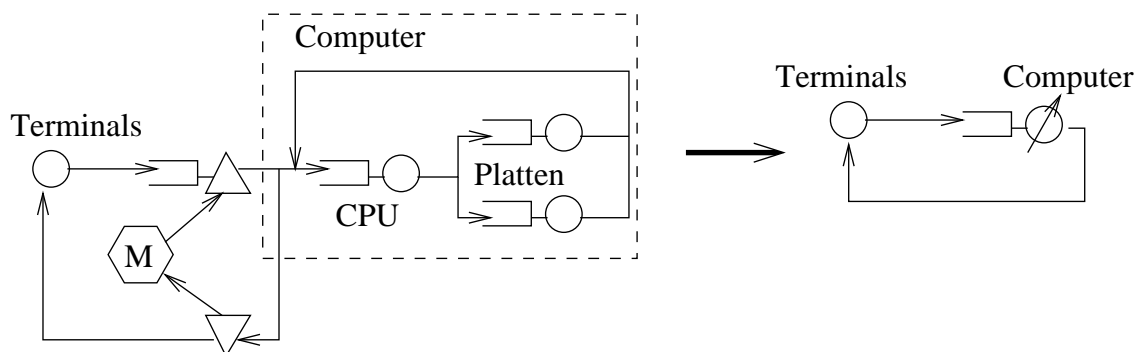
Typisches Anwendungsproblem:

Simultane Belegung von Ressourcen

Tritt in verschiedenen Ausprägungen

in Rechen- und Kommunikationssystemen auf

Rechnermodell mit Speicherbeschränkung



maximal  $M$  von  $N$  Prozessen können aktiv sein

Analyse mittels Aggregation

Analysiere Computermodell für Popul.  $1, \dots, M$

Ersetze Computermodell und Speichermodule  
durch lastabhängige Station mit Bedienzeit

$$S_{Comp}(n) = \begin{cases} (X_{Comp}(n))^{-1} & \text{falls } n \leq M \\ (X_{Comp}(M))^{-1} & \text{sonst} \end{cases}$$



Berechnung der Resultate:

Direkt aus dem aggregierten Modell ablesebar:

- Durchsatz
- Population und Verweilzeit  
Computer + Speicherzuteilung

Aus dem aggregierten Modell ablesbar,

falls Populationsverteilung berechnet wird

- Population Speicherzuteilung und Population Computer separat

$$n_{mem} = \sum_{n=M+1}^N P_{Comp}(n|N) \cdot (n - M)$$

$$n_{comp} = n_{Computer} - n_{mem}$$

über Little

- Verweilzeiten Computer und Speicherzuteilung separat
- Resultate für Stationen im Teilnetz über Kombination  
Ergebnisse Voranalyse und Analyse aggregiertes System

### Mehrklassennetze

Individuelle Speicheranforderungen je Klasse

Im Prinzip genauso behandelbar

aber: Geschwindigkeiten erfüllen

Produktformbedingungen nicht mehr!!

### 3.8.3 Approximative Analyse von Nichtproduktformnetzen

Zentrale Anwendung:

Analyse komplexer Schedulingalgorithmen an Stationen mit lastunabhängiger Bedienzeit

(es gibt weitere Anwendungen, die wir hier aber nicht betrachten wollen!)

Basisannahme: Ankunftstheorem gilt

(ankommender Auftrag sieht stationäre Verteilung)

dies kann zu starken Verfälschungen führen!

⇒ Validierung der Ergebnisse ist notwendig

Aber die Annahmen die Gültigkeit des Ankunftstheorems sorgt dafür, dass der Algorithmus der Mittelwertanalyse

(siehe Folie 40 oder 44) anwendbar bleibt, wenn eine neue Formel zur Berechnung der mittleren Verweilzeiten verwendet wird

Damit erfordert die Entwicklung eines MVA-Algorithmus “nur” die Herleitung einer Formel für die Verweilzeit eines Auftrags der  $n$  bzw.  $\underline{N}$  Aufträge bei seiner Ankunft antrifft

## Allgemein verteilte Bedienzeiten an FCFS-Stationen:

### Einklassenfall

Übertragung der Ergebnisse für M/G/1 Systeme

Für offene Netze:

$$\begin{aligned}R_i &= S_i + S_i \cdot n_i + U_i \cdot (S_i^{res} - S_i) \\&= S_i + S_i \cdot R_i \cdot X_i + U_i \cdot (S_i^{res} - S_i) \\&= \frac{S_i + U_i \cdot S_i^{res} - U_i \cdot S_i}{1 - S_i \cdot X_i} \\&= S_i + \frac{U_i \cdot S_i^{res}}{1 - U_i}\end{aligned}$$

Für geschlossene Netze:

$$R_i(n) = S_i \cdot (1 + n_i(n - 1)) + U_i(n - 1) \cdot (S_i^{res} - S_i)$$

mit  $S_i^{res} = S_i \cdot \frac{VK_i^2 + 1}{2}$  und

$VK_i^2$  quadr. Variationskoeffizient der Bedienzeit an  $i$

### Mehrklassenfall

Einfache Übertragung für geschlossene Netze:

$$\begin{aligned}R_{i,r}(\underline{n}) &= S_{i,r} + \sum_{s=1}^R S_{i,s} \cdot n_{i,s}(\underline{n} - \underline{1}_r) + \\&\quad \sum_{s=1}^R U_{i,s}(\underline{n} - \underline{1}_r) \cdot (S_{i,s}^{res} - S_{i,s})\end{aligned}$$

mit  $S_{i,r}^{res} = S_{i,r} \cdot \frac{VK_{i,r}^2 + 1}{2}$

Für offene Netze:

$$R_{i,r} = S_{i,r} + W_{i,r}$$

Für die Wartezeit gilt:

$$\begin{aligned} W_{i,r} &= \sum_{s=1}^R (n_{i,s} - U_{i,s}) \cdot S_{i,s} + \sum_{s=1}^R U_{i,s} \cdot S_{i,s}^{res} \\ &= \sum_{s=1}^R X_{i,s} \cdot W_{i,s} \cdot S_{i,s} + \sum_{s=1}^R U_{i,s} \cdot S_{i,s}^{res} \\ &= \sum_{s=1}^R U_{i,s} \cdot W_{i,s} + \sum_{s=1}^R U_{i,s} \cdot S_{i,s}^{res} \end{aligned}$$

Damit ist  $W_{i,s} = W_{i,t}$  für alle Klassen  $t, s \in \{1, \dots, R\}$

$\Rightarrow$  die Wartezeit ist für alle Klassen identisch!

Wenn wir  $W_{i,s}$  durch  $W_i$  ersetzen, erhalten wir

$$\begin{aligned} W_i &= W_i \cdot \sum_{s=1}^R U_{i,s} + \sum_{s=1}^R U_{i,s} \cdot S_{i,s}^{res} \\ &= \frac{\sum_{s=1}^R U_{i,s} \cdot S_{i,s}^{res}}{1 - U_i} \end{aligned}$$

Im Gegensatz ergibt sich die Wartezeit einer Produktformstation zu (z.B. processor sharing)

$$W_{i,r} = \frac{U_i}{1 - U_i} S_{i,r}$$

## Prioritäten

Üblicher Mechanismus in Rechensystemen

Einteilung von Aufträgen in Klassen

Bevorzugte Bedienung bestimmter Klassen

Wir nehmen an:  $r$  hat Priorität über  $s$ , falls  $r > s$

Man unterscheidet

- unterbrechende Prioritäten
  - höher prioriger Auftrag unterbricht niedriger priorigen bei Ankunft,
  - unterbrochener Auftrag beginnt später mit neuer Bedienung (*repeat*) oder
  - unterbrochener Auftrag fährt mit der Bedienung fort, wo er unterbrochen wurde (*resume*)
- nicht unterbrechende Prioritäten
  - nach Beginn der Bedienung wird diese erst beendet,
  - bei Auswahl des nächsten Auftrags wird der mit höchster Priorität aller wartenden ausgewählt

Innerhalb einer Klasse FCFS Scheduling

## Unterbrechende Prioritäten mit resume:

Betrachten wir einen Auftrag der Klasse  $r$

Verweilzeit an Station  $i$  setzt sich zusammen aus:

1. seiner eigenen Bedienzeit
2. der Restbedienzeit des Auftrags in Bedienung, falls dieser keine niedrigere Priorität als  $r$  hat
3. der Bedienzeit der Aufträge in der Warteschlange mit Priorität  $s \geq r$
4. der Bedienzeit bis zum Ende der Bedienung ankommender Aufträge mit Priorität  $s > r$

zur Berechnung der einzelnen Terme

1. Eigene Bedienzeit:  $S_{i,r}$

2. Restbedienzeit:

W. [Auftrag mit mind. gleich hoher Priorität in Bedienung]

multipliziert mit dessen Restbedienzeit

$$\sum_{s=r}^R U_{i,s}(\underline{N} - \underline{1}_r) \cdot S_{i,s}^{res}$$

3. Bedienzeit der Aufträge in der Warteschlange

vor dem Auftrag mit mind. gleich hoher Priorität

$$\sum_{s=r}^R (n_{i,s}(\underline{N} - \underline{1}_r) - U_{i,s}(\underline{N} - \underline{1}_r)) \cdot S_{i,s}$$

4. Während der Wartezeit oder Bedienung des Auftrags eintreffende Aufträge mit höherer Priorität

$$R_{i,r}(\underline{N}) \cdot \sum_{s=r+1}^R \lambda_{i,s}(\underline{N} - \underline{1}_r) \cdot S_{i,s}$$

mit  $\lambda_{i,s}(\underline{N} - \underline{1}_r)$  Ankunftsrate von Klasse  $s$  Aufträgen an Station bei  $\underline{N} - \underline{1}_r$  Aufträgen im Netz

$$R_{i,r}(\underline{N}) \cdot \lambda_{i,s}(\underline{N} - \underline{1}_r)$$

entspricht der Anzahl der während der Verweilzeit des Klasse  $r$  Aufträge ankommenden Aufträge der Klasse  $s$

Weiterhin gilt  $U_{i,s}(\underline{N} - \underline{1}_r) = \lambda_{i,s}(\underline{N} - \underline{1}_r) \cdot S_{i,s}$

Dies ergibt folgende Darstellung der Verweilzeit

$$R_{i,r}(\underline{N}) =$$

$$\frac{S_{i,r} + \sum_{s=r}^R (S_{i,s}^{res} \cdot U_{i,s}(\underline{N} - \underline{1}_r) + S_{i,s} \cdot (n_{i,s}(\underline{N} - \underline{1}_r) - U_{i,s}(\underline{N} - \underline{1}_r)))}{1 - \sum_{s=r+1}^R U_{i,r}(\underline{N} - \underline{1}_r)}$$

Verweilzeit ist unabhängig von Aufträgen der Klassen  $s < r$  (diese werden einfach verdrängt)

Auf Basis der Verweilzeitdarstellung kann

Mittelwertanalyse einfach realisiert werden

## Nicht unterbrechende Prioritäten

Vorgehen ähnlich zum unterbrechenden Fall

Unterschiede:

In Bedienung befindlicher Auftrag kann nicht unterbrochen werden

Damit wird 2. Berechnung der Restbedienzeit zu

$$\sum_{s=1}^R U_{i,s}(\underline{N} - \underline{1}_r) \cdot S_{i,s}^{res}$$

Auftrag kann selbst nicht während seiner Bedienung unterbrochen werden

Damit werden höher priorige Aufträge nur berücksichtigt, wenn sie während der Wartezeit eintreffen

$$W_{i,r}(\underline{N}) \cdot \sum_{s=r+1}^R \lambda_{i,s}(\underline{N} - \underline{1}_r) \cdot S_{i,s}$$

wobei  $W_{i,r}(\underline{N}) =$  Wartezeit von Klasse  $r$  an Station  $i$  bei  $\underline{N}$  Aufträgen im Netz

Berechnung der Wartezeit

$$W_{i,r}(\underline{N}) = \frac{\sum_{s=1}^R S_{i,s}^{res} \cdot U_{i,s}(\underline{N} - \underline{1}_r) + \sum_{s=r}^R S_{i,s} \cdot (n_{i,s}(\underline{N} - \underline{1}_r) - U_{i,s}(\underline{N} - \underline{1}_r))}{1 - \sum_{s=r+1}^R U_{i,s}(\underline{N} - \underline{1}_r)}$$

Verweilzeit:  $R_{i,r}(\underline{N}) = W_{i,r}(\underline{N}) + S_{i,r}$



Vorgehen intuitiv und leicht verständliche

Aber:

oft große Approximationsfehler!

Grund:

Gerade für Aufträge mit niedriger Priorität treffen

Annahmen der Mittelwertanalyse nicht zu

Ankunftstheorem ist in der Regel stark verfälscht

Beispiel:

Bedienung eines Auftrags mit niedriger Priorität an

einer Station mit unterbrechender Priorität

Während der Bedienung kann kein Auftrag mit

höherer Priorität an der Station sein!

D.h. während der Bedienzeit des Auftrags werden

typischerweise weniger Aufträge mit höherer Priorität

eintreffen als üblich

⇒ Verweilzeiten von Aufträgen mit niedriger Priorität

werden überschätzt

⇒ Fehler wächst mit steigender Auslastung durch

Aufträge mit hoher Priorität

## 3.8.4 Simultane Ressourcenbelegung

Typisches Szenario in C/S-Systemen:

Prozesse benötigen unterschiedliche Ressourcen gleichzeitig

Insbesondere gleichzeitige Belegung von Hardware und Software-Ressourcen

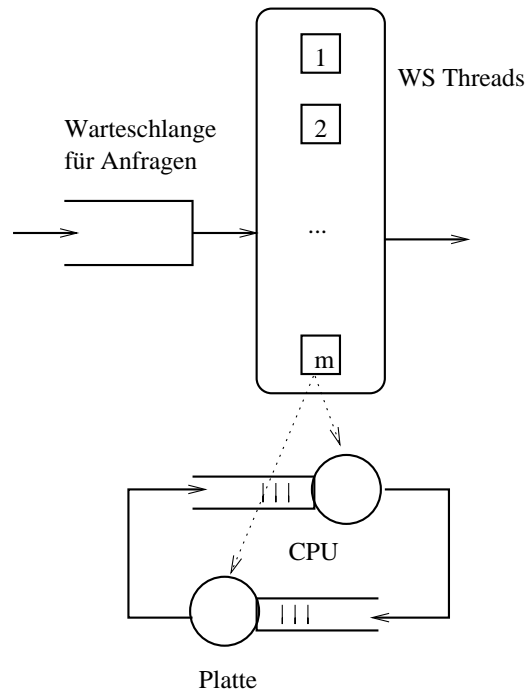
- Software-Ressourcen sind
  - Threads, die auf verschiedenen Ebenen Abfragen bearbeiten
    - \* Web-Server Thread
    - \* Anwendungs-Server Threads
    - \* DB-Server Thread und DB-Locks
- Hardware Ressourcen sind
  - Computer und Kommunikationssysteme, auf denen die Threads ablaufen
    - \* CPU
    - \* Platten
    - \* Hauptspeicher
    - \* LAN

Szenario in den bisherigen Modellen

nur sehr eingeschränkt darstellbar

⇒ Methoden zur Beschreibung und effizienten Analyse sind notwendig

## Typische Beispiele



Anfragen treffen am Web-Server ein und werden von den Threads des Web Servers bearbeitet

$m$  gleichzeitig aktive Threads im Web-Server

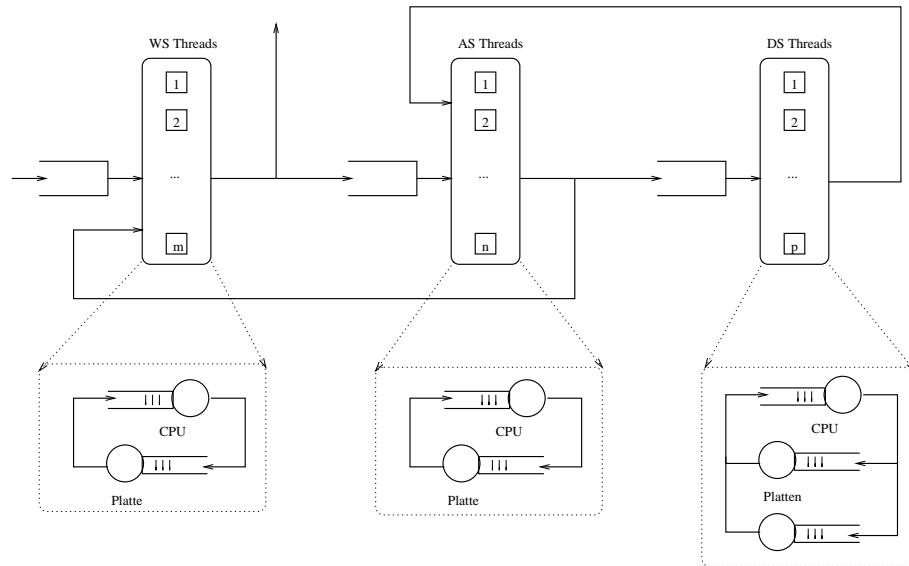
⇒ bis zu  $m$  Anfragen können simultan bearbeitet werden, weitere Anfragen müssen warten

alle Server Threads werden auf einer Maschine abgearbeitet, d.h. konkurrieren um CPU und Platten

⇒ Anfrage belegt simultan Web-Server Thread und CPU oder Platte

Analyse dieses einfachen Modells z.B. mit flussäquivalenter Aggregation (siehe Folie 136)

## Komplexeres Modell eines Web-Servers



### Ablauf von Anfragen:

- Anfragen treffen am Web-Server (WS) ein und versuchen einen von  $m$  Threads zu belegen
  - falls kein Thread frei, müssen Anfragen auf Zuteilung warten
  - Threads des WS werden auf einem Rechner mit CPU und einer Platte abgearbeitet
  - WS entscheidet, welche Funktionen die jeweilige Anfrage ausführen muss
  - einige Funktionen erfordern Aufruf von Funktionen des Anwendungs-Servers (AS)
    - \* AS besteht aus  $n$  Threads, die auf einem Rechner mit CPU und einer Platte ablaufen
    - \* falls ein Thread frei ist, wird Anfrage sofort abgearbeitet

- (der Thread im WS bleibt dazu ebenfalls belegt!)
- \* falls kein Thread frei ist, muss Anfrage warten (auch dabei bleibt der Thread im WS belegt)
  - \* einige Anfragen an AS benötigen Zugriffe auf die Datenbank, die durch den Datenbank-Server (DS) bearbeitet werden
    - DS besteht aus  $p$  Threads, die auf einem Rechner mit zwei Platten ablaufen
    - AS und DS laufen auf dem selben Rechner, d.h. sie konkurrieren um die CPU, aber greifen auf jeweils eigene Platten zu (nicht sichtbar in der graphischen Darstellung)
    - wie zuvor werden Anfragen von BS abgearbeitet, wenn ein freier Thread vorhanden ist (dabei belegt die Anfrage simultan jeweils einen Thread von WS, AS und DS)
  - \* nach Abarbeitung wird der DS Thread freigegeben und der AS Thread fährt mit seiner Bearbeitung fort
  - \* der AS Thread generiert weitere DB Abfragen oder beendet die Bearbeitung
- nach Beendigung der Bearbeitung durch den AS Thread geht Kontrolle an WS Thread der Bearbeitung der Anfrage beendet oder neue AS Anfrage startet

Berechnung der Antwortzeit einer Anfrage:

*Antwortzeit* :=

$$\textit{SoftwareWartezeit} + \textit{Ausfuehrungszeit}$$

mit

*SoftwareWartezeit* :=

$$\textit{Wartezeit}_{WS} + \textit{Wartezeit}_{AS} + \textit{Wartezeit}_{DS}$$

*Ausfuehrungszeit* :=

$$\textit{HardwareWartezeit} + \textit{Bedienzeit}$$

*HardwareWartezeit* :=

$$\textit{HwWartezeit}_{WS} + \textit{HwWartezeit}_{AS} + \textit{HwWartezeit}_{DS}$$

*Bedienzeit* :=

$$\textit{Bedienzeit}_{WS} + \textit{Bedienzeit}_{AS} + \textit{Bedienzeit}_{DS}$$

Zeiten mit bisherigen Modellen nicht ermittelbar,  
da Abhängigkeiten über verschiedene Ebenen existieren

### Analyseansätze

- *Layered Queueing Networks*
- Simulation

# Layered Queueing Networks (LQNs)

neue Entwicklung basierend auf

- Beschreibung eines Systems in Ebenen
- jede Ebene lässt sich als erweitertes Warteschlangennetz beschreiben
- Ebenen bestehen aus
  - Ressourcen (z.B. CPU, Platte) durch Warteschlangen modelliert
  - Software-Threads auch durch Warteschlangen modelliert
    - \* der darunterliegenden Ebenen
    - \* der darüber liegenden Ebenen
- bei der Analyse ist zu beachten, dass
  - Warteschlangen für Hardware-Ressourcen vollständig beschrieben sind
  - Warteschlangen für Software-Ressourcen (Threads) Bedienzeiten haben, die aus den Modellen der unteren/oberen Ebenen resultieren

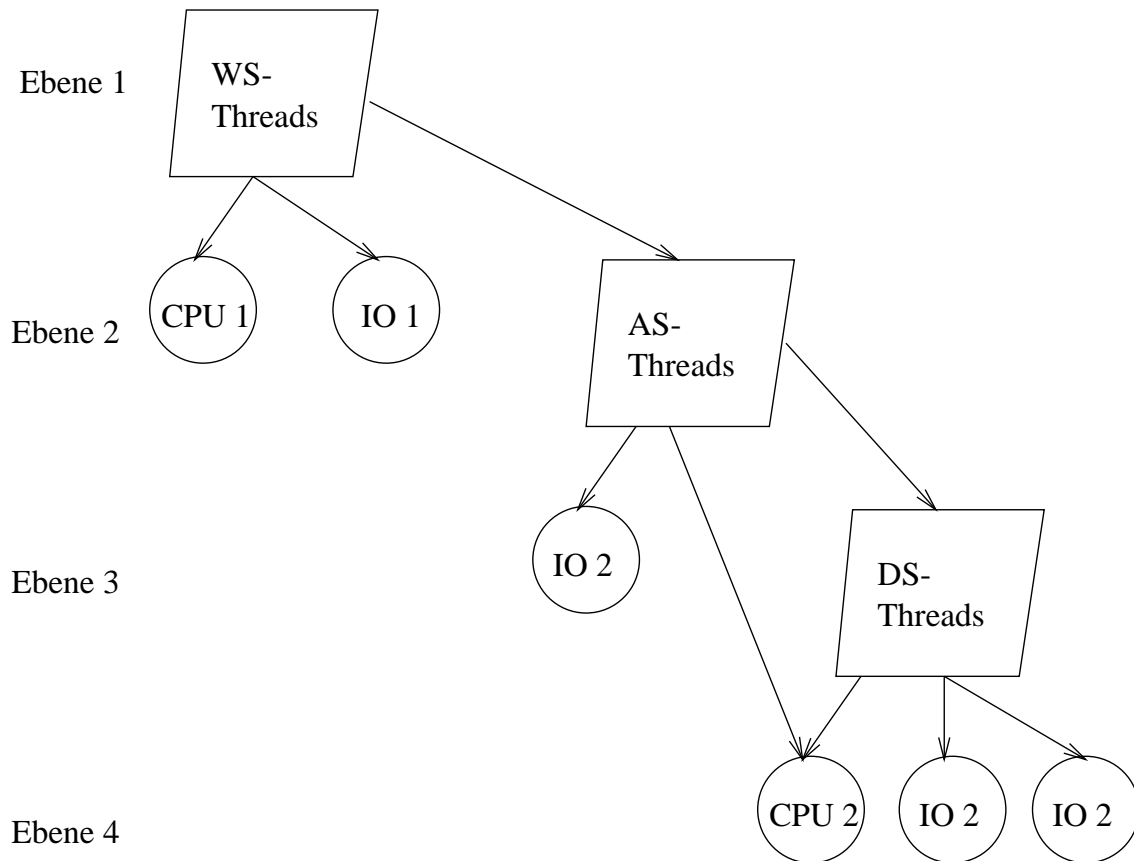
⇒ iterativer Fixpunktansatz zur Analyse

Modelle dieser Art existieren in unterschiedlichen

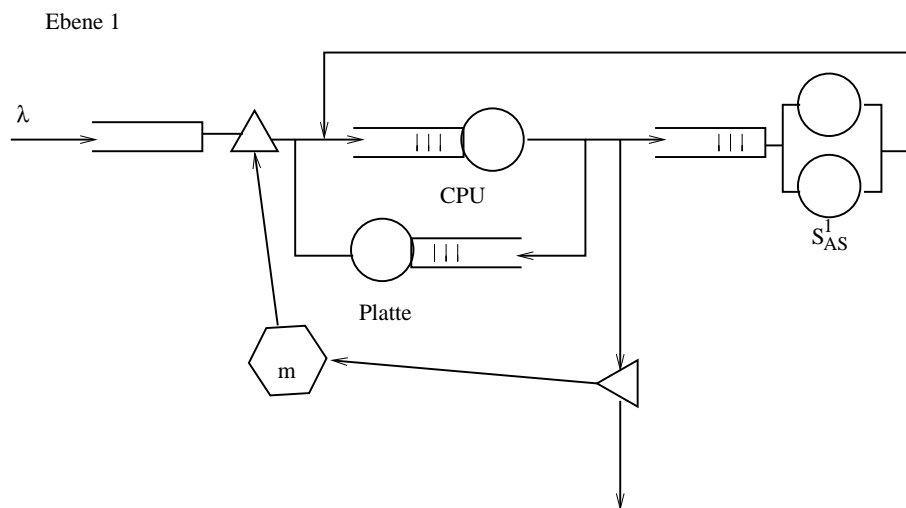
Ausprägungen, hier nur kurze Vorstellung des Ansatzes am

Beispiel (Details in der Originalliteratur)

## Darstellung des Beispiels als LQN

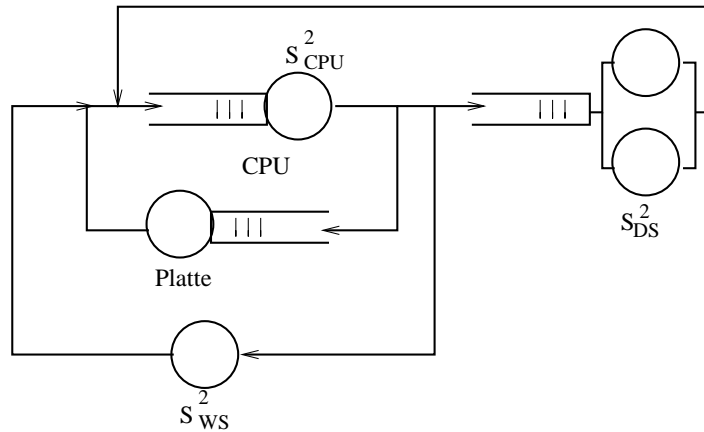


## Resultierende Warteschlangennetze

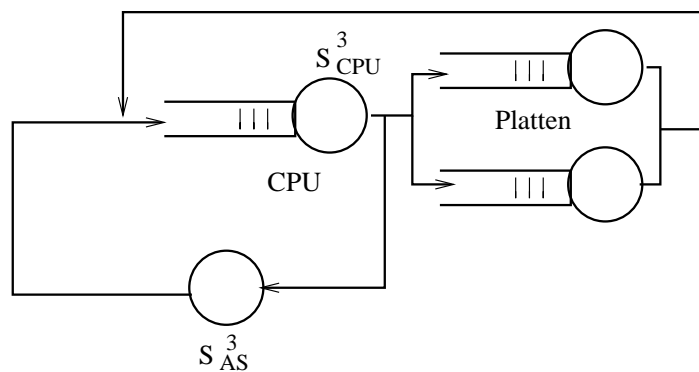




Ebene 2



Ebene 2



Beziehungen zwischen den einzelnen Parametern  
( $n$  Threads in Ebene 2 und  $p$  Threads in Ebene 3)

Sei  $X_j^i =$  Durchsatz durch  $j$  in Ebene  $i$

$U_j^i =$  Auslastung von  $j$  in Ebene  $i$

Berechnung der Bedienzeiten (Annahme  $m \geq n \geq p$ )

$$S_{AS}^1 = n/X_{WS}^2 - S_{WS}^2 \text{ und } S_{WS}^2 = m/X_{AS}^1 - S_{AS}^1$$

$$S_{AS}^3 = n/X_{DS}^2 - S_{DS}^2 \text{ und } S_{DS}^2 = p/X_{AS}^3 - S_{AS}^3$$

Bestimmung der Bedienzeit an der geteilten CPU

$$S_{CPU}^2 = S_{CPU_2} / (1 - U_{CPU}^3)$$

( $S_{CPU_2}$  Bedienbedarf eines einzelnen Auftrags der Ebene 2 an der CPU)

$$S_{CPU}^3 = S_{CPU_3} / (1 - U_{CPU}^2)$$

( $S_{CPU_3}$  Bedienbedarf eines einzelnen Auftrags der Ebene 3 an der CPU)

Berechnung iterativ, wobei initial Werte geschätzt werden

- in der Regel schnelle Konvergenz der Iteration  
(dies ist aber nicht gesichert)
- in der Regel akzeptable Genauigkeit  
(auch dies ist nicht gesichert)

andere Möglichkeiten der iterativen Parameterbestimmung existieren

Modelle können deutlich komplexer sein

- mehrere Threads in einer Ebene
- Interaktion über mehrere Ebene

Lösungsansatz trotzdem anwendbar

# Simulation

- Nachbildung des Systemverhalten durch ein Programm
- statistische Auswertung der Resultate

⇒ im Prinzip sind beliebig komplexe Systeme modellierbar

## Vorteile der Simulation

- komplexe Abhängigkeiten sind darstellbar
- Verteilungen, nicht nur Mittelwerte, sind in die Analyse einbeziehbar
- auch zeitabhängiges Verhalten analysierbar

## Nachteile der Simulation

- höherer Aufwand bei der Modellerstellung  
(Modelle des beschriebenen Typs mit den meisten Simulationswerkzeugen nicht direkt spezifizierbar)
- hoher Aufwand bei der Datenerhebung  
(detaillierte Modelle erfordern detaillierte Daten)
- hoher Analyseaufwand

⇒ für die Kapazitätsplanung sind in fast allen Fällen analytische Modelle vorzuziehen

## 3.8.5 Schrankenberechnung

Oft sind

- Systeme sehr groß
- Parameter eines Systems noch nicht vollständig bekannt
- viele Parameter vorhanden, die in Analysen variiert werden müssen

Dann ist eine vollständige Analyse unmöglich, es können aber Schranken berechnet werden, um

- erste Aussagen über die Leistungsfähigkeit zu bekommen
- Grenzen für mögliche Parameter festzulegen
- interessante von uninteressanten Konfigurationen zu unterscheiden

Zahlreiche Methoden zur Schrankenberechnung existieren

- im wesentlichen für Einklassennetze
- ohne lastabhängige Stationen
- im wesentlichen zur Durchsatzberechnung

## Einklassennetze

- $N$  Aufträge im Netz
- Netz mit  $K + 1$  Stationen
- Stationen  $1 \dots K$  lastunabhängige Stationen
- Station  $K + 1$  Verzögerungsstation mit Bedienzeit  $Z$   
(falls mehrere Verzögerungsstationen im Netz, diese erst zu einer zusammenfassen durch Addition der einzelnen Bedienzeiten)

Es gelte  $D_1 \leq D_2 \leq \dots \leq D_K$  (mit  $D_k = V_k \cdot S_k$ )

Station  $K$  ist der Flaschenhals des Netzes

auf Basis der Berechnungen gilt auch

$n_K(N) \geq n_k(N)$  für alle  $k < K$  und alle  $N$

- durchschnittliche Bedienzeit  $D_{av} = \sum_{k=1}^K D_k / K$
- Summe der Bedienzeiten  $D_{\Sigma} = \sum_{k=1}^K D_k$
- Zykluszeit für einen Auftrag  $R(N) = N / X_0(N)$

## Asymptotische Schranken

einfachste Form durch Betrachtung von Extremsituationen

1. An keiner Station wird gewartet

- der Flaschenhals des Netzes voll ausgelastet  
obere Schranke für den Durchsatz

$$X_0(N) \leq \min(N/(D_\Sigma + Z), 1/D_K)$$

Herleitung:

erster Teil: Kehrwert der minimalen Durchlaufzeit

ist maximaler Durchsatz pro Auftrag

zweiter Teil: maximaler Durchsatz am Flaschenhals

liefert Durchsatzschranke

2. Auftrag wartete an jeder Station auf  $N - 1$  Aufträge

- untere Schranke für den Durchsatz

$$X_0(N) \geq N/(N \cdot D_\Sigma + Z)$$

Herleitung:

Kehrwert der maximalen Zykluszeit liefert

minimalen Durchsatz pro Auftrag

Schranken für Zykluszeit über Little

Schranken in der Regel sehr weit auseinander

## Balanced job bounds

Schranken durch Anwendung der Mittelwertanalyse

Basis: System, in dem alle Stationen gleich ausgelastet sind (*balanced*) liefert bessere Leistung als System mit ungleicher Auslastung (*unbalanced*)

(bessere Leistung bedeutet

höheren Durchsatz geringere Zykluszeit)

untere Schranke für  $R(N)$ / obere Schranke für  $X(N)$

Untersuchung des *balanced* Systems liefert

- mittlere Kundenzahl an der Verzögerungsstation  $n_Z$

$$\frac{Z}{Z+(N-1)D_\Sigma} \leq n_Z \leq \frac{Z}{Z+D_\Sigma}$$

- mittlere Kundenzahl an den restlichen Stationen  $n_\Sigma$

$$\frac{D_\Sigma}{Z+D_\Sigma} \leq n_\Sigma \leq \frac{(N-1)D_\Sigma}{Z+(N-1)D_\Sigma}$$

Damit gilt (wg. besserer Leistung *balanced* System)

$$R(N) \geq Z + D_\Sigma + (N - 1) \cdot D_{av} \cdot \frac{D_\Sigma}{D_\Sigma + Z}$$

und

$$X_0(N) \leq N / (Z + D_\Sigma + (N - 1) \cdot D_{av} \cdot \frac{(N-1) \cdot D_\Sigma}{(N-1) \cdot D_\Sigma + Z})$$

obere Schranke für  $R(N)$ /untere Schranke für  $X(N)$

Konstruktion eines *balanced* Systems

mit schlechterer Leistung als Originalsystem hat

Schrittweises Vorgehen:

1. Setze  $l^+ = \max_k(D_k < D_K)$ ,  $l^- = \min_k(D_k > 0)$
2. Falls  $l^+ < l^-$  STOP
3. Reduziere Bedienzeit an Station  $l^-$  um  $\Delta$  und erhöhe Bedienzeit an Station  $l^+$  um  $\Delta$   
wobei  $\Delta = \min(D_{l^-}, D_K - D_{l^+})$

Schritt 3 reduziert die Systemleistung  $\Rightarrow$   
resultierendes Netz hat schlechtere Leistung  
als Ausgangsnetz

Stationen mit Bedienzeit 0 können gestrichen werden

Es entsteht ein *balanced* Netz mit

$K' = \lceil D_\Sigma / D_K \rceil$  Stationen mit Bedienzeit  $D_K$

Zykluszeit dieses Netzes obere Schranke für Ausgangsnetz

$$R(N) \leq Z + D_\Sigma + (N - 1) \cdot D_K \cdot \frac{(N-1)D_\Sigma}{(N-1)D_\Sigma + Z}$$

und

$$X_0(N) \geq N / (Z + D_\Sigma + (N - 1) \cdot D_K \cdot \frac{(N-1)D_\Sigma}{(N-1)D_\Sigma + Z})$$



## 3.8.6 Grenzen der Modellierung mit Warteschlangennetzen

Warteschlangennetze werden breit eingesetzt

aber es gibt klare Restriktionen bzgl.

- der Spezifizierbarkeit bestimmter Verhaltensmuster
- der analytischen Lösbarkeit

Probleme bei der Spezifikation bereitet

- simultane Ressourcenbelegung
- *fork/join* von Prozessen
- manche Blockierstrategien
- komplexe lastabhängige Routingstrategien
- Synchronisation von Prozessen
- exklusiver Zugriff auf mehrere Ressourcen
- manche Schedulingstrategien wie *shortest job first*

Probleme bei der analytischen Analyse

- nicht exponentielle Bedien- oder Ankunftszeiten
- *batch* oder *bulk* Ankünfte oder Bedienung
- zeitanhängige Analysen